

สำนักหอสมุดกลาง พระจอมเกล้าลาดกระบัง

เตาหลอมโลหะแบบเหนี่ยวนำโดยใช้แหล่งจ่ายแรงดัน  
VOLTAGE SOURCE INDUCTION FURNACE



โดย

นาย ดิตตฉนัย จำเียรไวย

นาย ธนิต สีกา

นาย อีรพงศ์ ปัญญาคำ

นาย อีรพล เกียรติขจรไพศาล

๒/๗  
๑๕.๑.๑๐  
๑๙๕๖

เลขหมู่.....  
เลขทะเบียน..... 72639  
วัน,เดือน,ปี..... 21 ส.ย. 2550

b. 11๗๕๐๖๑๓  
i. ....

ปริญญานิพนธ์นี้เป็นส่วนหนึ่งของการศึกษาตามหลักสูตรปริญญาวิศวกรรมศาสตรบัณฑิต  
สาขาวิชาวิศวกรรมไฟฟ้า  
สถาบันเทคโนโลยีพระจอมเกล้าเจ้าคุณทหารลาดกระบัง  
ปีการศึกษา 2549

เอกสารนี้เป็นเอกสารที่สงวนไว้สำหรับการใช้งานเพื่อการศึกษาเท่านั้น ไม่อนุญาตให้นำไปใช้ประโยชน์ด้านการค้า  
ไม่ว่ากรณีใดๆ ทั้งสิ้น อีกทั้งห้ามมิให้ดัดแปลงเนื้อหา และต้องอ้างอิงถึงเจ้าของเอกสารทุกครั้งที่มีการนำไปใช้

ปีการศึกษา 2549

เตาหลอมโลหะแบบเหนี่ยวนำโดยใช้แหล่งจ่ายแรงดัน  
VOLTAGE SOURCE INDUCTION FURNACE



อาจารย์ที่ปรึกษา

ดร. สมภพ ผลไม้

ผศ.ดร. สุพัฒน์ กิตติรัตนัสัจจา

เอกสารนี้เป็นเอกสารที่สงวนไว้สำหรับการใช้งานเพื่อการศึกษาเท่านั้น ไม่อนุญาตให้นำไปใช้ประโยชน์ด้านการค้า  
ไม่ว่ากรณีใดๆ ทั้งสิ้น อีกทั้งห้ามมิให้ดัดแปลงเนื้อหา และต้องอ้างอิงถึงเจ้าของเอกสารทุกครั้งที่มีการนำไปใช้


ปริญญาโทปีการศึกษา 2549

ภาควิชาวิศวกรรมไฟฟ้า

คณะวิศวกรรมศาสตร์ สถาบันเทคโนโลยีพระจอมเกล้าเจ้าคุณทหารลาดกระบัง

เรื่อง เคาหลอมโลหะแบบเหนียวนำโดยใช้แหล่งจ่ายแรงดัน

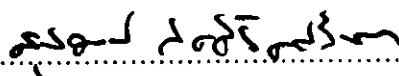
ผู้จัดทำ

- 
1. นาย ดิตตดนัย จำเนียรไว
  2. นาย ชนิต สีภา
  3. นาย ชีรพงศ์ ปัญญาคำ
  4. นาย ชีรพล เกียรติขจรไพศาล



.....อาจารย์ที่ปรึกษา

( ดร. สมภพ ผลไม้ )



.....อาจารย์ที่ปรึกษา

( ผู้ช่วยศาสตราจารย์ ดร. สุวัฒน์ กิตติรัตนสัจจา )

เอกสารนี้เป็นเอกสารที่สงวนไว้สำหรับการใช้งานเพื่อการศึกษาเท่านั้น ไม่อนุญาตให้นำไปใช้ประโยชน์ด้านการค้า  
ไม่ว่ากรณีใดๆ ทั้งสิ้น อีกทั้งห้ามมิให้ดัดแปลงเนื้อหา และต้องอ้างอิงถึงเจ้าของเอกสารทุกครั้งที่มีการนำไปใช้

## เตาหลอมโลหะแบบเหนียวนำโดยใช้แหล่งจ่ายแรงดัน

นาย ดิตถดนัย จำเนียรไวย

นาย ธนิต สีภา

นาย ชีรพงศ์ ปัญญาคำ

นาย ชีรพล เกียรติขจรไพศาล

ดร. สมภาพ ผลไม้

อาจารย์ที่ปรึกษา

ผศ.ดร. สุพัฒน์ กิตติรัตนัสัจจา

อาจารย์ที่ปรึกษา

ปีการศึกษา 2549

### บทคัดย่อ

ปริญญานิพนธ์ฉบับนี้ นำเสนอการวิเคราะห์ การออกแบบและสร้างเตาหลอมโลหะแบบเหนียวนำชนิดแหล่งจ่ายแรงดันความถี่สูง ที่มีการควบคุมกำลังไฟฟ้าโดยการปรับความถี่ทำงานที่พิกัดความถี่ประมาณ 15 กิโลเฮิร์ต และใช้มอสเฟตเป็นอุปกรณ์สวิตชิง ในการทดลองได้ออกแบบที่พิกัดกำลังไฟฟ้าประมาณ 1 กิโลวัตต์แล้วทำการวิเคราะห์หาประสิทธิภาพของพิกัดกำลังที่ได้ออกมาจากชุดอินเวอร์เตอร์

**VOLTAGE SOURCE INDUCTION FURNACE**

Dithadanai Jamnienwai

Tanit Sripa

Teerapong Panyakam

Teerapol Kiatkajornpaisan

Dr. Sompob Polmai

Advisor

Asst. Prof. Dr. Supat Kittiratcatcha

Advisor

2005

**ABSTRACT**

This thesis presents the analysis, design and construction of a high frequency voltage source induction furnace. The power output is controlled by mean of frequency adjustment. The rated switching frequency is designed for 15 kHz and MOSFETs are used as switching devices in the inverter. The experiment of the prototype inverter at the rated power of 1kW has been carried out and the experimental result is evaluated for the efficiency of the system.

## กิตติกรรมประกาศ

คณะผู้จัดทำขอขอบพระคุณบิดา มารดาอันเป็นผู้มีพระคุณยิ่งที่ให้ความสนับสนุนและโอกาสในทุก ๆ สิ่งแก่คณะผู้จัดทำตลอดเสมอมา ขอขอบพระคุณอาจารย์ที่ปรึกษา ดร. สมภาพ ผลไม้ และ รศ.ดร. สุพัฒน์ กิตติรัตนัสัจจา ในการประสิทธิ์ประสาทวิชาความรู้ คอยให้คำปรึกษาคำแนะนำเกี่ยวกับโครงการเสมอมา ตลอดจนคำอบรมสั่งสอนที่มีคุณค่ายิ่ง ขอขอบพระคุณคณาจารย์ทุกท่านที่ได้ให้ความรู้และสิ่งต่าง ๆ ที่ดีแก่คณะผู้จัดทำขอขอบคุณบุคลากรภายในภาควิชาวิศวกรรมไฟฟ้าทุกท่านที่คอยช่วยอำนวยความสะดวกเอื้อเฟื้ออุปการะการทดลองต่างๆขอขอบคุณพี่ๆนักศึกษาปริญญาโทที่คอยให้คำแนะนำและเอาใจใส่ด้วยดีตลอดมา ขอขอบคุณเพื่อนๆทุกคนในห้องแล็บที่คอยช่วยเหลือและเป็นกำลังใจในทุกๆอย่าง จนสามารถลุล่วงโครงการและทำเป็นปริญญานิพนธ์ฉบับนี้ได้อย่างสมบูรณ์

คณะผู้จัดทำ



เอกสารนี้เป็นเอกสารที่สงวนไว้สำหรับการใช้งานเพื่อการศึกษาเท่านั้น ไม่อนุญาตให้นำไปใช้ประโยชน์ด้านการค้า  
ไม่ว่ากรณีใดๆ ทั้งสิ้น อีกทั้งห้ามมิให้ตัดแปลงเนื้อหา และต้องอ้างอิงถึงเจ้าของเอกสารทุกครั้งที่มีการนำไปใช้

# สารบัญ

	หน้า
บทคัดย่อ.....	I
ABSTRACT.....	II
สารบัญรูป.....	III
สารบัญตาราง.....	IV
บทที่ 1 บทนำ.....	1
1.1 ความสำคัญของปัญหา.....	1
1.2 วัตถุประสงค์ของการวิจัย.....	1
1.3 ขอบเขตและข้อกำหนดในการวิจัย.....	2
1.4 ขั้นตอนและวิธีการดำเนินงาน.....	2
1.5 ประโยชน์ที่ได้รับจากการวิจัย.....	2
บทที่ 2 ทฤษฎีที่เกี่ยวข้อง.....	3
2.1 พื้นฐานการเกิดความร้อนโดยการเหนี่ยวนำทางแม่เหล็กไฟฟ้า.....	3
2.2 การให้ความร้อนแบบเหนี่ยวนำกับเบ้าหลอม.....	5
2.3 ทฤษฎีพื้นฐานของวงจรเรโซแนนซ์ .....	5
2.3.1 วงจรเรโซแนนซ์แบบอนุกรม.....	6
2.3.2 วงจรเรโซแนนซ์แบบขนาน.....	9
2.4 อินเวอร์เตอร์เรโซแนนซ์แบบอนุกรม.....	13
2.4.1 หลักการทำงานเบื้องต้น.....	13
2.4.2 การสูญเสียจากการสวิตชิง.....	14
2.4.3 การทำงานที่ความถี่ต่ำกว่าความถี่เรโซแนนซ์.....	15
2.4.4 การทำงานที่ความถี่สูงกว่าความถี่เรโซแนนซ์.....	15
2.5 เพาเวอร์มอสเฟต.....	15
2.5.1 กำลังงานสูญเสียในรูปความร้อนของเพาเวอร์มอสเฟต.....	16
2.5.2 เงื่อนไขของวงจรขับเพาเวอร์มอสเฟต.....	18
2.5.3 ค่าความจุไฟฟ้าด้านอินพุทของมอสเฟต.....	18
2.5.4 การกำหนดเวลาในการเปลี่ยนแปลงสถานะ.....	20
2.6 ทฤษฎีและวิธีการออกแบบหม้อแปลงความถี่สูง.....	21
2.6.1 หม้อแปลงสวิตชิง.....	21
2.6.2 ทฤษฎีหม้อแปลง.....	22
2.6.3 ส่วนประกอบของหม้อแปลงสวิตชิง.....	23

เอกสารนี้เป็นเอกสารที่สงวนไว้สำหรับการใช้งานเพื่อการศึกษาเท่านั้น ไม่อนุญาตให้นำไปใช้ประโยชน์ด้านการค้า  
ไม่ว่ากรณีใดๆ ทั้งสิ้น อีกทั้งห้ามมิให้ดัดแปลงเนื้อหา และต้องอ้างอิงถึงเจ้าของเอกสารทุกครั้งที่มีการนำไปใช้

## สารบัญ (ต่อ)

	หน้า
2.6.4 แกนเฟอไรต์และการเลือกใช้.....	24
2.6.5 ลักษณะสมบัติของเนื้อสารที่ใช้ทำแกนเฟอไรต์.....	24
2.6.6 เส้นโคจยิสเตอร์ริซ.....	24
2.6.7 ค่าสูญเสียในแกนเฟอไรต์.....	26
2.6.8 การออกแบบหม้อแปลง.....	26
2.6.9 สมการที่ใช้ในการออกแบบ.....	26
2.6.10 ตัวเก็บประจุลือกิ่งเพื่อป้องกันการไม่สมมาตรฟลักซ์แม่เหล็ก.....	32
<b>บทที่ 3 วงจรที่เกี่ยวข้อง.....</b>	<b>34</b>
3.1 วงจรเรียงกระแสและวงจรแรงดัน.....	34
3.1.1 วงจรเรียงกระแส.....	34
3.1.2 วงจรกรองแรงดัน.....	35
3.2 อินเวอร์เตอร์.....	37
3.2.1 ลักษณะการทำงานของวงจร.....	37
3.2.2 วงจรขับเคลื่อน.....	38
3.2.3 เดดไทม์.....	39
3.2.4 วงจร Drive-isolated.....	41
3.3 วงจรแหล่งจ่ายไฟกระแสตรง.....	42
<b>บทที่ 4 ผลการทดลอง.....</b>	<b>43</b>
4.1 การทดสอบชุดวงจรสัญญาณขับเคลื่อน.....	43
4.2 การทดลองชุดแยกทางแสง.....	44
4.3 การทดสอบการปรับค่า Duty Ratio.....	46
4.4 การหาความสัมพันธ์ของอุณหภูมิเมื่อเทียบกับเวลา.....	48
4.5 การทดลองหาค่าประสิทธิภาพของอินเวอร์เตอร์.....	49
<b>บทที่ 5 สรุปผลการวิจัยและข้อเสนอแนะ.....</b>	<b>50</b>

## สารบัญ (ต่อ)

ภาคผนวก

กิตติกรรมประกาศ

เอกสารอ้างอิง



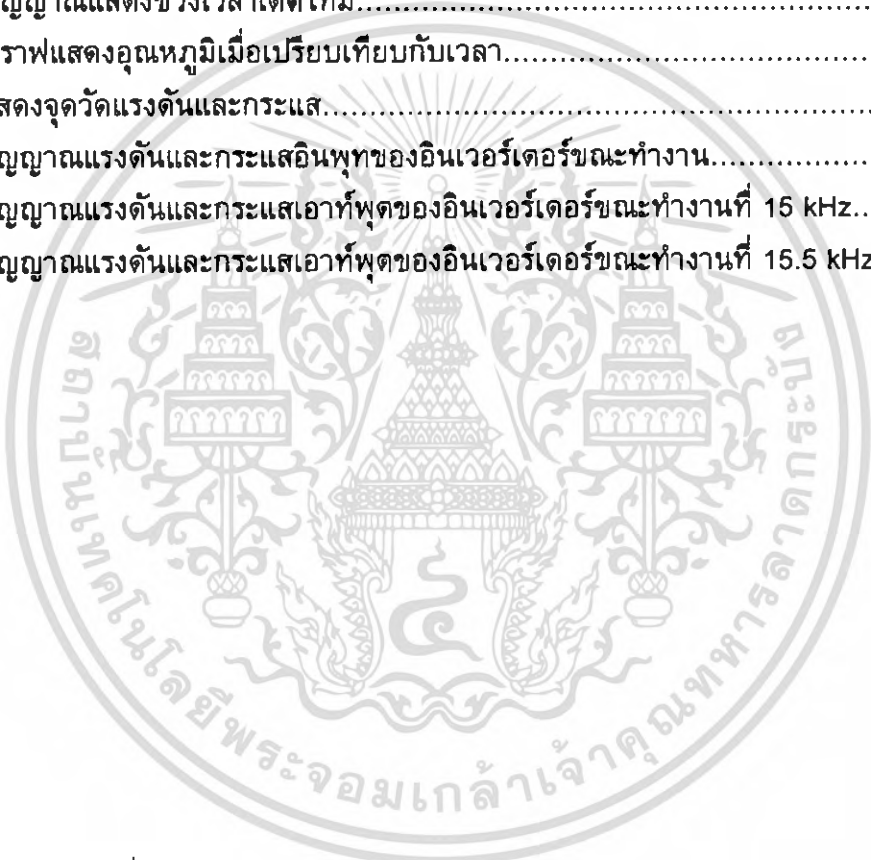
เอกสารนี้เป็นเอกสารที่สงวนไว้สำหรับการใช้งานเพื่อการศึกษาเท่านั้น ไม่อนุญาตให้นำไปใช้ประโยชน์ด้านการค้า  
ไม่ว่ากรณีใดๆ ทั้งสิ้น อีกทั้งห้ามมิให้ดัดแปลงเนื้อหา และต้องอ้างอิงถึงเจ้าของเอกสารทุกครั้งที่มีการนำไปใช้

สารบัญรูป

รูปที่	หน้า
2.1 ลักษณะการไหลวนของกระแสไฟฟ้าและเส้นแรงแม่เหล็กที่ขดลวดและชิ้นงาน.....	4
2.2 วงจรเสมือนของขดลวดให้ความร้อน.....	4
2.3 (ก) วงจร RLC แบบอนุกรม.....	7
(ข) ความสัมพันธ์ของ $X_L$ และ $X_C$ ต่อความถี่สำหรับวงจร RLCแบบอนุกรม.....	7
2.4 อิมพีแดนซ์รวมและกระแสที่ไหลในวงจร RLC แบบอนุกรมที่ความถี่ต่างๆ.....	8
2.5 (ก) วงจร RLC แบบขนาน.....	9
(ข) ความสัมพันธ์ของ $X_L$ และ $X_C$ ต่อความถี่สำหรับวงจร RLC แบบขนาน.....	9
2.6 อิมพีแดนซ์รวมและกระแสที่ไหลในวงจร RLC แบบขนานที่ความถี่ต่างๆ.....	10
2.7 วงจรเทงค์.....	12
2.8 วงจร RLC แบบขนาน.....	12
2.9 ลักษณะของกระแสและแรงดันคร่อมมอสเฟตเมื่อเริ่มนำกระแสและหยุดนำกระแส.....	17
2.10 ตัวเก็บประจุแฝงที่ต่ออยู่ที่ขาต่าง ๆ ภายในตัวเพาเวอร์มอสเฟต.....	18
2.11 แรงดันและกระแสขาเกตขณะเพาเวอร์มอสเฟตถูกไบอัสให้เหนี่ยวนำกระแส.....	19
2.12 Gate Charge Chart.....	20
2.13 การชาร์จบประจุที่ขาเกตตามเวลาเมื่อมีการเริ่มนำกระแส.....	21
2.14 แสดงเส้นโค้งฮิสเตอร์ิซิสของแกนเฟอร์ไรต์.....	25
2.15 แสดงลักษณะที่สมบูรณ์ของเส้นโค้งฮิสเตอร์ิซิสซึ่งมีลักษณะสมมาตร.....	25
3.1 วงจรบริดจ์เรกติไฟเออร์.....	34
3.2 แสดงแรงดันขาขึ้นและขาออกวงจรเรกติไฟเออร์.....	35
3.3 การใส่ตัวเก็บประจุฟิลเตอร์.....	36
3.4 แสดงวงจรอินเวอร์เตอร์แบบฟูลบริดจ์.....	38
3.5 วงจรไอซี 74LS14.....	39
3.6 (ก) วงจรฟูลบริดจ์อินเวอร์เตอร์หนึ่งกึ่ง.....	40
(ข) แรงดันควบคุมเกิดในอุดมคติ.....	41
(ค) แรงดันควบคุมเกิดของสวิตช์ที่ได้ชดเชยผลของเดดไทม์.....	41
3.7 วงจรแยกทางแสง.....	41
3.8 วงจรจ่ายไฟกระแสตรง +15 โวลต์.....	42
3.9 วงจรจ่ายไฟกระแสตรง +5 โวลต์.....	42
4.1 รูปวงจรกำลัง.....	43

## สารบัญรูป (ต่อ)

รูปที่	หน้า
4.2	วงจรสัญญาณเดคดไทม์.....43
4.3	วงจรสัญญาณเดคดไทม์.....44
4.4	คลื่นสัญญาณที่ได้จากเดคดไทม์.....44
4.5	วงจรแยกทางแสง.....45
4.6	สัญญาณที่ได้จากการแยกทางแสง.....46
4.7	รูปคลื่นสัญญาณที่ได้จากมอสเฟต.....47
4.8	สัญญาณแสดงช่วงเวลาเดคดไทม์.....47
4.9	กราฟแสดงอุณหภูมิเมื่อเปรียบเทียบกับเวลา.....49
4.10	แสดงจุดวัดแรงดันและกระแส.....50
4.10	สัญญาณแรงดันและกระแสอินพุทของอินเวอร์เตอร์ขณะทำงาน.....51
4.11	สัญญาณแรงดันและกระแสเอาต์พุทของอินเวอร์เตอร์ขณะทำงานที่ 15 kHz.....51
4.12	สัญญาณแรงดันและกระแสเอาต์พุทของอินเวอร์เตอร์ขณะทำงานที่ 15.5 kHz.....51



## สารบัญตาราง

ตารางที่	หน้า
4.1 แสดงค่าเวลาและอุณหภูมิในการหลอมตะกั่ว 50 กรัม.....	48
4.2 ตารางแสดงประสิทธิภาพของอินเวอร์เตอร์.....	51



เอกสารนี้เป็นเอกสารที่สงวนไว้สำหรับการใช้งานเพื่อการศึกษาเท่านั้น ไม่อนุญาตให้นำไปใช้ประโยชน์ด้านการค้า  
ไม่ว่ากรณีใดๆ ทั้งสิ้น อีกทั้งห้ามมิให้ดัดแปลงเนื้อหา และต้องอ้างอิงถึงเจ้าของเอกสารทุกครั้งที่มีการนำไปใช้

# บทที่ 1

## บทนำ

### 1.1 ความสำคัญของปัญหา

ปัจจุบันพลังงานนับได้ว่ามีความสำคัญอย่างยิ่งในชีวิตประจำวัน ที่ต้องมีการบริหารจัดการ หรือนำมาใช้ให้เกิดประโยชน์สูงสุด โดยเฉพาะพลังงานไฟฟ้าที่ได้กลายเป็นพลังงานหลักที่เข้ามามีบทบาทเป็นอย่างมากในอุตสาหกรรมต่าง ๆ โดยมีการนำเอาทฤษฎีต่าง ๆ ทางด้านไฟฟ้าที่เกี่ยวข้องมาประยุกต์ใช้เพื่อให้เกิดสิ่งประดิษฐ์ใหม่ ๆ ที่มีคุณประโยชน์

เครื่องหลอมโดยอาศัยการเหนี่ยวนำนั้น เป็นการใช้หลักการของการให้ความร้อนแก่ชิ้นงานจนถึงจุดที่สามารถที่จะทำให้อินพุตของชิ้นงานหลอมได้ โดยจะมีรูปพลังงานเข้ามาเกี่ยวข้องกับเตาหลอม 3 รูป คือ เริ่มต้นจากพลังงานในรูปไฟฟ้า พลังงานในรูปสนามแม่เหล็ก และสุดท้ายพลังงานความร้อนที่จะส่งถ่ายไปสู่ชิ้นงานเพื่อนำไปสู่การหลอม ในเบื้องต้นของเตาหลอมโดยอาศัยการเหนี่ยวนำนั้นจะรับพลังงานไฟฟ้ามาเป็นอันดับแรก คือเริ่มป้อนแรงดันไฟฟ้ากระแสสลับเข้าสู่วงจรเรกติไฟเออร์ (Rectifier) และฟิลเตอร์ (Filter) เพื่อกรองสัญญาณรบกวนและแปลงเป็นแรงดันไฟฟ้ากระแสตรง เพื่อควบคุมให้มีกระแสไหลคงที่และป้อนให้กับวงจรฟูลบริดจ์อินเวอร์เตอร์ (Full-Bridge Inverter) ทำการสวิตช์ได้แรงดันไฟฟ้ากระแสสลับกลับออกมา และสามารถควบคุมความถี่ได้ ซึ่งมีลักษณะคลื่นเป็นรูปคลื่นสี่เหลี่ยมที่มีความถี่สูงๆใกล้เคียงกับความถี่เรโซแนนซ์ (Resonant Frequency) เนื่องจากที่ความถี่เรโซแนนซ์จะทำให้เกิดกำลังไฟฟ้าสูงสุด หลังจากนั้นก็จะนำไปเป็นอินพุตให้กับหม้อแปลงแกนเฟอร์ไรต์ที่แปลงแรงดันให้ต่ำลงและเพิ่มกระแสที่ไหลไปยังโหลดที่เป็นโหลดเรโซแนนซ์แบบอนุกรม การเพิ่มกระแสให้มีค่าสูงขึ้น เพื่อไปทำให้เกิดเส้นแรงแม่เหล็กให้มากที่สุดเพื่อทำให้เกิดกระแสไหลวนในตัวเบ้าหลอมซึ่งก็คือการแปรเป็นพลังงานในรูปสนามแม่เหล็ก และหลังจากนั้นก็เข้าสู่ในรูปของพลังงานความร้อนซึ่งเกิดขึ้นที่เบ้าหลอม จากนั้นความร้อนจึงถ่ายเทจากเบ้าหลอมไปสู่ชิ้นงานที่เป็นตะกั่วเพื่อให้เกิดการหลอมขึ้น

เนื่องจากเตาหลอมโดยอาศัยหลักการเหนี่ยวนำนั้น เป็นเครื่องหลอมที่ค่อนข้างประหยัดพลังงาน มีการสูญเสียพลังงานน้อย ใช้เวลาในการหลอมเร็ว ใช้พื้นที่ในการทำงานน้อย เงียบ ปลอดภัยเพราะไม่ต้องใช้เชื้อเพลิงซึ่งเป็นมลพิษต่อสิ่งแวดล้อมและเป็นส่วนที่ทำให้ส่วนประกอบของชิ้นงานหลอมเกิดการเปลี่ยนแปลง จึงทำให้เห็นได้ชัดว่าเตาหลอมโลหะโดยอาศัยการเหนี่ยวนำมีความน่าสนใจที่จะนำมาศึกษาและพัฒนา

### 1.2 วัตถุประสงค์ของการวิจัย

1. เพื่อให้เข้าใจถึงหลักการทำงานของเตาหลอมแบบเหนี่ยวนำชนิดแหล่งจ่ายแรงดัน
2. ศึกษาและพัฒนาชุดอินเวอร์เตอร์แบบอนุกรม

เอกสารนี้เป็นเอกสารที่สงวนไว้สำหรับการใช้งานเพื่อการศึกษาเท่านั้น ไม่อนุญาตให้นำไปใช้ประโยชน์ด้านการค้าไม่ว่ากรณีใดๆ ทั้งสิ้น อีกทั้งห้ามมิให้ดัดแปลงเนื้อหา และต้องอ้างอิงถึงเจ้าของเอกสารทุกครั้งที่มีการนำไปใช้

3. สามารถวิเคราะห์การเปลี่ยนแปลงของตัวแปรต่างๆ ในวงจรเรโซแนนซ์แบบอนุกรม เช่น อิมพีแดนซ์ มุมต่างเฟสระหว่างแรงดันและกระแส ตัวประกอบคุณภาพ (Quality Factor) และกำลังไฟฟ้า ซึ่งตัวแปรเหล่านี้จะมีความสัมพันธ์โดยตรงเมื่อความถี่เกิดการเปลี่ยนแปลง

### 1.3 ขอบเขตและข้อกำหนดในการวิจัย

1. ออกแบบและสร้างชุดอินเวอร์เตอร์แบบอนุกรมเรโซแนนซ์ เพื่อเป็นแหล่งจ่ายกำลังให้กับชุดเบ้าหลอม

2. ออกแบบและสร้างชุดสำหรับขับอินเวอร์เตอร์

### 1.4 ขั้นตอนและวิธีการดำเนินงาน

1. ศึกษาและทำความเข้าใจในทฤษฎีเบื้องต้นที่ใช้ในการทำโครงการ
2. ดำเนินการทดลองและทดสอบทฤษฎีที่ต้องใช้ในการทำโครงการ
3. ทำการออกแบบวงจรที่จะนำไปใช้ในโครงการ
4. ทำการออกแบบโปรแกรมเพื่อขับวงจร
5. ทำการจำลองและสร้างเตาหลอมเหนียวนำและทดสอบ

### 1.5 ประโยชน์ที่ได้รับจากการวิจัย

สามารถนำเครื่องต้นแบบที่ได้จากการทำปริญญานิพนธ์มาพัฒนาเพื่อใช้ในโรงงานอุตสาหกรรมได้

## บทที่ 2 ทฤษฎีที่เกี่ยวข้อง

### 2.1 พื้นฐานการเกิดความร้อนโดยการเหนี่ยวนำทางแม่เหล็กไฟฟ้า

การให้ความร้อนหรือการหลอมชิ้นงานโดยอาศัยการเหนี่ยวนำ เป็นการให้ความร้อนแก่ชิ้นงานที่ต้องการจะหลอมโดยการจ่ายไฟฟ้ากระแสสลับเข้าไปในขดลวด ทำให้เกิดการเปลี่ยนแปลงของเส้นแรงแม่เหล็กในขดลวด ซึ่งจะเหนี่ยวนำให้เกิดแรงเคลื่อนไฟฟ้าเหนี่ยวนำ และเกิดกระแสไหลวนเป็นวงปิดรอบชิ้นงาน และเนื่องจากเป็นการไหลของไฟฟ้ากระแสสลับ ดังนั้นจึงเกิดผลของ Skin Effect ซึ่งจะทำให้กระแสไหลเฉพาะบริเวณผิวด้านนอกของตัวชิ้นงาน ดังแสดงในรูปที่ 2.1 โดยมีความลึกของกระแสที่ไหลภายในชิ้นงานนี้ ขึ้นอยู่กับความถี่ของกระแสไฟฟ้าที่ไหลซึ่งจะเป็นความถี่เดียวกับความถี่ที่ป้อนเข้าไปในขดลวดที่พันรอบ ดังแสดงในสมการที่ (2.1) โดยเราสามารถพิจารณาการเหนี่ยวนำให้เกิดความร้อนขึ้นทั้งระบบเป็นหม้อแปลง 1 ชุด โดยขดลวดสร้างสนามแม่เหล็กจะเป็นเสมือนขดปฐมภูมิของหม้อแปลง ที่มีจำนวนรอบเท่ากับจำนวนรอบของขดลวดสร้างสนามแม่เหล็ก ส่วนเบ้าหลอมจะเปรียบเสมือนขดทุติยภูมิของหม้อแปลง ที่มีจำนวนรอบหนึ่งรอบดังแสดงในรูปที่ 2.2 ดังนั้นกระแสที่ไหลในชิ้นงานจะมีค่าเท่ากับปริมาณกระแสในขดลวด Working coil คูณกับจำนวนรอบของขดลวดปฐมภูมินั่นเอง โดยสามารถหาค่ากำลังที่เกิดขึ้นที่ชิ้นงานได้ ดังแสดงในสมการที่ (2.3)

ผลของ Skin Effect สามารถอธิบายความสัมพันธ์กับความลึกของการไหลของกระแสได้โดยสมการที่ (2.1)

$$\delta = \sqrt{\frac{\rho}{\pi \mu f}} \quad (2.1)$$

จากสมการที่ (2.1) สามารถหาค่าความถี่ได้ดังสมการที่ (2.2)

$$f = \frac{\rho}{\pi \mu \delta^2} \quad (2.2)$$

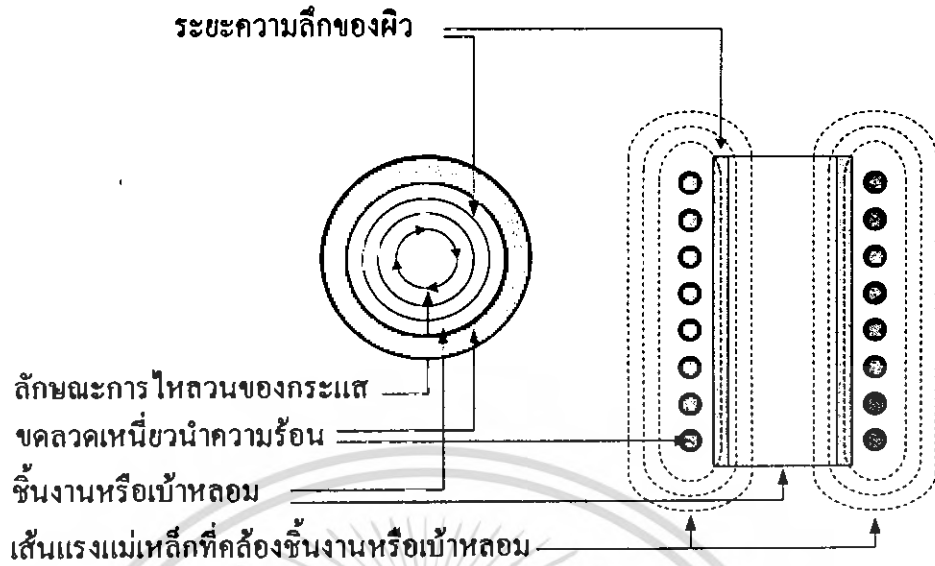
โดยที่

$\delta$  คือความลึกของกระแสไฟฟ้าที่ไหลในชิ้นงาน (m)

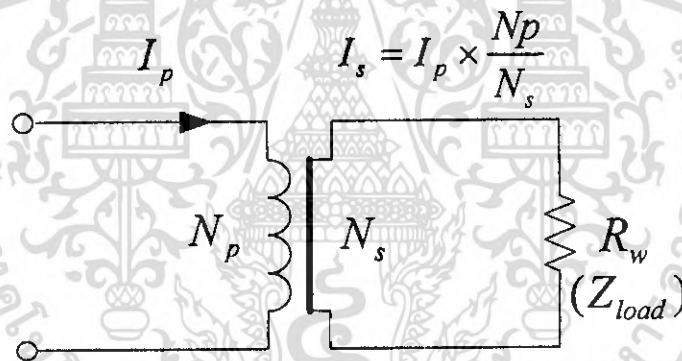
$\mu$  คือสภาพความซึมซาบสนามแม่เหล็ก (H/m)

$\rho$  คือสภาพความต้านทานจำเพาะของชิ้นงาน ( $\Omega \cdot m$ )

$f$  คือความถี่ (Hz)



รูปที่ 2.1 ลักษณะการไหลวนของกระแสไฟฟ้าและเส้นแรงแม่เหล็กที่ขดลวดและชิ้นงาน



รูปที่ 2.2 วงจรเสมือนของขดลวดให้ความร้อน

โดยค่าของ  $N_s$  มีค่าเท่ากับ 1 รอบ ดังนั้นจะทำให้ได้

$$I_s = I_p N_p$$

จะทำให้ได้

$$P_w = I_p^2 N_p^2 R_w \quad (2.3)$$

โดยที่

$P_w$  คือกำลังที่ชิ้นงาน (W)

$R_w$  คือความต้านทานสมมูลของชิ้นงาน ( $\Omega$ )

เอกสารนี้เป็นเอกสารที่สงวนไว้สำหรับการใช้งานเพื่อการศึกษาเท่านั้น ไม่อนุญาตให้นำไปใช้ประโยชน์ด้านการค้า  
ไม่ว่ากรณีใดๆ ทั้งสิ้น อีกทั้งห้ามมิให้ดัดแปลงเนื้อหา และต้องอ้างอิงถึงเจ้าของเอกสารทุกครั้งที่มีการนำไปใช้

เมื่อให้ความร้อนแก่ชิ้นงาน จะมีผลทำให้ค่าความซึมซาบสนามแม่เหล็กมีขนาดลดลง เมื่ออุณหภูมิสูงขึ้น จนเมื่ออุณหภูมิสูงจนถึง Curie Point (ประมาณ  $750^{\circ}\text{C}$ ) จะทำให้ค่าความซึมซาบสนามแม่เหล็กนี้ลดลงอย่างรวดเร็วจนมีค่าความซึมซาบสนามแม่เหล็กเกือบเท่ากับอากาศที่จุดอุณหภูมิดังกล่าวจะมีผลให้สารนั้นหมดสภาพความเป็นสารแม่เหล็ก จะมีผลทำให้ค่าความเหนี่ยวนำ (Inductance : L) ของชิ้นงานลดลงอย่างมาก จากสมการที่ (2.1) คุณสมบัติทางไฟฟ้าของชิ้นงานก็จะเปลี่ยนไปด้วย โดยค่าความต้านทานสมมูลของชิ้นงานจะลดลง เนื่องจากกระแสไหลวนจะไหลลึกลงไปในชิ้นงานได้มากขึ้น แต่ในส่วนของค่าสภาพความต้านทานไฟฟ้าจะสูงขึ้นอย่างต่อเนื่องตามอุณหภูมิ แต่หลังจากถึงจุด Curie Point แล้วก็จะเริ่มคงที่ จากสาเหตุนี้จะทำให้ความถี่เรโซแนนซ์เกิดการเปลี่ยนแปลงไป โดยก่อนถึงจุด Curie Point จะมีความถี่เรโซแนนซ์ค่าหนึ่ง หลังถึงจุด Curie Point ก็จะมีค่าความถี่เรโซแนนซ์ค่าหนึ่ง

## 2.2 การให้ความร้อนแบบเหนี่ยวนำกับเบ้าหลอม

หลักการให้ความร้อนแก่ชิ้นงานนั้นสามารถแบ่งออกเป็น 2 ลักษณะ คือ

### 2.2.1 การให้พลังงานความร้อนทางอ้อม

โดยอาศัยการถ่ายเทความร้อน (Heat Transfer) คือเมื่อขดลวดสร้างสนามแม่เหล็ก คล้องผ่าน ชิ้นงานและเบ้าหลอมซึ่งทำมาจากแกรไฟต์ ซึ่งเป็นสารแม่เหล็ก (Ferromagnetic) ถ้าชิ้นงานที่ต้องการหลอมไม่เป็นแม่เหล็ก (Non-Ferromagnetic) การหลอมจะอาศัยการถ่ายเทความร้อนที่เกิดขึ้นจากเบ้าหลอมเพียงอย่างเดียว

### 2.2.2 การให้พลังงานความร้อนทางตรง

โดยอาศัยกระแสไหลวน คือในกรณีชิ้นงานเป็นสารแม่เหล็ก สนามแม่เหล็กที่เกิดจากการเหนี่ยวนำจะคล้องผ่านชิ้นงานและเบ้าหลอม ซึ่งจะทำให้เกิดกระแสไหลวนในชิ้นงานด้วย ทฤษฎีการให้ความร้อนแบบเหนี่ยวนำสามารถอธิบายได้ในรูปของทฤษฎีคลื่นแม่เหล็กไฟฟ้ากับเบ้าหลอมที่มีลักษณะอุดมคติที่เรียกว่า Semi-Infinite Slab

## 2.3 ทฤษฎีพื้นฐานของวงจรเรโซแนนซ์

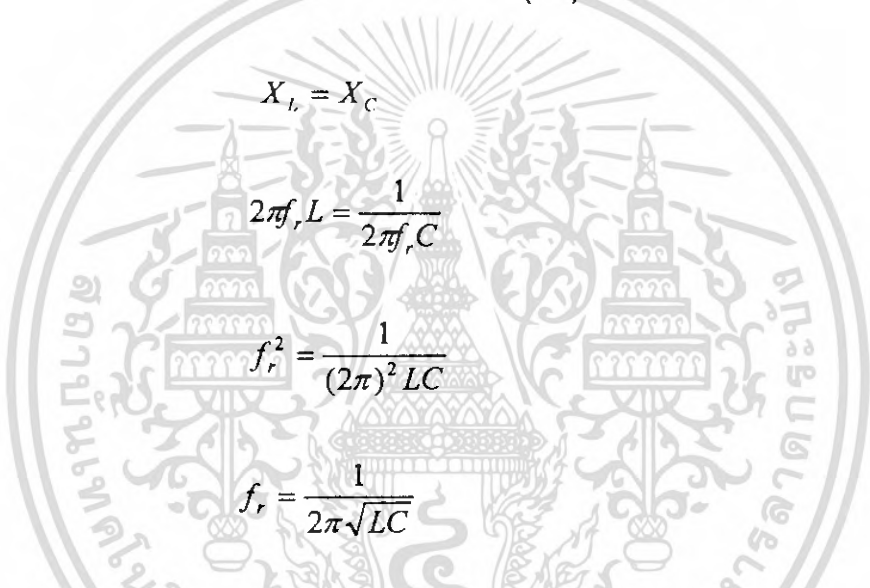
วงจรไฟสลัปที่เกิดสภาวะเรโซแนนซ์หมายถึงวงจรที่มีค่าเพาเวอร์แฟคเตอร์ของวงจรเท่ากับหนึ่ง นั่นคือกระแสที่ไหลในวงจรจะมีเฟสตรงกันกับแรงดันที่จ่ายให้แก่วงจร และค่าอิมพีแดนซ์เทียบเท่าภายในวงจรจะเหลือแต่ค่าความต้านทานเพียงอย่างเดียวเท่านั้น เพราะค่าอินดักทีฟ รีแอคแตนซ์และค่าคาปาซิทีฟ รีแอคแตนซ์จะหักล้างกันหมดไป ในขั้นพื้นฐานจะสามารถแยกพิจารณาออกเป็น 2 ลักษณะคือ วงจรเรโซแนนซ์แบบอนุกรม และวงจรเรโซแนนซ์แบบขนาน

### 2.3.1 วงจรเรโซแนนซ์แบบอนุกรม (Series Resonant Circuit)

ลักษณะพฤติกรรมทางไฟฟ้า ของวงจรเรโซแนนซ์แบบอนุกรมจะมีอิมพีแดนซ์ที่ต่ำแหน่งเรโซแนนซ์ต่ำที่สุด ดังนั้นจะทำให้กระแสไหลผ่านวงจรได้มากที่สุดจึงทำให้เกิดกำลังไฟฟ้าที่ไหลมีค่าสูงสุด วิธีการควบคุมกำลังไฟฟ้าทำได้โดยการลดแรงดันที่จ่ายให้วงจรหรือเลื่อนความถี่การใช้งานให้ต่ำหรือสูงกว่าตำแหน่งเรโซแนนซ์ เมื่อพิจารณาในรูปที่ 2.3 ก) ค่าอิมพีแดนซ์ของวงจร RLC ที่ต่อแบบอนุกรมจะมีค่าดังสมการที่ (2.4)

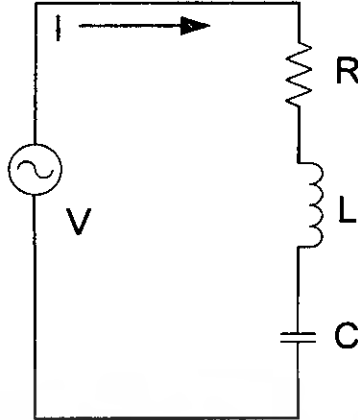
$$Z = R + j(X_L - X_C) \quad (2.4)$$

สภาวะเรโซแนนซ์จะสามารถหาค่าความถี่ได้ดังสมการที่ (2.5)



$$\begin{aligned} X_L &= X_C \\ 2\pi f_r L &= \frac{1}{2\pi f_r C} \\ f_r^2 &= \frac{1}{(2\pi)^2 LC} \\ f_r &= \frac{1}{2\pi\sqrt{LC}} \end{aligned} \quad (2.5)$$

จากสมการ (2.4) จะพบว่าค่าอิมพีแดนซ์จะขึ้นอยู่กับความถี่ของแหล่งจ่ายไฟ เนื่องจากค่า  $X_L = 2\pi fL$  และค่า  $X_C = 1/2\pi fC$  จากรูปที่ 2.3 ข) จะเห็นว่าเมื่อความถี่ของแหล่งจ่ายไฟมีค่าเพิ่มขึ้นอย่างเป็นเชิงเส้น ค่า  $X_L$  จะมีค่าเพิ่มขึ้น ส่วนค่าของ  $X_C$  จะมีค่าลดลงอย่างเป็นเชิงเส้นด้วย โดยที่ผลรวมของค่ารีแอกแตนซ์จะมีค่าเท่ากับ  $(X_L - X_C)$  ดังนั้นถ้าหากความถี่ของแหล่งจ่ายไฟมีค่าเท่ากับความถี่เรโซแนนซ์ ดังสมการที่ (2.5) ก็จะมีผลทำให้ค่ารีแอกแตนซ์รวมมีค่าเท่ากับศูนย์ ดังนั้นอิมพีแดนซ์รวมของวงจรจะมีค่าเท่ากับค่าความต้านทาน ( $Z=R$ )



รูปที่ 2.3 (ก) วงจร RLC อนุกรม



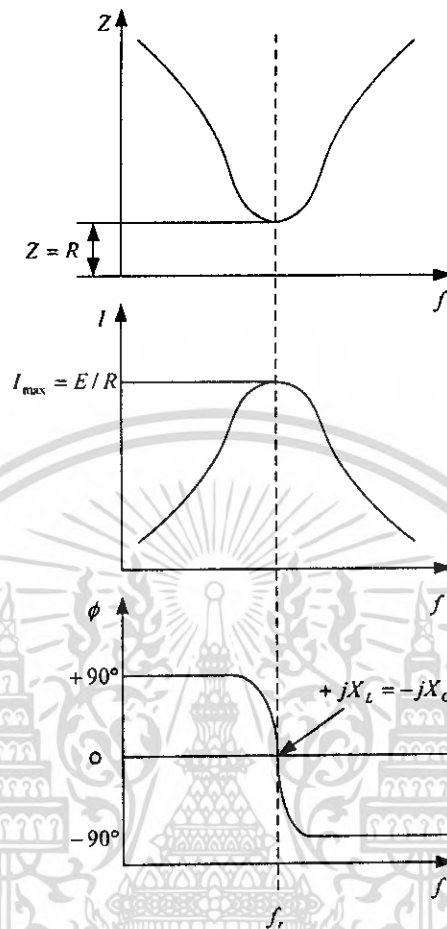
รูปที่ 2.3 (ข) ความสัมพันธ์ของ  $X_L$  และ  $X_C$  ต่อความถี่สำหรับวงจร RLC แบบอนุกรม

$$Z = \sqrt{R^2 + X^2} \quad (2.6)$$

$$I = V/Z \quad (2.7)$$

จากสมการที่ (2.6) และสมการที่ (2.7) นำค่าอิมพีแดนซ์รวมและกระแสที่ไหลในวงจรที่ความถี่ใดๆ มาเขียนกราฟได้ดังรูปที่ 2.4

เอกสารนี้เป็นเอกสารที่สงวนไว้สำหรับการใช้งานเพื่อการศึกษาเท่านั้น ไม่อนุญาตให้นำไปใช้ประโยชน์ด้านการค้าไม่ว่ากรณีใดๆ ทั้งสิ้น อีกทั้งห้ามมิให้ดัดแปลงเนื้อหา และต้องอ้างอิงถึงเจ้าของเอกสารทุกครั้งที่มีการนำไปใช้



รูปที่ 2.4 อิมพีแดนซ์รวม และกระแสที่ไหลในวงจร RLC แบบอนุกรม ที่ความถี่ต่างๆ

ค่าของแรงดันที่ตกคร่อมตัวต้านทาน ตัวเหนี่ยวนำและตัวเก็บประจุที่ความถี่ใดๆ ดังแสดงในสมการที่ (2.8) ที่ความถี่เรโซแนนซ์จะพบว่าแรงดัน  $V_L$  และ  $V_C$  จะกลับเฟสกันอยู่ 180 องศา และแรงดัน  $V_R$  จะมีค่ามากที่สุด (แรงดัน  $V_L$  และ  $V_C$  หักล้างกันมีค่าเป็นศูนย์) แสดงว่าที่สภาวะเรโซแนนซ์จะไม่มีพลังงานสะสม

$$V_R = IR; \quad V_L = IX_L; \quad V_C = IX_C \quad (2.8)$$

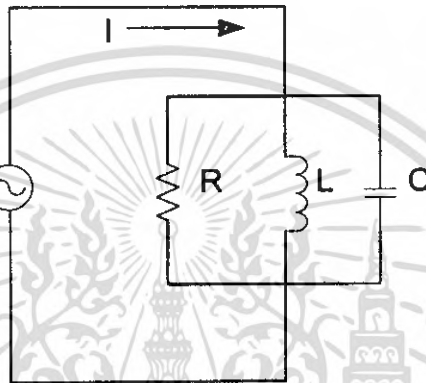
ตัวประกอบคุณภาพ (Quality Factor : Q) หมายถึงอัตราส่วนระหว่างพลังงานที่ถูกเก็บเอาไว้ต่อพลังงานที่ถูกใช้ไป สำหรับในวงจร RLC อนุกรมพลังงานถูกเก็บเอาไว้ที่ตัวเหนี่ยวนำและตัวเก็บประจุ จะสลับกันไปมาตลอดเวลา เพราะฉะนั้นในขณะเกิดสภาวะเรโซแนนซ์ค่าของ Q จะมีค่าเท่ากับ อัตราส่วนของคาร์แอกเตนซ์ทั้งสองต่อค่าของความต้านทาน ดังแสดงในสมการที่ (2.9)

เอกสารนี้เป็นเอกสารที่สงวนไว้สำหรับการใช้งานเพื่อการศึกษาเท่านั้น ไม่อนุญาตให้นำไปใช้ประโยชน์ด้านการค้าไม่ว่ากรณีใดๆ ทั้งสิ้น อีกทั้งห้ามมิให้ดัดแปลงเนื้อหา และต้องอ้างอิงถึงเจ้าของเอกสารทุกครั้งที่มีการนำไปใช้

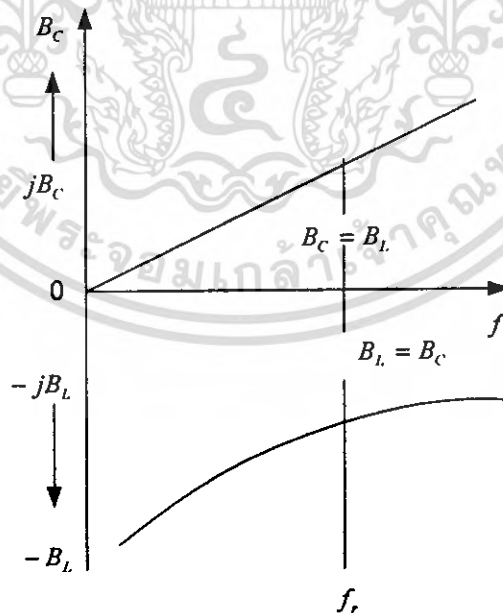
$$Q = \frac{X_L}{R} = \frac{X_C}{R} \quad (2.9)$$

### 2.3.2 วงจรเรโซแนนซ์แบบขนาน (Parallel Resonant Circuit)

เมื่อพิจารณาในรูปที่ 2.5 จะพบว่า เมื่อวงจรเกิดสภาวะเรโซแนนซ์ได้ก็ต่อเมื่ออินดักติฟ ซัมเชฟแดนซ์มีค่าเท่ากับคาปาซิทีฟ ซัมเชฟแดนซ์ หรือ  $B_L = B_C$  ดังนั้นค่าแอดมิตแดนซ์ของ วงจรจะน้อยที่สุด หรือกล่าวได้ว่ามีค่าเท่ากับควมนำเท่านั้น ดังแสดงในสมการที่ (2.11)



รูปที่ 2.5 (ก) วงจร RLC แบบขนาน



รูปที่ 2.5 (ข) ความสัมพันธ์ของ  $X_L$  และ  $X_C$  ต่อความถี่สำหรับวงจร RLC แบบขนาน

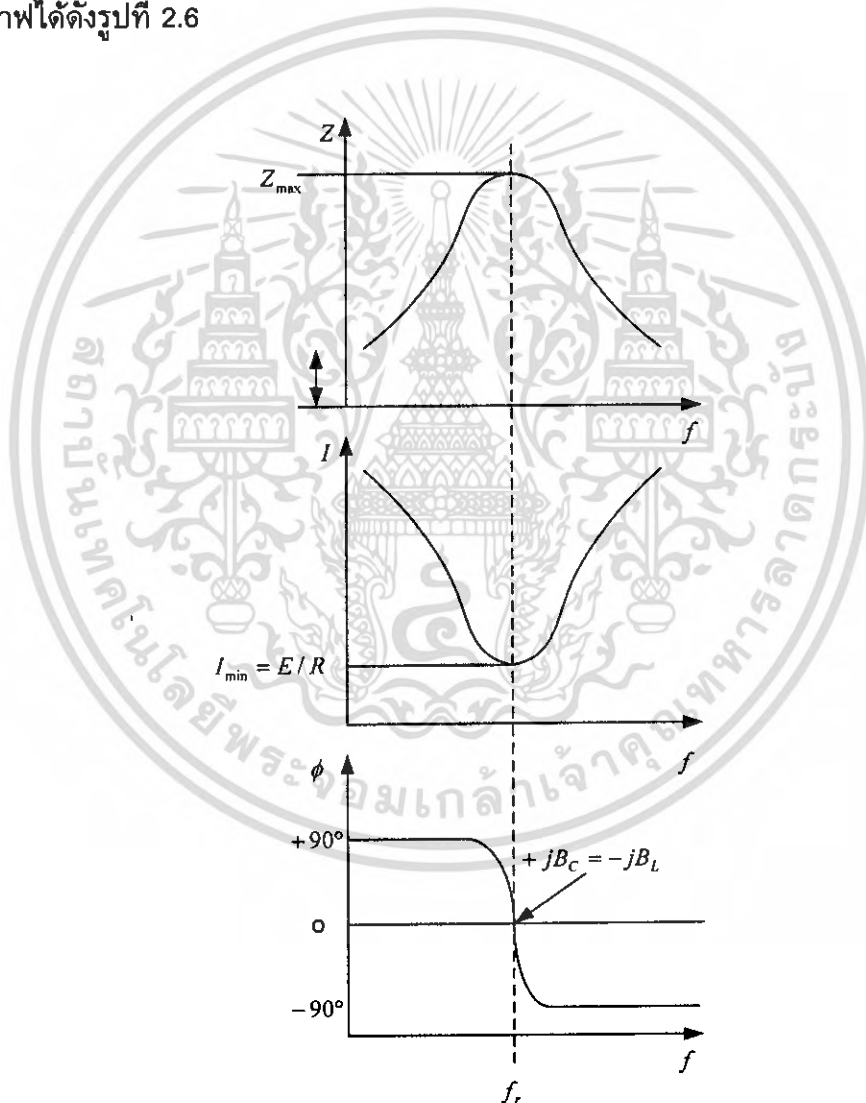
เอกสารนี้เป็นเอกสารที่สงวนไว้สำหรับการใช้งานเพื่อการศึกษาเท่านั้น ไม่อนุญาตให้นำไปใช้ประโยชน์ด้านการค้า ไม่ว่ากรณีใดๆ ทั้งสิ้น อีกทั้งห้ามมิให้ดัดแปลงเนื้อหา และต้องอ้างอิงถึงเจ้าของเอกสารทุกครั้งที่มีการนำไปใช้

$$Y = G + j(B_c - B_L) \quad (2.10)$$

เมื่อ  $B_L = B_C$  ( $f_r = \frac{1}{2\pi\sqrt{LC}}$ ) จะได้

$$Y = G = \frac{1}{R} \quad (2.11)$$

เมื่อนำค่าอิมพีแดนซ์รวมและกระแสที่ไหลในวงจร RLC แบบขนานที่ความถี่ใดๆ มาเขียนกราฟได้ดังรูปที่ 2.6



รูปที่ 2.6 อิมพีแดนซ์รวม และกระแสที่ไหลในวงจร RLC แบบขนาน ที่ความถี่ต่างๆ

เอกสารนี้เป็นเอกสารที่สงวนไว้สำหรับการใช้งานเพื่อการศึกษาเท่านั้น ไม่อนุญาตให้นำไปใช้ประโยชน์ด้านการค้าไม่ว่ากรณีใดๆ ทั้งสิ้น อีกทั้งห้ามมิให้ดัดแปลงเนื้อหา และต้องอ้างอิงถึงเจ้าของเอกสารทุกครั้งที่มีการนำไปใช้

เมื่อเกิดสภาวะเรโซแนนซ์ขึ้นในวงจร RLC แบบขนาน กระแสทั้งหมดที่ไหลในวงจรจะมีค่าเท่ากับกระแสที่ไหลผ่านความต้านทานเพียงอย่างเดียว ส่วนกระแสที่ไหลผ่านคาปาซิเตอร์และตัวเหนี่ยวนำจะหักล้างกันหมดไป ดังนั้นกระแสที่ไหลผ่านตัวเหนี่ยวนำและตัวคาปาซิเตอร์จะมีค่ามากกว่ากระแสที่ไหลในวงจรมากก็เท่าที่ย่อมเป็นไปได้ แต่ผลสุดท้ายค่ากระแสที่ไหลในวงจรก็จะเท่ากับกระแสที่ไหลผ่านความต้านทานนั่นเอง ส่วนค่าของ  $Q$  ของวงจรเรโซแนนซ์แบบขนานจะมีค่าเท่ากับ อัตราส่วนระหว่างค่าชัซเซฟแดนซ์ทั้งสองต่อค่าความนำของวงจร ดังสมการที่ (2.12)

$$Q_r = \frac{B_C}{G} = \frac{B_L}{G} \quad (2.12)$$

โดยสามารถเขียนให้อยู่ในรูปของกระแสได้ดังสมการที่ (2.13)

$$Q_r = \frac{I_C}{I_R} = \frac{I_L}{I_R} \quad (2.13)$$

โดยที่

$Q_r$  คือค่า  $Q$  ในขณะเกิดสภาวะเรโซแนนซ์

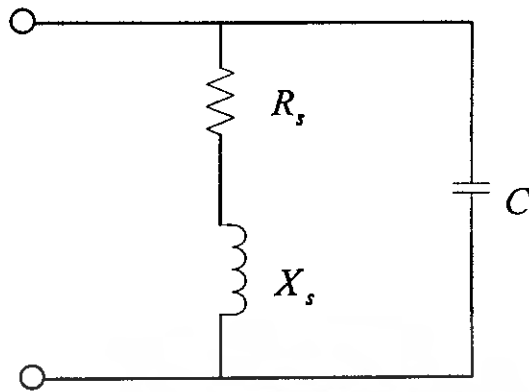
$B_C$  คือค่า คาปาซิติฟ ชัซเซฟแดนซ์ในขณะเกิดสภาวะเรโซแนนซ์

$B_L$  คือค่า อินดักติฟ ชัซเซฟแดนซ์ในขณะเกิดสภาวะเรโซแนนซ์

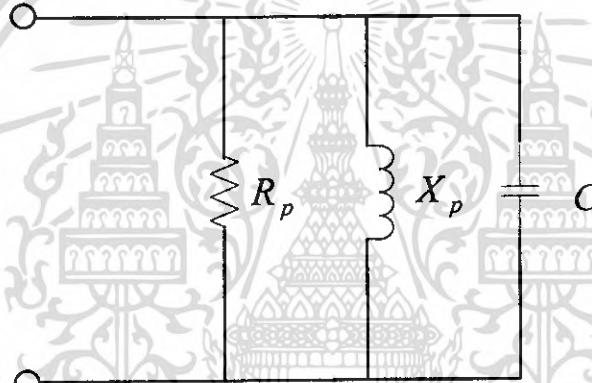
$G$  คือค่า ความนำของวงจร

สำหรับในรูปที่ 2.7 เป็นวงจรเสมือนของโหลดของวงจรอินเวอร์เตอร์เรโซแนนซ์แบบขนาน ซึ่งโดยทั่วไปจะเรียกว่าวงจรแทงค์ โดยเมื่ออยู่ที่สภาวะเรโซแนนซ์ค่าอิมพีแดนซ์รวมของวงจรสามารถหาค่าได้ดังสมการที่ (2.14)

$$Z = \sqrt{L/C} \quad (2.14)$$



รูปที่ 2.7 วงจรแท่งค์



รูปที่ 2.8 วงจร RLC แบบขนาน

เพื่อให้ง่ายต่อการวิเคราะห์หาค่าอิมพีแดนซ์ของวงจรแท่งค์ที่แสดงในรูปที่ 2.7 เราสามารถเปลี่ยนให้อยู่ในรูปของวงจร RLC แบบขนาน ดังแสดงในรูปที่ 2.8 โดยสามารถหาค่าอิมพีแดนซ์รวมของวงจรดังแสดงในสมการที่ (2.15)

$$Z(f) = \frac{R_p}{1 + jQ_p \left( \frac{f}{f_o} - \frac{f_o}{f} \right)} \quad (2.15)$$

โดยที่

$$R_p = \frac{x_s^2}{R_s} \quad (2.16)$$

เอกสารนี้เป็นเอกสารที่สงวนไว้สำหรับการใช้  $X_p = X_s$  ศึกษาเท่านั้น ไม่อนุญาตให้นำไปใช้ประโยชน์ (2.17) ไม่ว่ากรณีใดๆ ทั้งสิ้น อีกทั้งห้ามมิให้ดัดแปลงเนื้อหา และต้องอ้างอิงถึงเจ้าของเอกสารทุกครั้งที่มีการนำไปใช้

$$Q_p = \frac{\omega L}{R} \quad (2.18)$$

$R_p$  คือค่าความต้านทานสมมูลของวงจรแท่งที่แหล่งจ่ายมองเห็น

$Q_p$  คือค่า Quality Factor ของวงจรแท่ง

$f_o$  คือค่า Natural resonant frequency ของวงจรแท่ง

เมื่อพิจารณาสมการที่ (2.16) จะพบว่า  $R_p$  มีค่าแปรผกผันกับค่า  $R_s$  ดังนั้นเมื่อมีการใส่ชิ้นงานลงไปในขดลวดเหนี่ยวนำจะมีผลทำให้ค่า  $R_p$  มีค่าลดลงและค่า  $X_p$  มีค่าสูงขึ้นจึงมีผลทำให้ความถี่เรโซแนนซ์เปลี่ยนแปลงไปจากเดิม มีผลทำให้กำลังที่ด้านขาออกมีค่าลดลง

## 2.4 อินเวอร์เตอร์รีโซแนนซ์แบบอนุกรม

### 2.4.1 หลักการทำงานเบื้องต้น

อินเวอร์เตอร์รีโซแนนซ์แบบอนุกรม ก็คือคอนเวอร์เตอร์ที่แปลงกำลังไฟฟ้าจากกระแสตรงเป็นกระแสสลับ ซึ่งจะเรียกว่าเป็นวงจรรีโซแนนซ์แบบอนุกรม เพราะมีตัวเหนี่ยวนำและตัวเก็บประจุอนุกรมกันกับโหลดความต้านทาน การสวิตช์จะทำให้เกิดแรงดันรูปคลื่นสี่เหลี่ยม โดยที่ตัวเหนี่ยวนำและตัวเก็บประจุจะทำให้เกิดความถี่เรโซแนนซ์ซึ่งจะมีค่าเท่ากับความถี่สวิตช์

ขั้นตอนการวิเคราะห์มีดังนี้

1 พิจารณาผลตอบสนองเชิงความถี่ของวงจร R-L-C จะได้ อัตราขยายแรงดันของวงจรซึ่งมีความสัมพันธ์ ดังนี้

$$\frac{V_o}{V_i} = \frac{R}{\sqrt{R^2 + \left(\omega L - \frac{1}{\omega C}\right)^2}} \quad (2.19)$$

$$\frac{V_o}{V_i} = \frac{1}{\sqrt{1 + \left(\frac{\omega L}{R} - \frac{1}{\omega RC}\right)^2}} \quad (2.20)$$

2 ความถี่เรโซแนนซ์จะมีค่าเท่ากับ

$$\omega_o = \frac{1}{\sqrt{LC}} \quad (2.22)$$

เอกสารนี้เป็นเอกสารที่สงวนไว้สำหรับการใช้งานเพื่อการศึกษาเท่านั้น ไม่อนุญาตให้นำไปใช้ประโยชน์ด้านการค้าไม่ว่ากรณีใดๆ ทั้งสิ้น อีกทั้งห้ามมิให้ดัดแปลงเนื้อหา และต้องอ้างอิงถึงเจ้าของเอกสารทุกครั้งที่มีการนำไปใช้

$$f_0 = \frac{1}{2\pi\sqrt{LC}} \quad (2.23)$$

ที่ความถี่รีโซแนนซ์ ค่าอิมพีแดนซ์ของตัวเหนี่ยวนำและตัวเก็บประจุจะหักล้างกัน มองเห็นเป็นโหนดมีค่าเฉพาะความต้านทานเท่านั้น

เมื่อแรงดันไฟฟ้าด้านนอกเป็นรูปคลื่นสี่เหลี่ยมที่ความถี่  $f_0$  ผลของ L-C จะทำหน้าที่คล้ายเป็นตัวกรองความถี่ คือ ให้ความถี่หลักมูลผ่านไป และลดขนาดสัญญาณของฮาร์มอนิกส์ลำดับต่างๆ ทำให้รูปคลื่นแรงดันตกคร่อมความต้านทานเป็นรูปคลื่นสัญญาณไซน์ที่มีความถี่เดียวกันกับความถี่ของรูปคลื่นสี่เหลี่ยม

3 ขนาดของแรงดันความถี่หลักมูลของสัญญาณรูปคลื่นสี่เหลี่ยม  $\pm V_{dc}$  จะมีขนาดเท่ากับ

$$V_1 = \frac{4V_{dc}}{\pi} \quad (2.24)$$

4 ผลตอบสนองเชิงความถี่ของวงจรกรองความถี่จะแสดงในพจน์ของแบนวิทซ์ แสดงในรูปของตัวประกอบคุณภาพ (Quality Factor) ดังนี้

$$Q = \frac{\omega_0 L}{R} = \frac{1}{\omega_0 RC} \quad (2.25)$$

5 อัตราขยายแรงดันในสมการ (ข้อ 1.) สามารถแสดงในพจน์ของ  $\omega_0$  และ  $Q$  ดังนี้

$$\frac{V_o}{V_i} = \frac{1}{\sqrt{1 + Q^2 \left( \frac{\omega}{\omega_0} - \frac{\omega_0}{\omega} \right)^2}} \quad (2.26)$$

6 อัตราขยายแรงดันของผลตอบสนองเชิงความถี่บรรทัดฐาน (Normalized Frequency ;  $f_s/f_0$ ) ที่ค่า  $Q$  ต่างๆ ซึ่งจะเห็นได้ว่าแรงดันตกคร่อมตัวต้านทานจะลดลงเมื่อค่า  $Q$  สูงขึ้น ขณะที่การเพิ่มค่า  $L$  และลดค่า  $C$  จะมีผลทำให้  $Q$  มีค่าสูงขึ้น เช่นกัน

#### 2.4.2 การสูญเสียจากการสวิตซ์

จุดเด่นของอินเวอร์เตอร์รีโซแนนซ์ คือ การลดการสูญเสียของสวิตซ์เมื่อเทียบกับอินเวอร์เตอร์ทั่วไป หากความถี่รีโซแนนซ์และค่า  $Q$  ของวงจรมีค่าสูงขึ้น สวิตซ์จะทำงานเมื่อ

กระแสไหลดมีค่าเข้าใกล้ศูนย์ ทำให้อุปกรณ์สวิตช์มีการสูญเสียต่ำ วงจรอินเวอร์เตอร์ชนิดนี้จึงมีประสิทธิภาพค่อนข้างสูง

### 2.4.3 การทำงานที่ความถี่ต่ำกว่าความถี่เรโซแนนซ์

การทำงานที่ความถี่ต่ำกว่าความถี่เรโซแนนซ์จะทำให้ไหลดมีสภาพเป็นอินดักทีฟไหลด โดยมีรูปคลื่นของแรงดันกับกระแสที่ไหลด และสวิตช์ของอินเวอร์เตอร์เรโซแนนซ์ชนิดแหล่งจ่ายแรงดัน สวิตช์ตัวนำที่นำกระแสอยู่จะหยุดนำกระแสได้เมื่อหยุดป้อนแรงดันที่เกิด และสวิตช์ที่เปิดวงจรอยู่จะนำกระแสได้ก็ต่อเมื่อสวิตช์อีกตัวหยุดนำกระแสไปแล้ว ซึ่งช่วงดังกล่าวอาจทำให้เกิดการทำงานที่ไม่ต่อเนื่องกันของสวิตช์ ทำให้เกิดแรงดันยอดสูง (Spike Voltage) ขึ้นที่สวิตช์ อาจทำให้สวิตช์เสียหายได้ สำหรับการปิดกันแรงดันของสวิตช์นั้นในช่วงที่แรงดันตกคร่อมสวิตช์เป็นบวก มอสเฟตจะปิดกันแรงดันไว้และเมื่อแรงดันเป็นลบไดโอดจะทำหน้าที่ปิดกันแรงดันแทน

### 2.4.4 การทำงานที่ความถี่สูงกว่าความถี่เรโซแนนซ์

การทำงานที่ความถี่สูงกว่าความถี่เรโซแนนซ์จะทำให้ไหลดมีสภาพเป็นคาปาซิทีฟไหลด โดยมีรูปคลื่นของแรงดันกับกระแสที่ไหลดและสวิตช์ของอินเวอร์เตอร์เรโซแนนซ์ชนิดแหล่งจ่ายแรงดัน การสั่งให้สวิตช์ตัวที่เปิดวงจรอยู่ให้นำกระแสจะทำให้สวิตช์ตัวที่นำกระแสอยู่ได้รับแรงดันรีเวอร์สไบอัสจึงหยุดนำกระแส ดังนั้นการทำงานของสวิตช์จะเป็นไปอย่างต่อเนื่องกันหรือเรียกว่าเป็นแบบคู่ประกอบกัน (Complementary Switch) สำหรับการปิดกันแรงดันของสวิตช์นั้นในช่วงที่แรงดันตกคร่อมสวิตช์เป็นบวกมอสเฟตจะปิดกันแรงดันไว้ และเมื่อแรงดันเป็นลบไดโอดจะทำหน้าที่ปิดกันแรงดันแทน

## 2.5 เพาเวอร์มอสเฟต

เพาเวอร์มอสเฟต (Power Mosfet) สามารถทำงานได้ดีที่ความถี่สูง ขนาดตั้งแต่ 10 กิโลเฮิร์ต ไปจนถึงประมาณ 200-400 กิโลเฮิร์ต เนื่องจากมันใช้เวลาในการเปลี่ยนแปลงสถานะค่อนข้างสั้น และการพัฒนาในปัจจุบัน มีแนวโน้มว่าจะทำให้เพาเวอร์มอสเฟตทำงานได้ดีที่ความถี่สูงขึ้นไปอีก ซึ่งจะทำให้เป็นผลดีในการลดขนาดอินเวอเตอร์ ในส่วนวงจรขับของเพาเวอร์มอสเฟตนั้นสามารถทำได้ง่าย โดยอาจขับเพาเวอร์มอสเฟตให้ทำงานได้จากไอซีควบคุม เช่น ไอซี TL494 โดยตรง เพาเวอร์มอสเฟตจึงเข้ามาแทนที่ไบโพลาร์เพาเวอร์ทรานซิสเตอร์อย่างรวดเร็วในการผลิตสวิตช์ซึ่งเพาเวอร์ชิพหลายในอุตสาหกรรมปัจจุบัน

โครงสร้างของเพาเวอร์มอสเฟตจะเป็นไปได้ทั้งในลักษณะ N-channel และ P-channel อย่างไรก็ตามจะขอก้าวถึงชนิด N-channel เท่านั้น

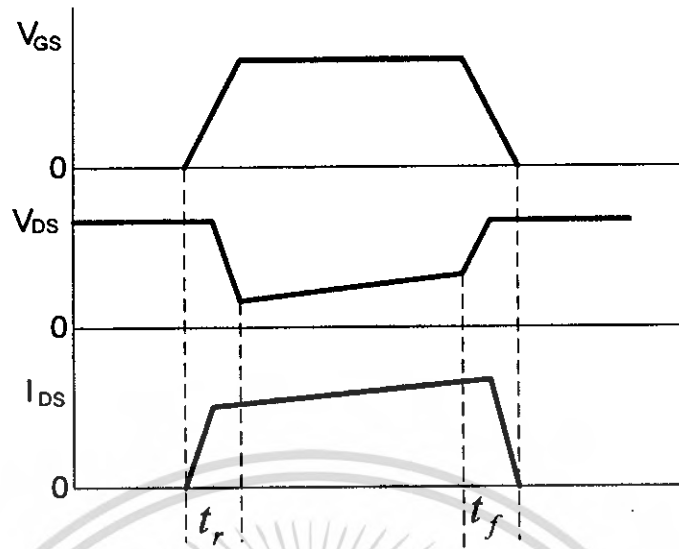
### 2.5.1 กำลังงานสูญเสียในรูปความร้อนของเพาเวอร์มอสเฟต

กำลังงานสูญเสียที่เกิดขึ้นในเพาเวอร์มอสเฟตขณะทำงานนั้นจะเป็นไปได้ใน 2 ลักษณะ เช่นเดียวกันกับไบโพลาร์เพาเวอร์ทรานซิสเตอร์ คือ กำลังงานสูญเสียขณะเปลี่ยนแปลงสถานะ และกำลังงานสูญเสียขณะนำกระแส แต่เพาเวอร์มอสเฟตนั้นจะมีช่วงเวลาเริ่มนำกระแสและหยุดนำกระแสสั้นกว่าไบโพลาร์เพาเวอร์ทรานซิสเตอร์มาก เพราะตามโครงสร้างของเพาเวอร์มอสเฟต จะไม่มีประจุสะสมเกิดขึ้น จึงไม่มีปัญหาภายในลักษณะของไบโพลาร์เพาเวอร์ทรานซิสเตอร์ อย่างไรก็ตาม เพาเวอร์มอสเฟตจะมีค่าความต้านทานขณะที่นำกระแสค่อนข้างสูง การสูญเสียของเพาเวอร์มอสเฟตขณะมันนำกระแสจึงสูงกว่า ไบโพลาร์เพาเวอร์ทรานซิสเตอร์ รูปที่ 2.11 แสดงลักษณะการตอบสนองของเพาเวอร์มอสเฟตเมื่อทำงานเป็นสวิตช์

ถึงแม้ว่าช่วงเวลาเริ่มนำกระแสและเริ่มหยุดนำกระแสของ เพาเวอร์มอสเฟตจะค่อนข้างสั้น แต่โดยทั่วไปเพาเวอร์มอสเฟตจะถูกใช้ในงานความถี่สูง ในการใช้งานที่ความถี่สูงกว่า 50 กิโลเฮิร์ต การคิดค่ากำลังงานสูญเสียขณะทำงานจำเป็นต้องนำค่ากำลังงานสูญเสียขณะเปลี่ยนแปลงสถานะมาคิดด้วย และเนื่องจากช่วงเวลาที่เริ่มหยุดนำกระแส (turn off time) และช่วงเวลาเริ่มนำกระแส (turn on time) ของเพาเวอร์มอสเฟตมีค่าใกล้เคียงกันจึงต้องนำมาคิดทั้งสองช่วงเวลาด้วย เพราะฉะนั้นกำลังงานที่สูญเสียของเพาเวอร์มอสเฟตขณะทำงาน  $P_D$  จะมีค่าเท่ากับ

$$P_D = P_{sw(on)} + P_{sw(off)} + P_c \quad (2.27)$$

$$P_{sw(off)} = \frac{0.51_{pk}(on)V_{in} * t_f}{T} \quad (2.28)$$



รูปที่ 2.9 ลักษณะของกระแสและแรงดันคร่อมเพาเวอร์มอสเฟตเมื่อเริ่มนำกระแสและเริ่มหยุดนำกระแส

$$P_c = I_{Drms}^2 * R_{Dson}(T_j) \tag{2.29}$$

- เมื่อ  $P_{sw(on)}$  คือ กำลังงานสูญเสียขณะเริ่มนำกระแสของเพาเวอร์มอสเฟต
  - $P_{sw(off)}$  คือ กำลังงานสูญเสียขณะเริ่มหยุดนำกระแสของเพาเวอร์มอสเฟต
  - $P_c$  คือ กำลังงานสูญเสียขณะนำกระแสของเพาเวอร์มอสเฟต
  - $I_{pk(on)}$  คือ ค่ากระแสสูงสุดขณะเริ่มนำกระแส
  - $I_{pk(off)}$  คือ ค่ากระแสสูงสุดขณะเริ่มหยุดนำกระแส
  - $I_{Drms}$  คือ ค่ากระแส rms ที่ไหลผ่านเพาเวอร์มอสเฟตขณะทำงาน
  - $R_{Dson}(T_j)$  คือ ค่าความต้านทานระหว่างเดรนและซอร์ส ที่อุณหภูมิรอยต่อสูงสุด
- ขณะ ทำงานของเพาเวอร์มอสเฟต
- $t_r$  คือ ช่วงเวลาเริ่มนำกระแสของเพาเวอร์มอสเฟต
  - $t_f$  คือ ช่วงเวลาเริ่มหยุดนำกระแสของเพาเวอร์มอสเฟต

หมายเหตุ สำหรับเพาเวอร์มอสเฟตโดยทั่วไป ช่วงขณะเริ่มนำกระแสและหยุดนำกระแสใน data sheet ของผู้ผลิตส่วนใหญ่มักระบุเป็นค่า  $t_r$  (current rise time) และ  $t_f$  (current fall time) ตามลำดับ ในที่นี้จึงใช้สัญลักษณ์เป็น  $t_r$  และ  $t_f$  แทน  $t_{on}$  และ  $t_e$  เมื่อเปรียบเทียบกับ ไบโพลาร์เพาเวอร์ทรานซิสเตอร์

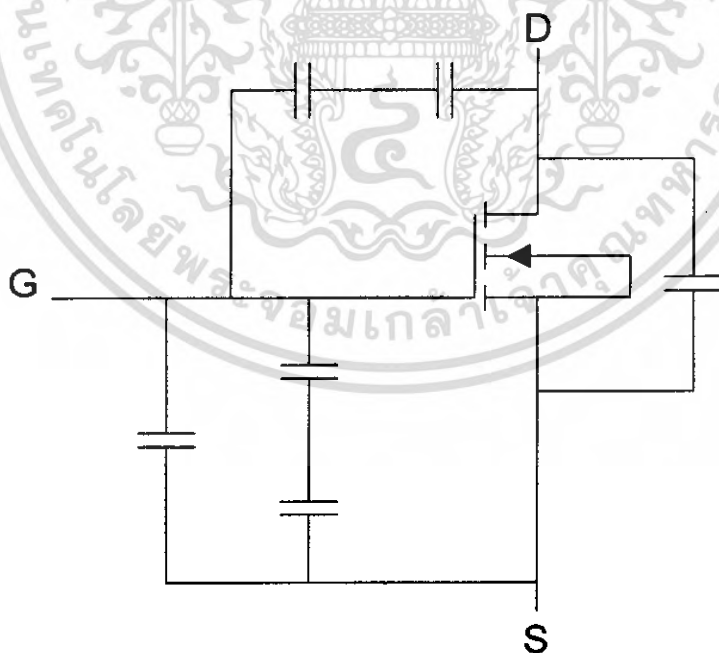
## 2.5.2 เงื่อนไขของวงจรขับเพาเวอร์มอสเฟต

การขับเพาเวอร์มอสเฟตให้น่ากระแสนั้น แตกต่างจากการขับกระแสไบแอสในไบโพลาร์เพาเวอร์ทรานซิสเตอร์เนื่องจากมีเงื่อนไขที่แตกต่างกัน สำหรับไบโพลาร์เพาเวอร์ทรานซิสเตอร์กระแสจะสามารถไหลผ่านคอลเล็กเตอร์และอิมิตเตอร์ได้ก็ต่อเมื่อมีกระแสไหลผ่านที่เบสและอิมิตเตอร์ แต่สำหรับเพาเวอร์มอสเฟต จะมีกระแสไหลผ่านเดรนและซอร์สได้ก็ต่อเมื่อ แรงดันที่ดักคร่อมที่ขาเกตและซอร์ส มีค่าอย่างต่ำเท่ากับแรงดันขีดเริ่ม + (threshold voltage) ของมัน แต่จะใช้กระแสต่ำ การขับเพาเวอร์มอสเฟตจึงทำได้ง่ายและยุ่งยากน้อยกว่าไบโพลาร์เพาเวอร์ทรานซิสเตอร์มาก

อย่างไรก็ตาม เพื่อให้เพาเวอร์มอสเฟตทำงานได้อย่างมีประสิทธิภาพสูงสุดจึงจำเป็นต้องศึกษาเงื่อนไขต่างๆ สำหรับการบังคับให้เพาเวอร์มอสเฟตน่ากระแสนั้นเป็นอันดับแรกเสียก่อน

## 2.5.3 ค่าความจุไฟฟ้าด้านอินพุทของมอสเฟต (Input Capacitance)

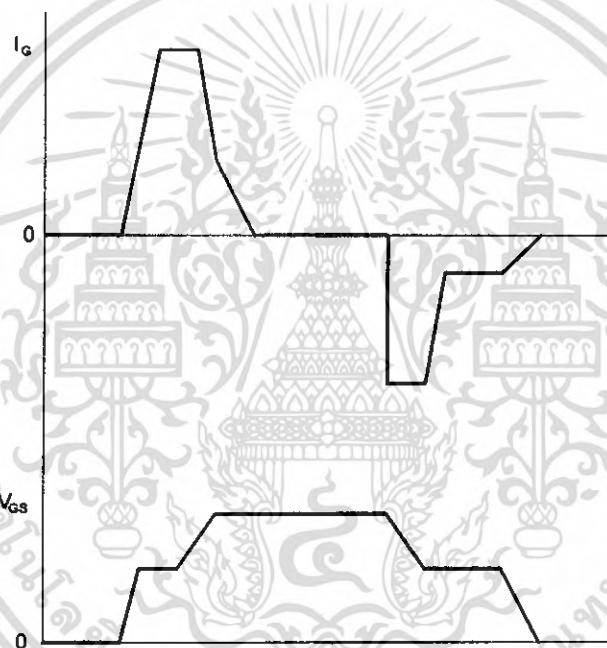
เนื่องจากโครงสร้างภายในเพาเวอร์มอสเฟตเหมือนมีตัวเก็บประจุต่ออยู่รอบๆ ขาต่างๆ ของมัน ดังรูปที่ 2.10



รูปที่ 2.10 ตัวเก็บประจุแฝงที่ต่ออยู่ที่ขาต่างๆภายในตัวเพาเวอร์มอสเฟต

โดยตัวเก็บประจุเหล่านี้จะบังคับให้เพาเวอร์มอสเฟตต้องชาร์จประจุเข้าไปที่ตัวเก็บประจุเสียก่อนเพื่อให้แรงดันดักคร่อมที่ขาเกต  $V_{GS}$  มีค่าเพิ่มขึ้นจนถึงค่าแรงดันขีดเริ่ม เพาเวอร์มอสเฟตจึงจะเริ่มนำกระแสซึ่งในทางกลับกันการหยุดนำกระแสของเพาเวอร์มอสเฟตจะทำให้ตัวเก็บประจุคายประจุออกไป จนแรงดันที่ดักคร่อมที่ขา  $V_{GS}$  มีค่าลดลงต่ำกว่าค่าแรงดันขีดเริ่ม เพาเวอร์มอสเฟตจึงหยุดนำกระแส ลักษณะของกระแสและแรงดันที่ขาเกตจึงมีลักษณะ ดังรูปที่ 2.11

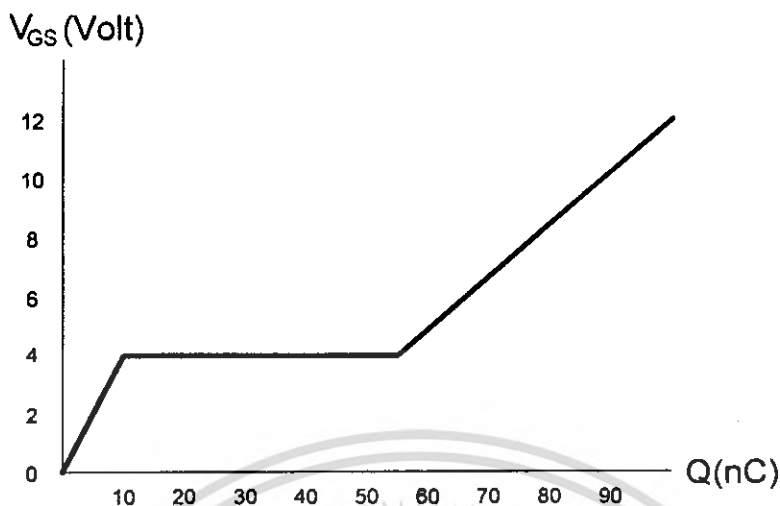
โดยทั่วไปแล้วค่าความจุในตัวเพาเวอร์มอสเฟตนี้เอง จะเป็นตัวกำหนดความเร็วในการเปลี่ยนแปลงสถานะของมัน



รูปที่ 2.11 แรงดันและกระแสขาเกตขณะเพาเวอร์มอสเฟตถูกไบอัสให้เหนี่ยวนำกระแส

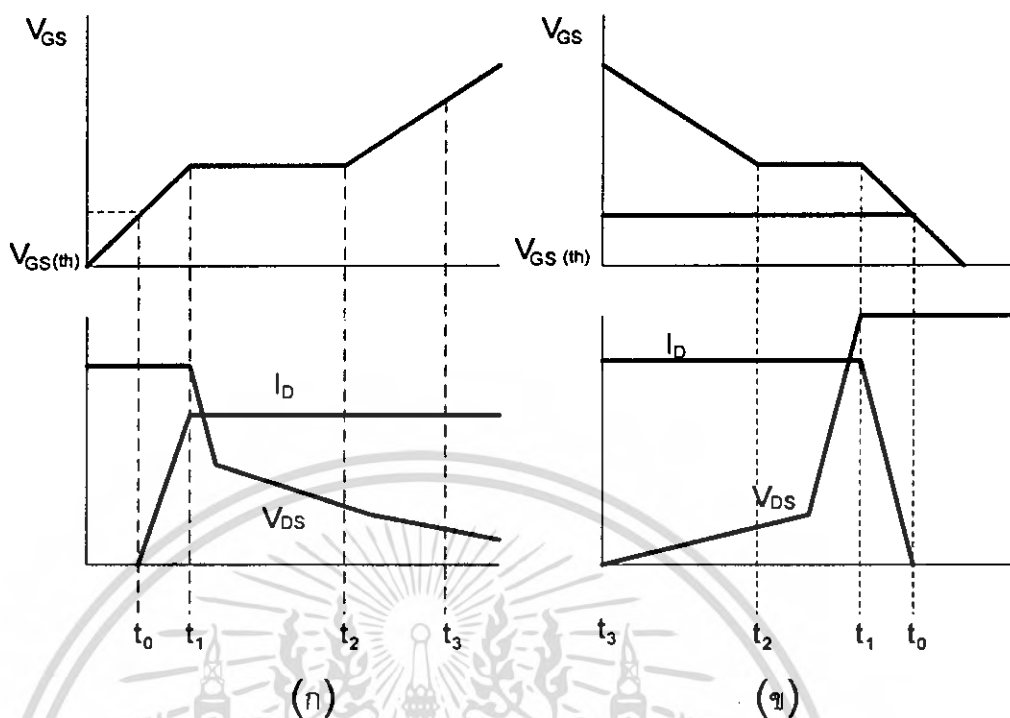
#### 2.5.4 การกำหนดเวลาในการเปลี่ยนแปลงสถานะ

ปกติแล้วผู้ผลิตจะให้กราฟของค่าแรงดัน  $V_{GS}$  ที่เพิ่มขึ้นในขณะที่ค่าประจุสะสมที่ขาเกตเพิ่มขึ้นหรือที่เรียกว่า Gate Charge Chart มาใน Data Sheet ด้วย กราฟนี้มีประโยชน์มากในการคำนวณหาค่ากระแสไบอัสเกตและเวลาในการเปลี่ยนสถานะของเพาเวอร์มอสเฟต



รูปที่ 2.12 Gate Charge Chart

เมื่อเพาเวอร์มอสเฟตเริ่มชาร์จประจุที่ขาเกตนั้นจนกระทั่งพ้นช่วงเวลานิ่งก่อนเริ่มนำกระแสเมื่อแรงดันที่ขาเกตมากกว่าแรงดันขีดเริ่ม  $V_{GS(th)}$  จึงจะเริ่มมีกระแสไหลผ่านเดรนและซอร์ส ที่เวลา  $t_0$  ค่าของแรงดันจะยังไม่ลดลงจนกว่าจะผ่านเวลาเท่ากับ  $t_1$  แรงดันตกคร่อมเดรนและซอร์ส  $V_{GS}$  จึงจะมีค่าลดลงอย่างรวดเร็วจากค่าแรงดันที่ประมาณ 90 เปอร์เซ็นต์ จนเหลือเพียง 10 เปอร์เซ็นต์ของค่าแรงดันตกคร่อม  $V_{GS}$  สูงสุด เพาเวอร์มอสเฟตจะเริ่มนำกระแสได้อย่างเต็มที่ในช่วงเวลาที่เริ่มนำกระแส  $t_1$  ถึง  $t_2$  นี้เอง และแรงดันที่ตกคร่อมที่ขาเกต  $V_{GS}$  จะคงที่ จนกว่าเพาเวอร์มอสเฟตจะนำกระแสได้อย่างเต็มที่ ดังแสดงในรูปที่ 2.13 ในช่วงเวลาสะสมประจุส่วนเกิน ค่าความต้านทานระหว่างขาเดรนและซอร์สจะมีค่าลดลงได้เรื่อยๆ หากปล่อยให้มีการสะสมประจุต่อไป ในช่วงเวลา  $t_2$  ถึง  $t_3$  แต่ประจุสะสมที่เพิ่มขึ้น จะทำให้เกิดการหน่วงขณะเริ่มหยุดนำกระแส เนื่องจากเพาเวอร์มอสเฟตจะต้องใช้เวลามากในการคายประจุส่วนเกินนี้ทิ้งไป ดังนั้นการขับเพาเวอร์มอสเฟตที่ขาเกตด้วยแรงดันสูงเกินความจำเป็นจะทำให้ช่วงเวลาเริ่มหยุดนำกระแสเพิ่มขึ้นซึ่งเป็นผลเสียได้



รูปที่ 2.13 การซาร์จประจุที่ขาเกตตามเวลาที่มีผลต่อการเริ่มนำกระแส (ก) และผลเมื่อเริ่มหยุดนำกระแสของเพาเวอร์มอสเฟต (ข)

เนื่องจากเพาเวอร์มอสเฟตไม่เกิดประจุสะสมขึ้นขณะนำกระแส การหยุดการนำกระแสของเพาเวอร์มอสเฟตจึงทำได้ง่าย ๆ ได้ด้วยการคายประจุที่ขาเกตทิ้งไปเช่นเดียวกับขณะเริ่มนำกระแส แต่ถ้านาฬิกาของกระแสเพื่อซาร์จประจุและคายประจุมีค่าเท่ากัน ช่วงเวลาเริ่มนำกระแสซึ่งจะช่วยเวลาเริ่มหยุดนำกระแสจะมีค่าเท่ากันด้วย ยกเว้นหากมีประจุสะสมมากในช่วงเวลา  $t_2$  ถึง  $t_3$  การหยุดนำกระแสจะมีช่วงเวลาหน่วงเพิ่มขึ้นด้วยเนื่องจากต้องใช้เวลาส่วนหนึ่งในการคายประจุส่วนเกินทิ้งไป

## 2.6 ทฤษฎีและวิธีการออกแบบหม้อแปลงความถี่สูง

### 2.6.1 หม้อแปลงสวิตชิง

หม้อแปลงความถี่สูงจัดเป็นอุปกรณ์สำหรับสวิตชิงเพาเวอร์ซัพพลาย ผู้ออกแบบสวิตชิงเพาเวอร์ซัพพลายจึงจำเป็นต้องศึกษารูปแบบที่เป็นไปได้ในลักษณะต่างๆของหม้อแปลงความถี่สูงความเหมาะสมในการใช้งาน การคำนวณขนาดแกนเฟอไรต์และขนาดขดลวดทองแดงรวมทั้งการกำหนดความปลอดภัยทางด้านไฟฟ้า เพื่อความปลอดภัยและลดกำลังงานสูญเสียในหม้อแปลงความถี่สูงขณะทำงาน หม้อแปลงไฟฟ้าที่ใช้งานทั่วไปที่ใช้เพิ่มหรือลดแรงดัน วิธีการออกแบบไม่ยุ่งยากเหมือนกับหม้อแปลงความถี่สูง เนื่องจากหม้อแปลงความถี่สูงรูปคลื่นเป็น

เอกสารนี้เป็นเอกสารที่สงวนไว้สำหรับการใช้งานเพื่อการศึกษาเท่านั้น ไม่อนุญาตให้นำไปใช้ประโยชน์ด้านการค้าไม่ว่ากรณีใดๆ ทั้งสิ้น อีกทั้งห้ามมิให้ดัดแปลงเนื้อหา และต้องอ้างอิงถึงเจ้าของเอกสารทุกครั้งที่มีการนำไปใช้

แบบสี่เหลี่ยม (Square Wave) ที่มีความถี่สูงและยังให้กำลังไฟฟ้าสูงด้วย สำหรับสิ่งที่กล่าวต่อไปนี้เป็นทฤษฎีเบื้องต้นของหม้อแปลง และส่วนประกอบต่างๆของหม้อแปลงความถี่สูง

### 2.6.2 ทฤษฎีหม้อแปลง

เมื่อมีกระแสไหลผ่านขดลวดที่พันรอบแกนปิดจะเกิดฟลักซ์เหนี่ยวนำในแกน ถ้ากระแสที่จ่ายให้มีการเปลี่ยนแปลงไปมา ฟลักซ์จะเปลี่ยนแปลงไปมาด้วย ถ้าเรานำขดลวดอีกขดมาพันรอบแกนๆนี้จะเกิดแรงดันและกระแสเหนี่ยวนำเรียกว่า หม้อแปลง

ความสัมพันธ์ของจำนวนรอบของขดลวดและแรงดันจะมีอัตราส่วนคงที่คือ

$$\frac{N_p}{N_s} = \frac{V_p}{V_s} \quad (2.30)$$

เมื่อ

$N_p$  คือ จำนวนรอบขดลวดทางด้านปฐมภูมิ

$N_s$  คือ จำนวนรอบขดลวดทางด้านทุติยภูมิ

$V_p$  คือ แรงดันทางด้านปฐมภูมิ

$V_s$  คือ แรงดันทางด้านทุติยภูมิ

แรงดันเหนี่ยวนำจะเป็นไปตามการเปลี่ยนแปลงของความหนาแน่นของฟลักซ์ ถ้าให้ B อยู่ในช่วงเส้นตรงจะได้

$$B_{\max} = \frac{(V_p \times 10^8)}{K \times f \times N_p \times A_c} \quad (2.31)$$

เมื่อ

$B_{\max}$  คือ ความหนาแน่นของฟลักซ์สูงสุด

$V_p$  คือ แรงดันด้านปฐมภูมิ มีหน่วยเป็นโวลต์

$f$  คือ ความถี่หน่วยเป็น เฮิรตซ์

$N_p$  คือ จำนวนรอบขดลวดด้านปฐมภูมิ

$A_c$  คือ พื้นที่หน้าตัดของแกน มีหน่วยเป็น ตารางเซนติเมตร

$K$  คือ ค่าคงที่มีค่าเท่ากับ 4.44 สำหรับแรงดันรูปซายน์ และ 4.0 สำหรับ

แรงดันรูปสี่เหลี่ยม

ปกติค่า  $B_{\max}$  จะเลือกค่าที่มี  $\frac{B_{sat}}{2}$  เพื่อให้แน่ใจว่าทำงานในช่วงที่เป็นเส้นตรงตัวประกอบที่สำคัญอีกสิ่งหนึ่งก็คือ พื้นที่สำหรับการวางเส้นลวดตัวนำซึ่งปกติจะพันอยู่บนตัวบอบ

เอกสารนี้เป็นเอกสารที่สงวนไว้สำหรับการใช้งานเพื่อการศึกษาเท่านั้น ไม่อนุญาตให้นำไปใช้ประโยชน์ด้านการค้าไม่ว่ากรณีใดๆ ทั้งสิ้น อีกทั้งห้ามมิให้ดัดแปลงเนื้อหา และต้องอ้างอิงถึงเจ้าของเอกสารทุกครั้งที่มีการนำไปใช้

บิ้น ค่าตัวนี้จะต้องเลือกให้เหมาะสมด้วย สำหรับความสามารถในการจ่ายกำลังของแกนเหล็กคำนวณได้จาก

$$P_{out} = (1.16 \times B_{max} \times f \times d \times A_c \times A_c) \times 10^{-9} \quad (2.32)$$

เมื่อ  $P_{out}$  คือ กำลังที่จ่ายให้มีหน่วยเป็นวัตต์

$d$  คือ ความหนาแน่นของกระแสในขดลวดตัวนำมีหน่วยเป็นแอมป์ต่อตารางเมตร

$A_c$  คือ พื้นที่หน้าตัดของแกนมีหน่วยเป็นตารางเซนติเมตร

$A_c$  คือ พื้นที่สำหรับพันขดลวดบนบอบบิ้นมีหน่วยเป็นตารางเซนติเมตร

### 2.6.3 ส่วนประกอบของหม้อแปลงสวิตชิง

หม้อแปลงสวิตชิงมีหน้าที่หลักในการลดทอนแรงดันไปให้ต่ำลงที่เอาท์พุท และทำให้เกิดการแยกกันทางไฟฟ้าระหว่างแรงดันด้านอินพุทที่ได้ เพื่อป้องกันอันตรายจากการถูกไฟฟ้าดูด ส่วนประกอบที่สำคัญของหม้อแปลงสวิตชิงมีดังนี้

#### 2.6.3.1 แกนเฟอร์ไรต์ (Ferrite Core)

แกนเฟอร์ไรต์เป็นวัสดุประเภท เฟอร์โรแมกเนติก (Ferromagnetic material) การเหนี่ยวนำแม่เหล็กที่เกิดขึ้นบนแกนอากาศมาก แกนเฟอร์ไรต์มีค่าจุ่มตัวฟลักซ์แม่เหล็กค่อนข้างสูงประมาณในช่วง 3000 ถึง 4000 เกาส์ และเกิดการสูญเสียในตัวมันต่ำที่ความถี่สูงๆ ดังนั้นหม้อแปลงสวิตชิงจึงนิยมใช้แกนเฟอร์ไรต์มากที่สุด เฟอร์ไรต์ที่นำมาใช้ทำแกนของหม้อแปลงจะมีรูปร่างแตกต่างกันออกไปขึ้นอยู่กับการใช้งานและมาตรฐานในการออกแบบ

#### 2.6.3.2 บอบบิ้น (Bobbin)

บอบบิ้นหรือแบบรองพัน ปกติจะทำจากพลาสติกที่ทนความร้อนได้สูงและไม่ติดไฟบอบบิ้นจะช่วยให้การพันขดลวดบนแกนเฟอร์ไรต์ได้สะดวกขึ้น และป้องกันปัญหาการลัดวงจรระหว่างขดลวดกับแกนเฟอร์ไรต์ได้ บอบบิ้นจะมีขนาดมาตรฐานตามมาตรฐานของแกนเฟอร์ไรต์

#### 2.6.3.3 ลวดทองแดงอาบน้ำยา (Enameled Copper Wire)

การพันขดลวดทั้งไพรมารีและเซคันดารีของหม้อแปลงสวิตชิงที่กำลังไม่สูงมากนัก ปกติจะใช้ลวดทองแดงอาบน้ำยาพันบนบอบบิ้น เพื่อให้ได้จำนวนรอบตามต้องการ ขนาดของลวดทองแดงที่ใช้พันนั้นขึ้นอยู่กับค่ากระแสสูงสุดที่ผ่านขดลวด ความถี่และผลข้างเคียงอื่นๆ

#### 2.6.3.4 เทปฉนวน (Insulation Tape)

เทปฉนวนใช้พันสำหรับตัวรองระหว่างชั้นของขดลวดในหม้อแปลงสวิตชิง และมีหน้าที่สำคัญในการแยกส่วนทางไฟฟ้าระหว่างขดลวดไพรมารี และ ขดเซคันดารี ด้วยวัสดุที่ใช้ทำเทปฉนวนอาจเป็นพวกไมลาร์ โพลีเอสเตอร์ ที่มีความหนาอยู่ในช่วง 0.05-0.1 มิลลิเมตร

การเลือกใช้จะขึ้นอยู่กับกรอกแบบและค่าความปลอดภัยที่ต้องการจากหม้อแปลงสวิตซึ่งเป็นหลัก

#### 2.6.4 แกนเฟอร์ไรต์และการเลือกใช้

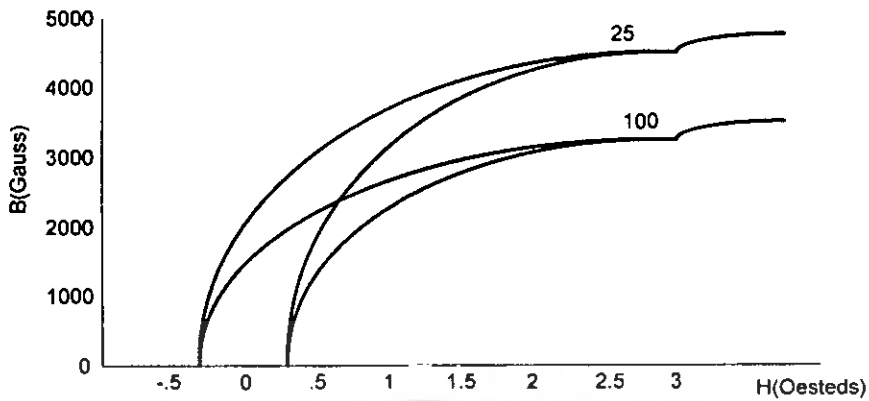
แกนเฟอร์ไรต์สำหรับหม้อแปลงสวิตซึ่ง โดยทั่วไปจะถูกผลิตออกมาที่ขนาดและรูปทรงต่างๆตามมาตรฐานเดียวกัน เช่น แกนแบบ EI EE ETD หรือแกนแบบ POT เป็นต้น ปกติผู้ผลิตจะทำแกนเฟอร์ไรต์ออกมาในลักษณะของคู่ประกบ เพื่อความสะดวกในการประกอบเข้ากับบอบบิ้น การประกบแกนเฟอร์ไรต์บนบอบบิ้นจะทำให้ทางเดินของฟลักซ์แม่เหล็กที่เกิดขึ้นในแกนเฟอร์ไรต์ออกมาในลักษณะเป็นวงจรรวบได้

#### 2.6.5 ลักษณะสมบัติของเนื้อสารที่ใช้ทำแกนเฟอร์ไรต์

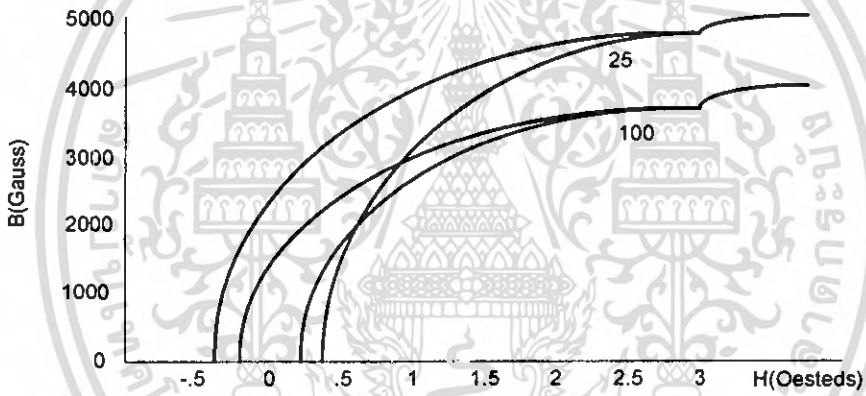
ชนิดของเนื้อสารแกนเฟอร์ไรต์ที่แตกต่างกันจะให้คุณสมบัติทางแม่เหล็กของแกนเฟอร์ไรต์แตกต่างกันด้วยถึงแม้จะมีขนาดเท่ากันทุกประการก็ตาม ในแผ่นข้อมูลเนื้อสารที่ให้มากับแกนเฟอร์ไรต์นั้นจะต้องมีรายละเอียดคุณสมบัติเนื้อสารแสดงไว้เสมอ ข้อมูลที่สำคัญที่ควรทำความเข้าใจและศึกษาไว้ก็คือเส้นโค้งฮิสเตอร์รีซิส (Hyteresis Curve) และค่าการสูญเสียในแกนเฟอร์ไรต์ (Core Loss)

#### 2.6.6 เส้นโค้งฮิสเตอร์รีซิส (Hyteresis Curve)

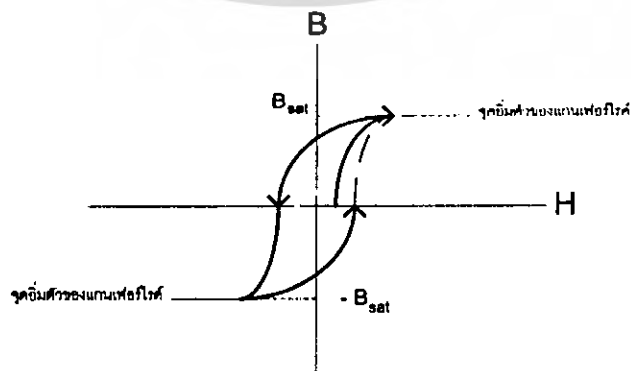
เส้นโค้งฮิสเตอร์รีซิสจะแสดงความสัมพันธ์ระหว่างค่าความหนาแน่นฟลักซ์แม่เหล็ก (B) ที่เกิดขึ้นในแกนเฟอร์ไรต์กับความเข้มของสนามแม่เหล็ก (H) ที่เกิดจากการเหนี่ยวนำของขดลวดที่พันบนแกนในรูปที่ 2.14 (a) และ 2.14 (b) จะแสดงลักษณะของเส้นโค้งฮิสเตอร์รีซิสของเนื้อสารชนิด 3C8 และ 3C6A ตามลำดับ จากรูปจะเห็นว่าค่าความหนาแน่นฟลักซ์ B มีค่าเพิ่มขึ้นน้อยมาก แม้ว่าจะมีการเพิ่มขึ้นของสนามแม่เหล็ก H ก็ตาม จากจุดดังกล่าวเราจะเรียกว่าแกนเริ่มอิ่มตัวของฟลักซ์แม่เหล็ก (Saturation) โดยปกติผู้ผลิตจะแสดงกราฟเส้นโค้งฮิสเตอร์รีซิสเพียงครั้งเดียว เนื่องจากอีกครึ่งหนึ่งของเส้นจะมีลักษณะเหมือนกันดังแสดงในรูปที่ 2.15



(a) เส้นโค้งฮิสเตอร์ิซิสของแกนเฟอร์ไรต์เนื้อสาร 3C8



(b) เส้นโค้งฮิสเตอร์ิซิสของแกนเฟอร์ไรต์เนื้อสาร 3C6A  
รูปที่ 2.14 แสดงเส้นโค้งฮิสเตอร์ิซิสของแกนเฟอร์ไรต์



รูปที่ 2.15 แสดงลักษณะที่สมบูรณ์ของเส้นโค้งฮิสเตอร์ิซิสซึ่งมีลักษณะสมมาตร

เอกสารนี้เป็นเอกสารที่สงวนไว้สำหรับการใช้งานเพื่อการศึกษาเท่านั้น ไม่อนุญาตให้นำไปใช้ประโยชน์ด้านการค้า  
ไม่ว่ากรณีใดๆ ทั้งสิ้น อีกทั้งห้ามมิให้ดัดแปลงเนื้อหา และต้องอ้างอิงถึงเจ้าของเอกสารทุกครั้งที่มีการนำไปใช้

### 2.6.7 ค่าสูญเสียในแกนเฟอร์ไรต์ (Core Loss)

การสูญเสียที่เกิดขึ้นในแกนเฟอร์ไรต์จะทำให้แกนเฟอร์ไรต์ร้อน ซึ่งมีสาเหตุหลัก 2 ประการ คือ การสูญเสียที่เกิดจากลักษณะฮิสเตอร์รีซิสของแกน และการสูญเสียจากการเกิดกระแสไหลวนในแกนเฟอร์ไรต์ที่ความถี่ต่ำกว่า 100 กิโลเฮิร์ต การสูญเสียเกิดจากการเกิดกระแสไหลวนในแกนจะมีค่าน้อยสำหรับแกนที่มีขนาดไม่ใหญ่ ดังนั้นการสูญเสียที่ก่อให้เกิดความร้อนในอกนอาจพิจารณาได้จากการสูญเสียทางฮิสเตอร์รีซิสเพียงอย่างเดียว

### 2.6.8 การออกแบบหม้อแปลง

มีสิ่งที่ต้องคำนึงดังนี้

#### 1 การเลือกอุปกรณ์พิจารณา ดังนี้

- 1.1 ชนิดลักษณะโครงสร้าง และขนาดของแกนเหล็ก
- 1.2 ชนิดรูปร่างขนาด และจำนวนรอบที่ใช้ในการพัน
- 1.3 ชนิดและลักษณะของฉนวน
- 1.4 ลักษณะโครงสร้างของ case ตลอดจนการระบายความร้อน
- 1.5 คุณสมบัติทางไฟฟ้าและเชิงกลต่างๆ

#### 2 ข้อกำหนดต้องพิจารณาถึง

- 2.1 ขนาดกำลังขาออก
- 2.2 ขนาดและรูปร่าง รวมทั้งความถี่ของกระแสและแรงดัน
- 2.3 กำลังสูญเสีย ประสิทธิภาพ อุณหภูมิ
- 2.4 Voltage Regulation

#### 3 ขีดจำกัด

- 3.1 การอิ่มตัวของแกนเหล็ก
- 3.2 กำลังสูญเสียในลวดทองแดงและในแกนเหล็ก

### 2.6.9 สมการที่ใช้ในการออกแบบ

จากขีดจำกัดของแกนเหล็ก (Saturation or Core Loss)

- เมื่อแรงดันเป็น Square Wave

$$\text{จาก} \quad V = N \frac{d\phi}{dt} \quad (2.33)$$

$$\phi = \int_0^{T/2} \frac{V}{N} dt \quad (2.34)$$

$$\begin{aligned} & \frac{V T}{N} \\ &= \frac{2}{N} = n B_{\max} S \end{aligned} \quad (2.35)$$

โดยที่  $n = 1$  เมื่อมี dc magnetizing current

$n = 2$  เมื่อไม่มี dc magnetizing current

คำนวณหาจำนวนรอบขดลวดทั้งสองได้

$$N_1 = \frac{V_1}{2n B_{\max} S f} \quad (2.36)$$

- เมื่อแรงดันเป็น Sine Wave

$$N_1 = \frac{V_{1rms}}{4.44 B_{\max} S f} \quad (2.37)$$

$$N_2 = \frac{V_{2rms}}{4.44 B_{\max} S f} \quad (2.38)$$

$$kW = N_1 A_{w1} + N_2 A_{w2} \quad (2.39)$$

จากขีดจำกัดของขดลวดทองแดงโดยคำนึงถึงการสูญเสีย ( $P_{cu}$ )

$$P_{cu} = I_{rms}^2 R_1 + I_{rms}^2 R_2 \quad (2.40)$$

$$R = \frac{\rho l}{A_w}, J = \frac{I_{rms}}{A_w} \quad (2.41)$$

จากคุณสมบัติของวงจรมแม่เหล็ก

$$L = N^2 \rho_m = \frac{N^2}{R_m} \quad (2.42)$$

$$L_{11} = N_1^2 \rho_{11}, L_{12} = N_2^2 \rho_{12}, \rho_m = \frac{\mu_m S_m}{l_m} \quad (2.43)$$

เอกสารนี้เป็นเอกสารที่สงวนไว้สำหรับการใช้งานเพื่อการศึกษาเท่านั้น ไม่อนุญาตให้นำไปใช้ประโยชน์ด้านการค้า  
ไม่ว่ากรณีใดๆ ทั้งสิ้น อีกทั้งห้ามมิให้ดัดแปลงเนื้อหา และต้องอ้างอิงถึงเจ้าของเอกสารทุกครั้งที่มีการนำไปใช้

โดยที่	$\rho$	เป็นสภาพความต้านทานของทองแดงมีค่า $1.72 \times 10^{-8} \Omega$
	$R_1$	เป็นความต้านทานรวมของขดลวดทองแดงด้านเข้าของหม้อแปลง
	$R_2$	เป็นความต้านทานรวมของขดลวดทองแดงด้านออกของหม้อแปลง
	$L_1$	เป็นความเหนี่ยวนำที่ต้องการออกแบบทางด้านเข้าหม้อแปลง
	$L_2$	เป็นความเหนี่ยวนำที่ต้องการออกแบบทางด้านออกหม้อแปลง
	$V_{1rms}$	เป็นแรงดันที่ตกคร่อมขดลวดด้านเข้าหม้อแปลง
	$V_{2rms}$	เป็นแรงดันที่ตกคร่อมขดลวดด้านออกหม้อแปลง
	$I_{1rms}$	เป็นค่ากระแสที่ไหลผ่านขดลวดด้านเข้าหม้อแปลง
	$I_{2rms}$	เป็นค่ากระแสที่ไหลผ่านขดลวดด้านออกหม้อแปลง
	$k$	เป็นค่าสัมประสิทธิ์ของช่องหน้าต่างมีค่า 0.1-0.6
	$B_{max}$	เป็นค่าสนามแม่เหล็กสูงสุดที่ยอมรับได้ สำหรับแกนเฟอร์ไรต์มีค่าไม่เกิน 0.6 T
	$P_{cu}$	เป็นกำลังสูญเสียที่เกิดขึ้นในขดลวดทองแดง
	$P_{in}$	เป็นกำลังด้านเข้าหม้อแปลง
	$P_{out}$	เป็นกำลังด้านออกหม้อแปลง
	$W$	เป็นพื้นที่ช่องหน้าต่าง ( $m^2$ )
	$S$	เป็นพื้นที่หน้าตัดของแกนแม่เหล็กที่ขดลวดทองแดงพันอยู่โดยรอบ ( $m^2$ )
	$l$	เป็นความยาวเฉลี่ยของขดลวดที่ต้องการใช้ในการพันรอบแกนเหล็ก
	$t$	เป็นความยาวเฉลี่ยของขดลวดที่พันรอบแกนแม่เหล็ก 1 รอบ
	$A_{w1}$	เป็นหน้าตัดของขดลวดทองแดงด้านเข้าหม้อแปลง
	$A_{w2}$	เป็นหน้าตัดของขดลวดทองแดงด้านออกหม้อแปลง
	$N_1$	เป็นจำนวนรอบที่พันรอบแกนแม่เหล็กของขดลวดด้านเข้าหม้อแปลง
	$N_2$	เป็นจำนวนรอบที่พันรอบแกนแม่เหล็กของขดลวดด้านออกหม้อแปลง
	$f$	เป็นความถี่ที่ใช้ในการออกแบบ

การเลือกหรือกำหนดแกนแม่เหล็กมีวิธีคำนวณ 2 วิธี

1.  $A_p$  Approach การออกแบบใช้ค่าของอุณหภูมิที่เพิ่มขึ้นซึ่งขึ้นอยู่กับรูปของคความหนาแน่นของกระแส สำหรับ Square Wave ที่ไม่มี dc magnetizing current

$$N_1 = \frac{V_1}{4B_{max}Sf} \quad (2.44)$$

$$N_2 = \frac{V_2}{4B_{max}Sf} \quad (2.45)$$

$$kW = N_1A_{w1} + N_2A_{w2} \quad (2.46)$$

เอกสารนี้เป็นเอกสารที่สงวนไว้สำหรับการใช้งานเพื่อการศึกษาเท่านั้น ไม่อนุญาตให้นำไปใช้ประโยชน์ด้านการค้าไม่ว่ากรณีใดๆ ทั้งสิ้น อีกทั้งห้ามมิให้ดัดแปลงเนื้อหา และต้องอ้างอิงถึงเจ้าของเอกสารทุกครั้งที่มีการนำไปใช้

$$kW = \frac{N_1 I_{1rms}}{J} + \frac{N_2 I_{2rms}}{J} \quad (2.47)$$

แทนค่า  $N_1$  และ  $N_2$  ได้

$$kW = \frac{V_1 I_{1rms}}{4B_{\max} S f J} + \frac{V_2 I_{2rms}}{4B_{\max} S f J} \quad (2.48)$$

$$kW = \frac{V_1 I_{1rms} + V_2 I_{2rms}}{4B_{\max} S f J} \quad (2.49)$$

จัดกลุ่มตัวแปรเพื่อกำหนดขนาดของหม้อแปลง

$$A_p = WS = \frac{V_1 I_{1rms} + V_2 I_{2rms}}{4k B_{\max} f J} \quad (2.50)$$

โดยทั่วไป  $V_1 I_{1rms} = V_2 I_{2rms} = P_{out}$

$$\therefore A_p = WS = \frac{2P_{out}}{4k B_{\max} f J} \quad (2.51)$$

สรุปขั้นตอนในการออกแบบตามวิธี  $A_p$  Approach

1. จากข้อกำหนดและขีดจำกัด หาค่า  $A_p$
2.  $A_p = \frac{V_1 I_{1rms} + V_2 I_{2rms}}{4k B_{\max} f J}$
3. เลือกขนาดแกนให้  $A_p$  มากกว่าค่าที่คำนวณได้จากข้อ 1
4. คำนวณหาจำนวนรอบขดลวดตัวนำ ( $N_1$  และ  $N_2$ )
5. คำนวณหาขนาดของขดลวดตัวนำ  $A_w$  เมื่อ  $N_1 A_{w1} = N_2 A_{w2}$
6. เลือกเบอร์ของขดลวดทองแดงให้มี  $A_w$  ใหญ่กว่า  $A_w$  ที่ได้จากข้อ 4 โดยเลือกกรรมของ

ขดลวดเล็กกว่าความลึกผิวของทองแดง (Skin Dept) ที่ความถี่ใช้งานสูงสุด  $\delta = \sqrt{\frac{2\rho}{\mu\omega}}$

7. การคำนวณหาค่า  $P_{cu} = I_{1rms}^2 R_1 + I_{2rms}^2 R_2$
8. ปรับค่า  $J$  เริ่มต้นตั้งแต่ 1-6 ใหม่จนได้  $P_{cu}$  ที่เหมาะสม
9. คำนวณหาค่า  $L_m$  จาก  $L_m = \frac{N^2 \mu_m S_m}{I_m}$

เอกสารนี้เป็นเอกสารที่สงวนไว้สำหรับการใช้งานเพื่อการศึกษาเท่านั้น ไม่อนุญาตให้นำไปใช้ประโยชน์ด้านการค้า  
ไม่ว่ากรณีใดๆ ทั้งสิ้น อีกทั้งห้ามมิให้ดัดแปลงเนื้อหา และต้องอ้างอิงถึงเจ้าของเอกสารทุกครั้งที่มีการนำไปใช้

$$10. \text{ คำนวณค่า } i_m = i_1 = \left( \frac{N_2}{N_1} \right) i_2$$

- โดยที่  $L_p$  คือค่าความเหนี่ยวนำรั่วไหลทาง  
 $L_s$  คือค่าความเหนี่ยวนำรั่วไหลทาง  
 $L_m$  คือค่าความเหนี่ยวนำแม่เหล็กที่อ้างอิงมาด้าน  
 $n$  คืออัตราส่วนแรงดัน

พิจารณาค่าดังต่อไปนี้

วัตทางด้านขด primary ในขณะที่เปิดใช้งานทางด้าน secondary กำหนดให้เป็น  $L_{11}$

วัตทางด้านขด primary ในขณะที่เปิดใช้งานทางด้าน secondary กำหนดให้เป็น  $L_{22}$

วัตทางด้านขด primary ในขณะที่ลัดวงจรทางด้าน secondary กำหนดให้เป็น  $L_{11,s}$

วัตทางด้าน secondary ในขณะที่ลัดวงจรทางด้าน primary กำหนดให้เป็น  $L_{22,s}$  โดยที่

$$L_{11} = L_p + L_m \quad (2.52)$$

$$L_{22} = L_s + \frac{L_m}{n^2} \quad (2.53)$$

$$L_{11,s} = L_p + \frac{L_m n^2 L_s}{L_m + n^2 L_s} \quad (2.54)$$

$$L_{22,s} = L_s + \left[ \frac{L_m L_p}{L_m + L_p} \right] \frac{1}{n^2} \quad (2.55)$$

$$n = \sqrt{\frac{L_{11}}{L_{22}}} \quad (2.56)$$

### 1. การออกแบบโดยใช้วิธี Core Geometry $k_g$ Approach วิธีนี้เป็นการออกแบบโดยใช้กำลังสูญเสียของลวดทองแดง

$$N_1 = \frac{V_1}{4B_{\max} S f} \quad (2.57)$$

$$N_2 = \frac{V_2}{4B_{\max} S f} \quad (2.58)$$

เอกสารนี้เป็นเอกสารที่สงวนไว้สำหรับการใช้งานเพื่อการศึกษาเท่านั้น ไม่อนุญาตให้นำไปใช้ประโยชน์ด้านการค้า  
 ไม่ว่ากรณีใดๆ ทั้งสิ้น อีกทั้งห้ามมิให้ดัดแปลงเนื้อหา และต้องอ้างอิงถึงเจ้าของเอกสารทุกครั้งที่มีการนำไปใช้

$$N_1 A_{w1} = N_2 A_{w2} = k \frac{W}{2} \quad (2.59)$$

จาก 
$$R = \frac{\rho l}{A_w} \quad (2.60)$$

เนื่องจาก 
$$l = Nt \text{ และ } A_w = \frac{kW}{2N}$$

ได้

$$R_1 = \frac{\rho N_1 t}{\left(\frac{kW}{2}\right)} = \frac{2 \rho t N_1^2}{kW} \quad (2.61)$$

$$R_2 = \frac{2 \rho N_2^2}{kW} \quad (2.62)$$

$$P_{cu} = I_{1rms}^2 R_1 + I_{2rms}^2 R_2 \quad (2.63)$$

แทนค่า  $R_1$  และ  $R_2$  จะได้

$$P_{cu} = \frac{2 \rho (V_1^2 I_{1rms}^2 + V_2^2 I_{2rms}^2)}{kW (4 B_{\max} S f)^2} \quad (2.64)$$

เนื่องจาก 
$$V_1 I_{1rms} = V_2 I_{2rms} = P_{out} \quad (2.65)$$

แทนค่าจะได้

$$P_{cu} = \frac{\rho P_{out}^2}{4kWB_{\max}^2 S^2 f^2} \quad (2.66)$$

จัดกลุ่มตัวแปรเพื่อกำหนดขนาดหม้อแปลง  $k_g$

$$k_g = \frac{WS^2}{t} = \frac{\rho P_{out}^2}{4kB_{\max}^2 f^2 S^2 P_{cu}} \quad (2.67)$$

เอกสารนี้เป็นเอกสารที่สงวนไว้สำหรับการใช้งานเพื่อการศึกษาเท่านั้น ไม่อนุญาตให้นำไปใช้ประโยชน์ด้านการค้า  
ไม่ว่ากรณีใดๆ ทั้งสิ้น อีกทั้งห้ามมิให้ดัดแปลงเนื้อหา และต้องอ้างอิงถึงเจ้าของเอกสารทุกครั้งที่มีการนำไปใช้

สรุปขั้นตอนการออกแบบตามวิธี

1. จากข้อกำหนดและขีดจำกัด คำนวณหาค่า  $k_r$
2. เลือกขนาดของแกนให้  $k_r$  มากกว่า  $k_r$  จากข้อ 1
3. คำนวณหাজำนวนรอบของขดลวดตัวนำ ( $N_1, N_2$ )
4. คำนวณหารายละเอียดของขดลวดตัวนำ ( $A_{w1}, A_{w2}$ )
5. เลือกเบอร์ลวดให้  $A_w$  มากกว่า  $A_w$  ในข้อ 4
6. เลือกรัศมีของลวดทองแดงเล็กกว่าความลึกผิวของทองแดงที่ความถี่ใช้งานสูงสุด

$$\delta(m) = \sqrt{\frac{2\rho}{\mu\omega}}$$

7. รวมค่ากำลังสูญเสียที่เกิดในแกน ( $P_{coreloss}$ ) และลวดทองแดง ( $P_{cu}$ ) Core Loss =  

$$P_w = 9.5623 \times 10^{-6} B_{max}^{2.22} f^{1.192} \text{ watt/gram}$$
8. คำนวณหาค่า  $L_m$  และ  $I_m$

### 2.6.10 ตัวเก็บประจุบล็อกกิ้ง Cb เพื่อป้องกันการไม่สมมาตรฟลักซ์แม่เหล็ก

ตัวเก็บประจุบล็อกกิ้ง (Blocking Capacitor) Cb ที่ต่อเพิ่มเข้ามาในวงจรนั้น มีหน้าที่หลักคือ ป้องกันการเกิดไม่สมมาตรฟลักซ์ขึ้นในแกนเฟอร์ไรต์ขณะวงจรทำงาน โดยการต่อตัวเก็บประจุบล็อกกิ้ง Cb คั่นเข้ามาในวงจร จะทำให้ Cb มีการเก็บประจุและคายประจุสลับกันไป ตามทิศทางของกระแสที่ไหลในเซตไพรมารี Np ถ้าผลของการเกิดประจุสะสมทำให้ Q1 และ Q4 และ Q2 กับ Q3 มีช่วงเวลานำกระแสไม่เท่ากัน ก็จะทำให้การเก็บประจุและคายประจุของ Cb ใช้เวลาไม่เท่ากัน นั่นคือ หากเพาเวอร์มอสเฟตอีกตัวมีค่าช่วงเวลานำกระแสมากกว่า ในกรณีนี้ค่ากระแสสูงสุดจะมีค่ามากขึ้นตามช่วงเวลาที่เพิ่มขึ้นด้วย อย่างไรก็ตามก็ทำให้มีประจุเหลือค้างใน Cb ดังนั้นเมื่อเพาเวอร์มอสเฟตอีกตัวเริ่มนำกระแส แรงดันตกค้างใน Cb จะช่วยเพิ่มค่าแรงดันตกคร่อมขดลวดไพรมารีให้มีค่ามากขึ้น ค่าของกระแสสูงสุดจะมีค่าเท่ากันได้และไม่เกิดการไม่สมมาตร ฟลักซ์ขึ้น

อย่างไรก็ตามการต่อตัวเก็บประจุบล็อกกิ้ง Cb คั่นเข้ามาในวงจรจะทำให้แรงดันที่ตกคร่อมขดไพรมารีมีค่าลดลงตามเวลาหรือเกิดความลาด ขึ้นบนแรงดัน(droop) เนื่องจากแรงดันส่วนหนึ่งไปตกคร่อม Cb นั้นเอง และจะมีผลต่อแรงทางด้านเซตคันดารีทำให้เกิดการกระเพื่อมของแรงดันที่เอาต์พุตซึ่งไม่เป็นที่ต้องการเช่นกัน ดังนั้นจึงจำเป็นต้องกำหนดค่า Cb ให้มีค่าเหมาะสม เพื่อให้เกิดความลาดบนแรงดันที่ขดไพรมารีต่ำที่สุด การกำหนดค่าของ Cb อาจทำได้ดังนี้คือ

$$C_b = \frac{I_{p(pk)}}{\Delta V} (0.4T)$$

(2.68)

เมื่อ

- $I_{p(pk)}$  คือ ค่ากระแสสูงสุดที่ขดไพรมารี  
 $\Delta V$  คือ ค่าของความลาดแรงดันสูงสุดที่ยอมได้ ไม่เกิน  
 $T$  คือ ค่าคาบเวลาการทำงานของคอนเวอร์เตอร์



เอกสารนี้เป็นเอกสารที่สงวนไว้สำหรับการใช้งานเพื่อการศึกษาเท่านั้น ไม่อนุญาตให้นำไปใช้ประโยชน์ด้านการค้าไม่ว่ากรณีใดๆ ทั้งสิ้น อีกทั้งห้ามมิให้ดัดแปลงเนื้อหา และต้องอ้างอิงถึงเจ้าของเอกสารทุกครั้งที่มีการนำไปใช้

### บทที่ 3 วงจรที่เกี่ยวข้อง

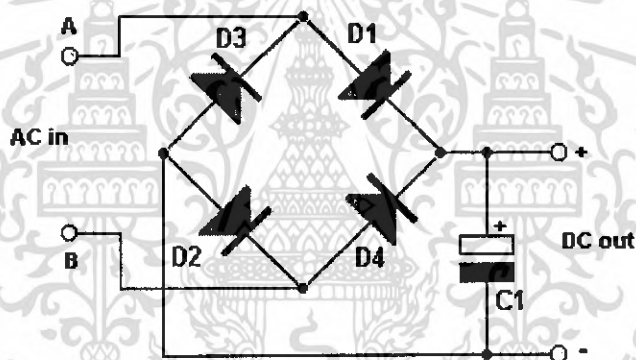
#### 3.1 วงจรเรียงกระแส (Rectifier) และ วงจรกรองแรงดัน(Filter)

##### 3.1.1 วงจรเรียงกระแส หรือ วงจรเรกติไฟเออร์(Rectifier)

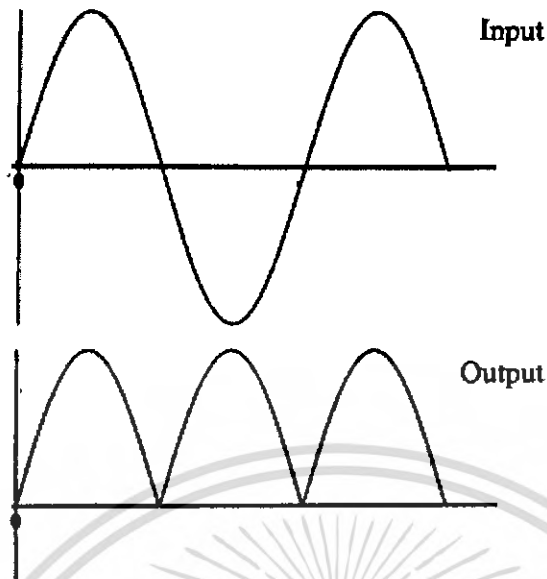
วงจรไฟฟ้าที่ทำหน้าที่ในการแปลงสัญญาณไฟฟ้ากระแสสลับให้เป็นกระแสตรง หรือยอมให้กระแสไฟฟ้าไหลผ่านในทิศทางเดียวเท่านั้น อุปกรณ์ทั่วไปที่ใช้ในวงจรได้แก่ ไดโอด

วงจรบริดจ์เรกติไฟเออร์ (Bridge Rectifier)

วงจรเรียงกระแสในโครงการนี้เป็นวงจรบริดจ์เรกติไฟเออร์หรือบริดจ์ไดโอด ดังรูป ที่ 3.1



รูปที่ 3.1 วงจรบริดจ์เรกติไฟเออร์ (Bridge Rectifier)



รูปที่ 3.2 แสดงแรงดัน ขาเข้า และ ขาออก วงจรเรกติไฟเออร์

การทำงานของบริดจ์เรกติไฟเออร์จะมีทิศทางการกำหนดตามลักษณะของลูกศร นั่นคือ เมื่อ  $V_s$  เพิ่มขึ้นทางบวก ไดโอด D2 และ D3 จะนำกระแส และเมื่อแรงดัน  $V_s$  ลงไปในทางลบ ไดโอด D1 และ D4 จะนำกระแสเป็นผลทำให้กระแสไหลผ่านโหลด ในทิศทางเดียวเท่านั้น

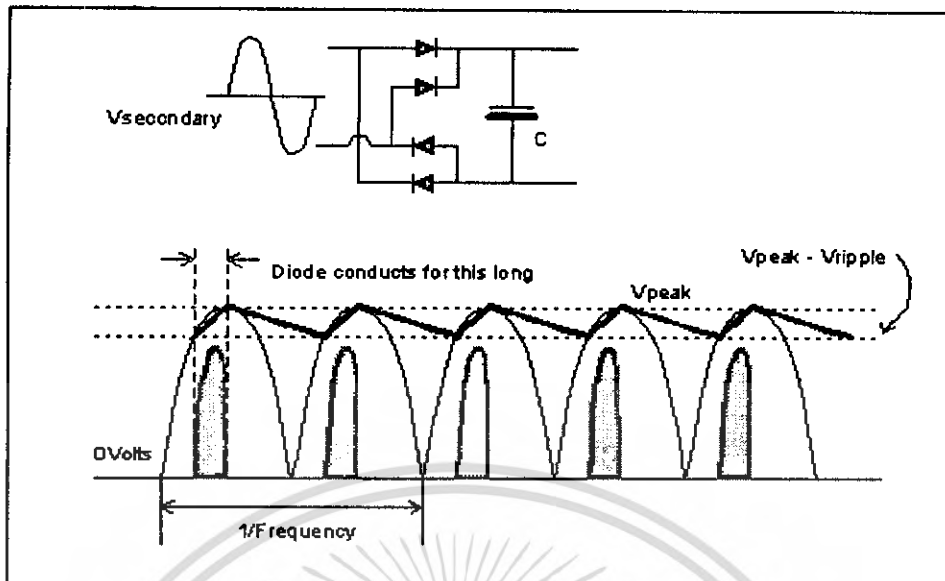
3.1.1.1 ค่ากระแสกระชาก กระแสกระชากสูงสุดที่ผ่านบริดจ์ไดโอดขณะเปิดเครื่อง เมื่อตัวเก็บประจุฟิลเตอร์ยังไม่มีประจุสะสมอยู่ ดังนั้นการเลือกบริดจ์ไดโอดจะต้องให้มีค่าอัตราทนกระแสกระชากประมาณ 20 ถึง 30 เท่าของพิกัดกระแสเฉลี่ยขณะไบแอสตรง

3.1.1.2 ค่ากระแสเฉลี่ยขณะถูกไบแอสตรง ค่ากระแสเฉลี่ยที่บริดจ์ไดโอดขณะทำงาน ควรมีการเผื่อค่าไว้ประมาณ 1.5 ถึง 2 เท่าจากที่คำนวณได้ในวงจร เพื่อความปลอดภัยและยืดอายุการใช้งาน

3.1.1.3 อัตราแรงดันไบแอสกลับสูงสุด อัตราแรงดันไบแอสกลับสูงสุดไดโอดจะต้องมีค่าไม่ต่ำกว่าค่าแรงดันขอดสูงสุด ของแรงดันไฟสลับทางด้านอินพุท และต้องมีการเผื่อค่าให้มากกว่าแรงดันขอดสูงสุดของแรงดันไฟสลับด้วยเพื่อป้องกันทรานเซียนท์ในไฟสลับ

### 3.1.2 วงจรกรองแรงดัน (Filter)

แรงดันที่ผ่านวงจรเรกติไฟเออร์มาแล้วนั้น ถ้าพิจารณากันอย่างละเอียดแล้วจะเห็นว่ามีลักษณะแรงดันที่ได้มานั้นไม่ราบเรียบ จำเป็นจะต้องมีวงจรช่วยทำให้ลักษณะกระแสและแรงดันนั้นราบเรียบขึ้น นั่นก็คือใช้วงจรฟิลเตอร์



รูปที่ 3.3 การใส่ตัวเก็บประจุฟิเตอร์ (Filter)

แรงดันไฟฟ้าที่ได้ที่โหลดนั้น ต้องการให้เป็นไฟตรงที่เรียบขึ้น จึงใช้วิธีการใส่ตัวเก็บประจุ ทั้งนี้เพราะตัวเก็บประจุทำหน้าที่สำคัญคือ การสะสมประจุไว้ในตัวมัน เมื่อใดที่จะต้องจ่ายโหลดน้อย มันก็จะแบ่งสะสมไว้ซึ่งก็คือการชาร์จประจุ ซึ่งจะช่วยให้ลดผลของแรงดันกระเพื่อม(Ripple Voltage) ซึ่งสามารถหาค่าของตัวเก็บประจุให้เหมาะสมได้ดังนี้

$$C_{filter} = \frac{I_o t_{on(max)}}{V_r} \quad (3.1)$$

โดย

- $I_o$  คือ ค่ากระแสประสิทธิผลของวงจรเรียงกระแส(แอมแปร์).
- $t_{on(max)}$  คือ ช่วงเวลาที่ คายประจุ(วินาที)
- $V_r$  คือ ค่ายอดถึงยอดของแรงดันกระเพื่อมที่เอาท์พุทของวงจรเรียงกระแส( $V_p-p$ )

จากสมการพบว่าเมื่อตัวเก็บประจุ มีค่ามากขึ้นทำให้แรงดันกระเพื่อมมีค่าน้อยลง ดังนั้น ชนิดและขนาดของตัวเก็บประจุจึงมีผลกับแรงดันกระเพื่อม (Ripple voltage) ของแรงดันไฟตรงได้โดยปกติการออกแบบสวิตชิงเพาเวอร์ซัพพลายจะยอมให้วงจรเรียงกระแสมีค่าแรงดันกระเพื่อมไม่เกิน 10 เปอร์เซ็นต์ของค่าแรงดันเอาท์พุท

เอกสารนี้เป็นเอกสารที่สงวนไว้สำหรับการใช้งานเพื่อการศึกษาเท่านั้น ไม่อนุญาตให้นำไปใช้ประโยชน์ด้านการค้าไม่ว่ากรณีใดๆ ทั้งสิ้น อีกทั้งห้ามมิให้ดัดแปลงเนื้อหา และต้องอ้างอิงถึงเจ้าของเอกสารทุกครั้งที่มีการนำไปใช้

### 3.2 อินเวอร์เตอร์ (Invertor)

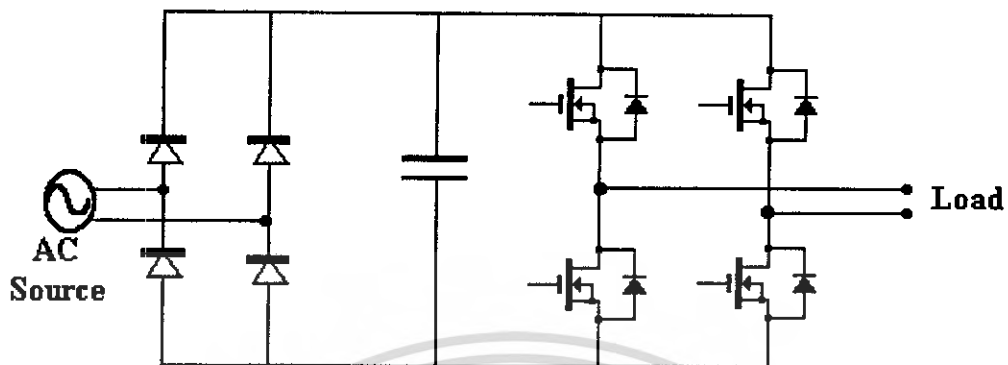
#### 3.2.1 ลักษณะการทำงานของวงจร

ในโครงการใช้อินเวอร์เตอร์แบบฟูลบริดจ์ในการแปลงผันแรงดันไฟตรงให้เป็นแรงไฟสลับความถี่สูงโดยอาศัยการสวิตซ์ของเพาเวอร์มอสเฟต ดังแสดงในรูปที่ 3.4

เราเลือกใช้วงจรอินเวอร์เตอร์แบบฟูลบริดจ์ ซึ่งเมื่อเราเปรียบเทียบกับแบบฮาล์ฟบริดจ์แล้วจะมีข้อดีกว่าตรงที่แรงดันเอาต์พุตที่ออกจากอินเวอร์เตอร์ซึ่งเป็นรูปคลื่นสี่เหลี่ยมมัน จะมีระดับแรงดันเท่ากับแรงดันอินพุตไฟตรง แต่แบบฮาล์ฟบริดจ์จะมีเพียงครึ่งหนึ่งของระดับแรงดันอินพุตเท่านั้น ดังนั้นถ้าระดับแรงดันอินพุตของอินเวอร์เตอร์ทั้งสองแบบเท่ากัน แบบฟูลบริดจ์จะสามารถจ่ายกำลังไฟฟ้าได้สูงกว่าฮาล์ฟบริดจ์ถึง 2 เท่า โดยที่อินเวอร์เตอร์จะคอยจ่ายไฟกระแสสลับผ่านหม้อแปลงให้กับขดลวดเหนี่ยวนำ เพื่อใช้ในการเหนี่ยวนำให้เกิดความร้อนในเบ้าหลอมจนสามารถหลอมงานชิ้นนั้นได้ ซึ่งโครงการนี้ได้ใช้อินเวอร์เตอร์เปลี่ยนความถี่ให้เป็นความถี่สูงๆ ค่าหนึ่งเนื่องจากความร้อนที่เกิดขึ้นจากกระแสไหลวนในเบ้าหลอมนั้นแปรตามความถี่ ตามสมการ นั่นเอง จากรูป อินเวอร์เตอร์มีหลักการทำงานดังนี้คือ เพาเวอร์มอสเฟตทั้ง 4 ตัว จะทำงานโดยนำกระแสและหยุดนำกระแส ในแต่ละครึ่งคาบเวลา และ จะนำกระแสพร้อมกันในครึ่งคาบเวลา และเมื่อหยุดนำกระแสจะได้ และ นำกระแสพร้อมกันในครึ่งคาบเวลาในที่เหลือ ซึ่งจะทำงานสลับกันอย่างนี้เรื่อยไป โดยได้แรงดันตกคร่อมขดไฟรมารี่มีค่าเท่ากับ  $V_{in}-2V_{ce}$  และแรงดันตกคร่อม Q1 และ Q4ขณะหยุดนำกระแสจะมีค่าเท่ากับ  $V_{in}-V_{ceq2}$  และ  $V_{in}-V_{ceq3}$  ตามลำดับ ส่วนแรงดันที่ตกคร่อม Q2 และ Q3ขณะหยุดนำกระแสมีค่าเท่ากับ  $V_{in}-V_{ceq1}$  และ  $V_{in}-V_{ceq4}$  ตามลำดับ เช่นเดียวกัน ส่วนไดโอดทำหน้าที่เป็นคอมมิวติ่งไดโอด(Comutating Diode) ให้กับวงจรโดย

1. ป้องกันการเกิดแรงดันสไปค์ขณะที่เพาเวอร์มอสเฟตเริ่มหยุดนำกระแส เนื่องจากความเหนี่ยวนำแฝงในหม้อแปลง โคนพลังงานที่สะสมอยู่ในตัวเหนี่ยวนำแฝงนี้จะถูกถ่ายทอดออกไปยังภาคอินพุตด้วยคอมมิวติ่งไดโอด จึงไม่ทำให้เกิดแรงดันสไปค์เมื่อเพาเวอร์มอสเฟตเริ่มหยุดนำกระแส

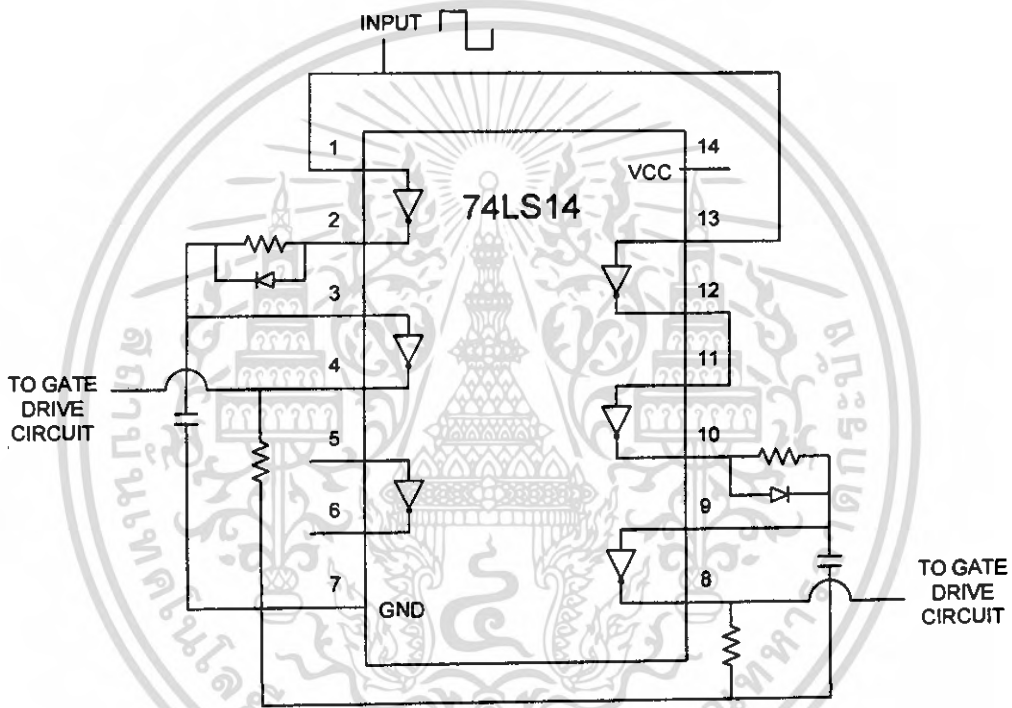
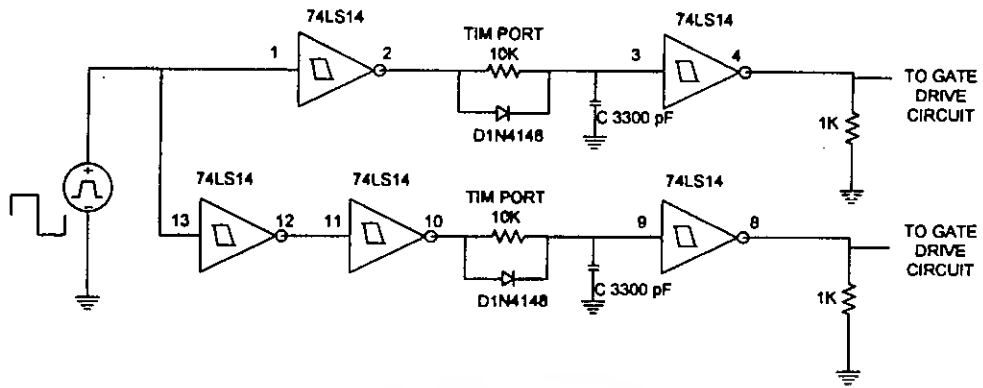
2. ในขณะที่เพาเวอร์มอสเฟต Q1 และ Q4 เริ่มหยุดนำกระแสขดลวดไฟรมารี่ จะมีการกลับขั้วแรงดัน ถ้าไม่มีคอมมิวติ่งไดโอด Q2 และ Q3 จะได้รับแรงดันตกคร่อมที่เตรนเป็นลบ ในขณะที่ Q1 และ Q4 ก็จะมีแรงดันตกคร่อมมากกว่าค่า  $V_{in}$  ในกรณีนี้ ไดโอดจะอยู่ในลักษณะไบแอสตรงจากแรงดันของขดไฟรมารี่และลดค่าแรงดันนี้ลงไปเพื่อป้องกันเพาเวอร์มอสเฟต



รูปที่ 3.4 แสดงวงจรอินเวอร์เตอร์แบบฟูลบริดจ์

### 3.2.2 วงจรขับเคลื่อน

วงจรขับเคลื่อนสำหรับมอสเฟตกำลัง มอสเฟตกำลังเป็นสวิตช์ที่ควบคุมด้วยแรงดัน (Voltage-controlled) ทำให้ง่ายต่อการควบคุมให้เริ่มนำกระแสหรือเริ่มหยุดนำกระแส ซึ่งจะเป็นข้อดีที่เหนือกว่ากรณีของทรานซิสเตอร์กำลัง มอสเฟตกำลังจะนำกระแสก็ต่อเมื่อแรงดันตกคร่อมขาเกตเทียบขาซอส ( $V_{GS}$ ) มีค่าสูงกว่าค่าแรงดันขีดเริ่มเปลี่ยน (threshold voltage) และเมื่อระดับแรงดัน  $V_{GS}$  สูงกว่าแรงดันขีดเริ่มเปลี่ยน จะเป็นผลทำให้มอสเฟตกำลังเข้าสู่การทำงานในโหมดโอห์มมิก (ohmic region) ซึ่งโดยทั่วไป แรงดัน  $V_{GS}$  เพื่อให้สวิตช์เริ่มนำกระแสจะมีค่าอยู่ระหว่าง 10 ถึง 20 โวลต์ และเพื่อให้สวิตช์ไม่นำกระแสสามารถกระทำได้ โดยทำให้แรงดัน  $V_{GS}$  มีค่าต่ำกว่าแรงดันขีดเริ่มเปลี่ยน และในขณะที่สวิตช์นำกระแสและไม่นำกระแส กระแสที่ป้อนเข้าขาเกตจะมีค่าเท่ากับศูนย์ อย่างไรก็ตาม ความเร็วในการสวิตช์ จะสามารถหาได้จาก ความเร็วในการเก็บและคายประจุของค่าตัวเก็บประจุแผ่นด้านขวาของมอสเฟตกำลัง (parasitic input capacitance) ซึ่งตัวเก็บประจุจะต้องทำการสะสมประจุ เพื่อให้สวิตช์นำกระแส และจะต้องทำการคายประจุเพื่อให้สวิตช์ไม่นำกระแส วงจรขับเคลื่อนของมอสเฟตกำลังจะต้องสามารถจ่ายกระแส (sourcing) และดึงกระแส (sinking) ได้อย่างรวดเร็วเพื่อจะให้มอสเฟตกำลังสามารถทำงานได้ที่ความถี่สูง สำหรับวงจรขับเคลื่อนที่ใช้คือชุดไอซี 74LS14 ดังรูปที่ 3.5



รูปที่ 3.5 วงจรไอซี 74LS14

### 3.2.3 เดดไทม์ (Dead Time)

เป็นวงจรที่ใช้สำหรับตั้งค่าเวลาที่ให้มอเตอร์สวิตช์ โดยในทางปฏิบัติ กิ่งใด ๆ ของอินเวอร์เตอร์ สวิตช์ตัวบนและตัวล่างต้องไม่นำกระแสพร้อมกัน ดังนั้นจึงต้องการช่วงเวลา สวิตช์ทั้งคู่หยุดนำกระแสก่อนที่สวิตช์จะเปลี่ยนสถานะ เพื่อป้องกันการลัดวงจรระหว่างบัสบวกกับบัสลบ ช่วงเวลานี้จะเรียกว่า เดดไทม์ ซึ่งเวลาเดดไทม์ดังกล่าวจะต้องมีความเหมาะสม คือ หากที่ค่าน้อยเกินไปอาจทำให้มีโอกาสลัดวงจรได้ง่ายหรือถ้าหากมีค่ามากเกินไปก็อาจจะทำให้ แรงดันไฟฟ้าด้านออกของอินเวอร์เตอร์ผิดเพี้ยนไป

สวิตช์ที่มีความเร็วในการเปลี่ยนสถานะคือมีช่วงเวลาเริ่มนำกระแสและเริ่มหยุดนำกระแสสั้น ๆ (เป็นหลักสิบของนาโนวินาที) เช่นสวิตช์ที่เป็นมอสเฟตจะมีค่าเดดไทม์น้อย ๆ

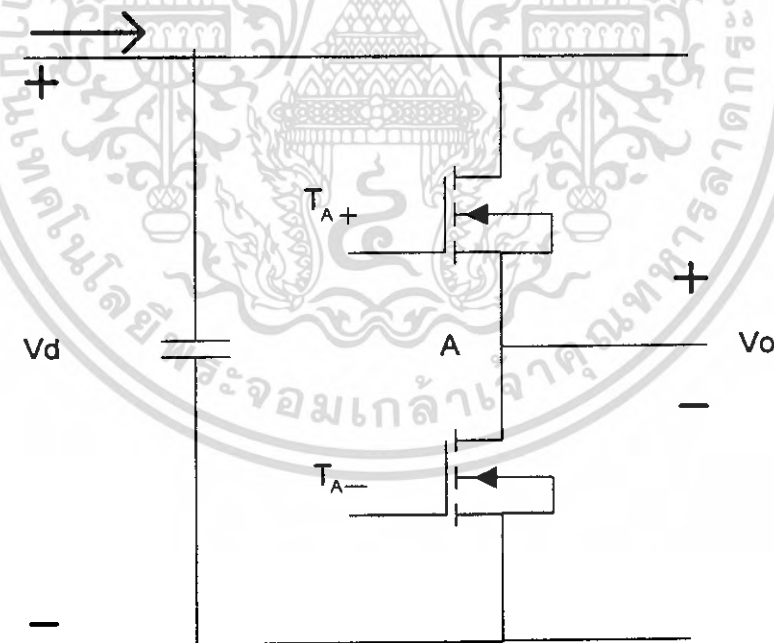
เอกสารนี้เป็นเอกสารที่สงวนไว้สำหรับการใช้งานเพื่อการศึกษาเท่านั้น ไม่อนุญาตให้นำไปใช้ประโยชน์ด้านการค้า ไม่ว่ากรณีใดๆ ทั้งสิ้น อีกทั้งห้ามมิให้ดัดแปลงเนื้อหา และต้องอ้างอิงถึงเจ้าของเอกสารทุกครั้งที่มีการนำไปใช้

เช่น 1-2 ไมโครวินาที ส่วนที่เป็นไซริสเตอร์มักจะต้องการค่าเดดไทม์ที่มากกว่าทั้งนี้เพราะช่วงเวลาเริ่มนำกระแสและเริ่มหยุดนำกระแสที่มากกว่า ดังนั้นเดดไทม์จะขึ้นอยู่กับชนิดของสวิตช์สารกึ่งตัวนำที่เลือกใช้

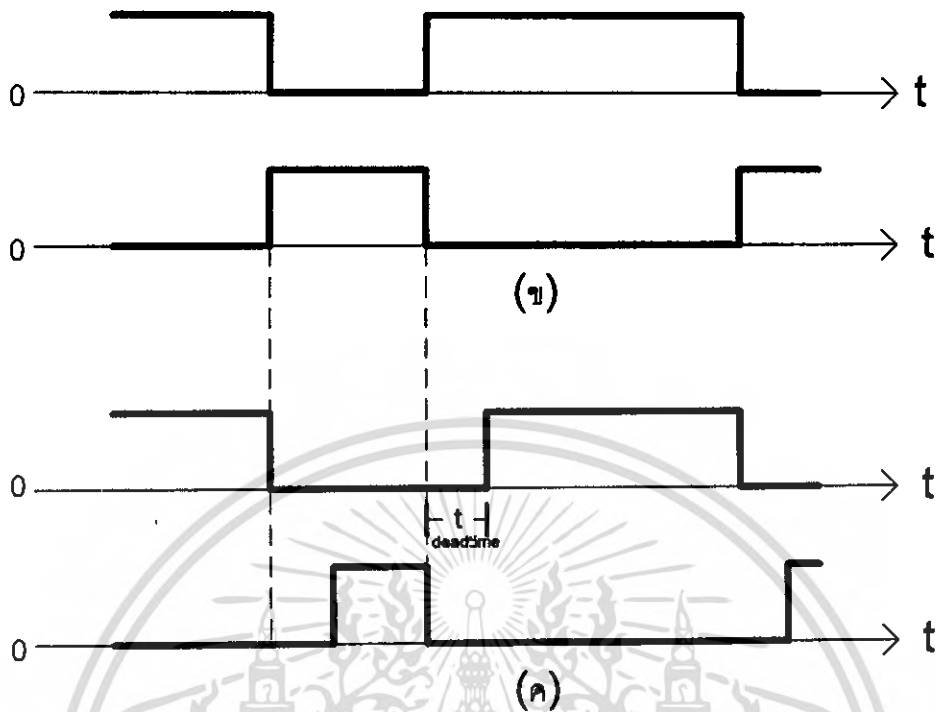
ผลของเดดไทม์ต่อแรงดันไฟฟ้าด้านออกของอินเวอร์เตอร์ ดังที่แสดงอยู่ในรูปที่ 3.6 โดยรูปที่ 3.6(ก) เป็นวงจรฟูลบริดจ์อินเวอร์เตอร์หนึ่งกึ่งและรูปที่ 3.6(ข) เป็นแรงดันควบคุมเกิดในอุดมคติ รูปที่ 3.6(ค) คือแรงดันควบคุมเกิดของสวิตช์ที่ได้ซัดเซยผลของเดดไทม์แล้ว โดยมีหลักการง่าย ๆ คือ ทุก ๆ ขาลงของแรงดันควบคุมเกิดให้คงที่ และทุก ๆ ขาขึ้นให้หน่วงเวลาไปเท่ากับเดดไทม์ เพื่อไม่ให้สวิตช์ในกึ่งเดียวกันทำงานพร้อมกัน แรงดันไฟฟ้าที่เกิดขึ้นในช่วงเดดไทม์จะขึ้นอยู่กับทิศทางของกระแสไหล

ข้อดีของเดดไทม์คือการทำหน้าที่ป้องกันการลัดวงจรระหว่างบัสบวกกับบัสลบ แต่หากมีค่าเดดไทม์มากเกินไป ก็จะมีผลต่อรูปคลื่นสัญญาณทางด้านออก โดยขึ้นอยู่กับทิศทางการไหลของกระแสไหล

จึงสรุปข้อเสียของเดดไทม์คือการเกิดฮาร์โมนิกที่ความถี่รอบข้างความถี่สวิตช์ซึ่งและเกิดความถี่ที่ฮาร์โมนิกลำดับต่ำ ๆ อันจะเป็นผลเสียต่อสมรรถนะของอินเวอร์เตอร์



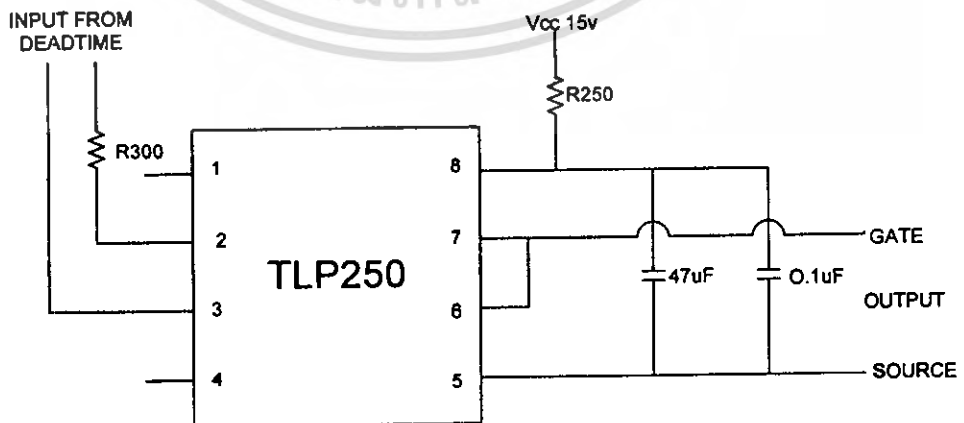
รูปที่ 3.6 (ก) วงจรฟูลบริดจ์อินเวอร์เตอร์หนึ่งกึ่ง



รูปที่ 3.6(ข) แรงดันควบคุมเกิดในอุดมคติ  
รูปที่ 3.6(ค) แรงดันควบคุมเกิดของสวิตช์ที่ได้ชดเชยผลของเดดไทม์

### 3.2.4 วงจร Drive-Isolated

วงจรมีหน้าที่รับสัญญาณพัลส์จากขา 4 และขา 8 ของ 74LS14 แล้วทำการ Isolate หรือแยกกราว์นออกจากกัน จากนั้นจึงสร้างสัญญาณพัลส์เพื่อนำไปใช้ในการควบคุมการทำงานของวงจร Full Bridge Inverter ทั้งนี้เพื่อป้องกันการเกิดการลัดวงจรถึงกันของเพาเวอร์มอสเฟตในวงจร Inverter โดยที่วงจรมีส่วนประกอบดังรูป 3.7



รูปที่ 3.7 วงจรแยกทางแสง

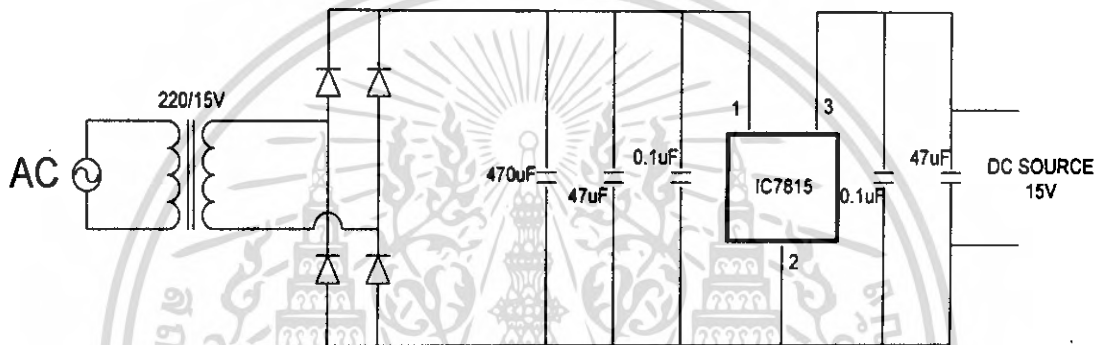
เอกสารนี้เป็นเอกสารที่สงวนไว้สำหรับการใช้งานเพื่อการศึกษาเท่านั้น ไมอนุญาตให้นำไปใช้ประโยชน์ด้านการค้าไม่ว่ากรณีใดๆ ทั้งสิ้น อีกทั้งห้ามมิให้ดัดแปลงเนื้อหา และต้องอ้างอิงถึงเจ้าของเอกสารทุกครั้งที่มีการนำไปใช้

### 3.3 วงจรแหล่งจ่ายไฟกระแสตรง (Voltage Regulator)

วงจรจ่ายไฟ +15  $V_{DC}$

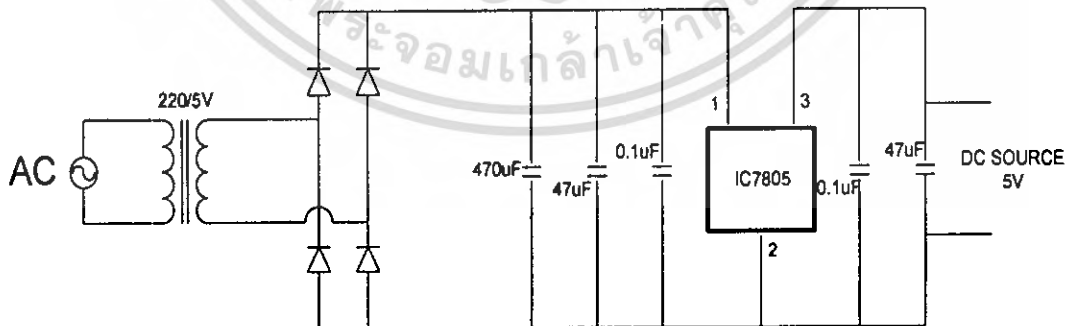
สำหรับโครงการนี้ไฟกระแสตรงที่ใช้ในวงจรควบคุมต่าง ๆ คือ +15 โวลต์ โดยออกแบบให้ใช้วงจรเรกกูเรเตอร์เป็นแหล่งจ่ายไฟเพราะทำงาน

วงจรที่จ่ายแรงดันไฟตรงให้กับวงจร Drive-Isolated ซึ่งใช้ IC Regulator เบอร์ 7815 เพื่อรักษาระดับแรงดันไฟตรงค่าบวกขนาด +15 โวลต์ให้คงที่ วงจรที่ใช้แสดงดังรูป



รูปที่ 3.8 วงจรจ่ายไฟกระแสตรง +15 โวลต์

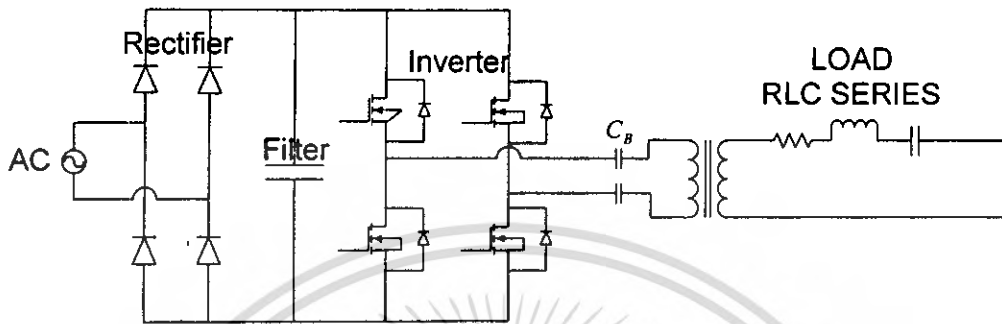
และวงจรที่จ่ายแรงดันไฟตรงให้กับวงจรขั้วเกิด IC 74LS14 (เจดโทม์) IC Regulator เบอร์ 7805 เพื่อรักษาระดับแรงดันไฟตรงค่าบวกขนาด +5 โวลต์ให้คงที่ วงจรที่ใช้แสดงดังรูป



รูปที่ 3.9 วงจรจ่ายไฟกระแสตรง +5 โวลต์

เอกสารนี้เป็นเอกสารที่สงวนไว้สำหรับการใช้งานเพื่อการศึกษาเท่านั้น ไม่อนุญาตให้นำไปใช้ประโยชน์ด้านการค้าไม่ว่ากรณีใดๆ ทั้งสิ้น อีกทั้งห้ามมิให้ดัดแปลงเนื้อหา และต้องอ้างอิงถึงเจ้าของเอกสารทุกครั้งที่มีการนำไปใช้

## บทที่ 4 ผลการทดลอง



รูปที่ 4.1 แสดงวงจรกำลัง

จากรูปที่ 4.1 จะแสดงวงจรกำลังทั้งหมดที่ใช้ในการสร้างเดาหลอมในขั้นแรกคือรับกระแสไฟฟ้าสลับมาจากไฟบ้านและเข้าวงจรบริดจ์เรกติไฟล์เพื่อเปลี่ยนกระแสสลับให้เป็นกระแสตรงแล้วนำกระแสตรงที่ได้มาเข้าอินเวอร์เตอร์เพื่อเปลี่ยนกลับให้เป็นไฟกระแสสลับที่มีความถี่สูงเพื่อนำไปจ่ายให้เบ้าหลอมซึ่งก่อนเข้าเบ้าหลอมจะมีหม้อแปลงเฟอโรไรต์อยู่เพื่อทำการลดระดับแรงดันก่อนเข้าเบ้าหลอม ทำการทดลองแบ่งออกเป็น 2 ลักษณะดังนี้

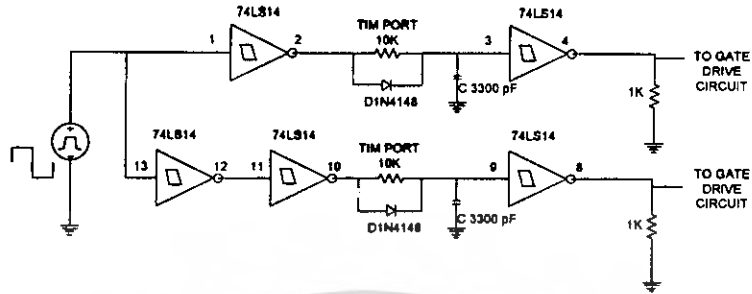
- 1 จะทำการทดลองดูการทำงานของชุดขับและชุดอินเวอร์เตอร์
- 2 จะทำการทดลองหาค่าพิกัดกำลังและประสิทธิภาพของอินเวอร์เตอร์

### 4.1 การทดสอบชุดวงจรสัญญาณขับเกท

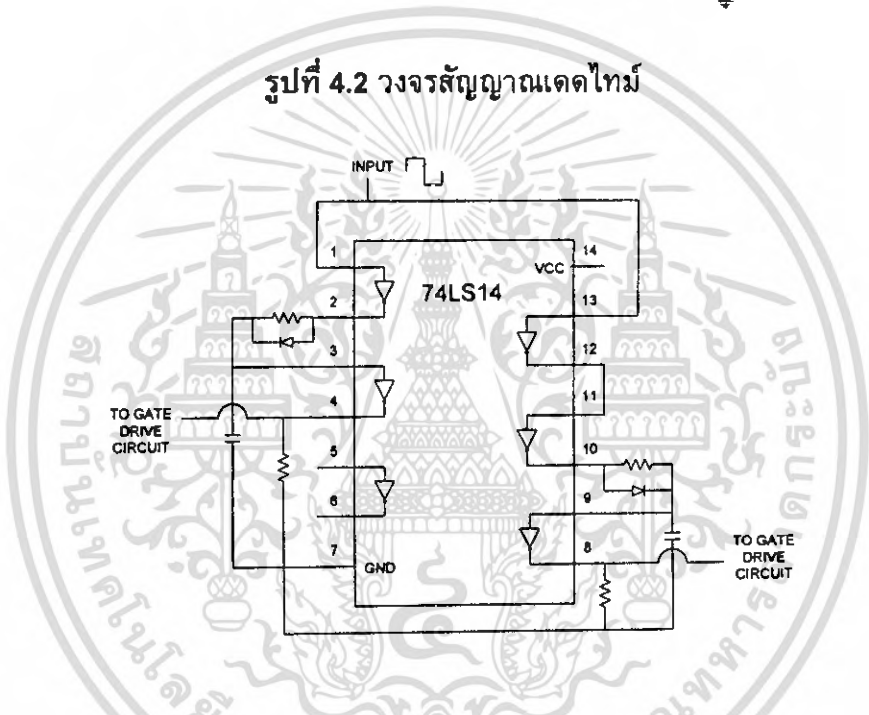
ต้องสร้างวงจรขับเกทขึ้นมาทั้งหมด 4 ชุดโดยจะมี 2 สัญญาณที่มีเฟสตรงกันและอีก 2 ชุดที่มีเฟสตรงข้ามกัน เพื่อนำไปขับเกทของมอสเฟตให้สลับกันทำงานเป็นคู่ ซึ่งวงจรสร้างสัญญาณได้จากไมโครคอนโทรลเลอร์(MCS51)แล้วนำไปผ่านวงจรเจดไทม์ (IC เบอร์ 74LS14)

ขั้นตอนการทดลอง

1. ทำการต่อวงจรดังรูปที่ 4.2 และ 4.3

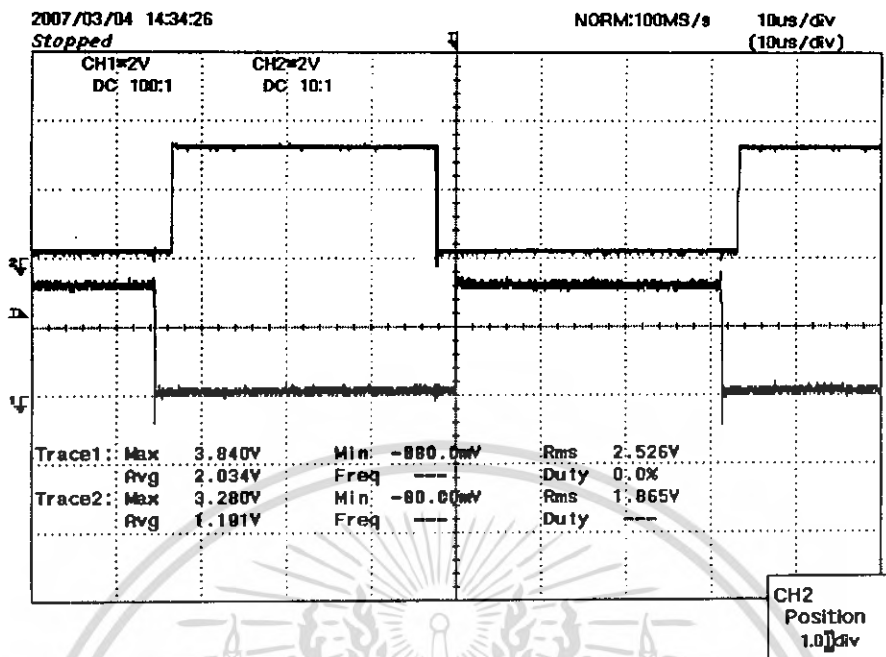


รูปที่ 4.2 วงจรสัญญาณเดดไทม์



รูปที่ 4.3 การต่อวงจรสัญญาณเดดไทม์เข้ากับ IC74LS14

2. ใช้ฮอสซิลอสโคปวัดสัญญาณที่ออกจาก IC74LS14 โดยใช้ 2 สัญญาณ สัญญาณแรกจับที่ขา 4 กับขา 7 ส่วนอีกสัญญาณหนึ่งจับที่ขา 8 กับขา 7
3. บันทึกผลการทดลอง



รูปที่ 4.4 คลื่นสัญญาณที่ได้จากเตดไทม์

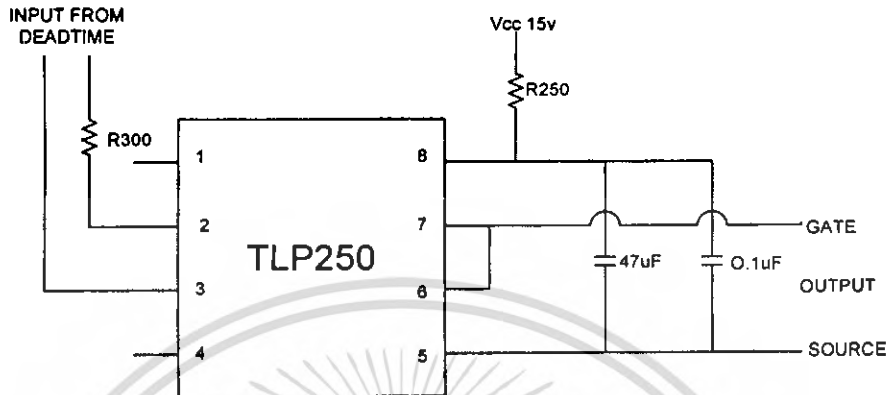
จากการทดลองที่ 4.1 จะได้สัญญาณออกมาสองสัญญาณโดยสัญญาณทั้งสองจะมีการเหลื่อมล้ำกันซึ่งเป็นผลมาจากวงจรเตดไทม์และมีค่าแรงดันประมาณ 4 โวลต์ ดังแสดงในรูปที่ 4.4

#### 4.2 การทดลองชุดแยกทางแสง (Opto Isolation)

โดยวงจรดังกล่าวเป็นวงจรที่ใช้ในการแยกระบบกราวด์จากกันของวงจรควบคุมกับวงจรกำลัง โดยต่อหลังจากชุดขับเกท (IC 74LS14) ที่ได้สัญญาณออกมา 2 ชุด ชุดละ 2 สัญญาณ รวมเป็น 4 สัญญาณป้อนเข้าสู่วงจรแยกทางแสง 4 ชุด ก่อนที่จะต่อเข้าสู่ Full Bridge Inverter ที่ขา Gate กับขา Source ของมอเตอร์โดยไอซีที่ใช้คือ TLP250

## ขั้นตอนการทดลอง

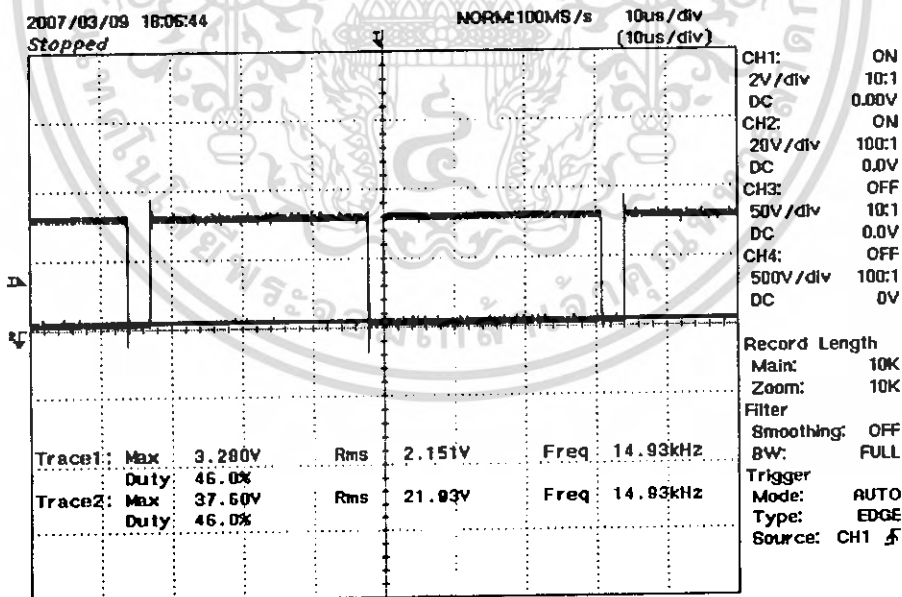
### 1. ทำการต่อวงจรดังรูปที่ 4.5



รูปที่ 4.5 วงจรแยกทางแสง

2. ใช้ออสซิลโลสโคปวัดสัญญาณที่ออกจาก TLP250 โดยจับสัญญาณ 2 ชุดที่มีเฟสตรงข้ามกันที่ขา Gate กับขา Source ของมอสเฟตหรือชุดอินเวอร์เตอร์

3. บันทึกผลการทดลอง



รูปที่ 4.6 สัญญาณที่ได้จากการแยกทางแสง

จากรูปที่ 4.6 เมื่อเราทำการนำสัญญาณที่ได้จากวงจรขั้วเกิดมาผ่านวงจรแยกทางแสง

ผลที่ได้คือจะสามารถป้องกันการลัดถึงกันของมอสเฟตกำลังในอินเวอร์เตอร์

เอกสารนี้เป็นเอกสารที่สงวนไว้สำหรับการใช้งานเพื่อการศึกษาเท่านั้น ไม่นิยมนำไปใช้ประโยชน์ด้านการค้า

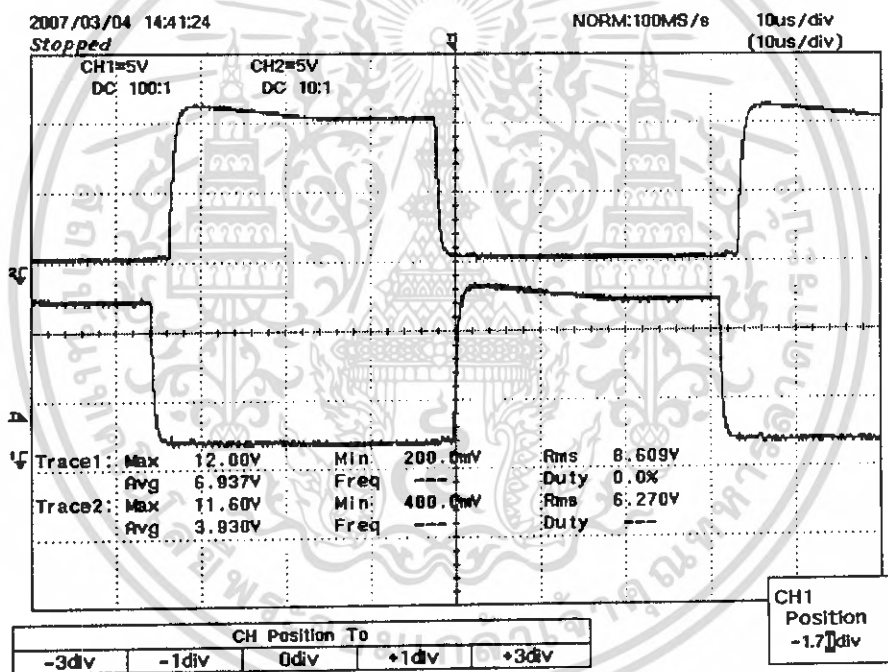
ไม่ว่ากรณีใดๆ ทั้งสิ้น อีกทั้งห้ามมิให้ดัดแปลงเนื้อหา และต้องอ้างอิงถึงเจ้าของเอกสารทุกครั้งที่มีการนำไปใช้

### 4.3 การทดสอบการปรับค่า Duty Ratio

เป็นการปรับค่าเพื่อให้เกิดค่าความเหลื่อมล้ำของสัญญาณ ให้มีช่วงของสวิตช์ขาขึ้นกับขาลง คือให้สวิตช์คู่แรก on และ off ให้หมดก่อน และค่อยให้สวิตช์อีกคู่ on ตาม เพื่อป้องกันการเกิดการลัดวงจร หรือที่เรียกว่าการปรับค่า Deadtime

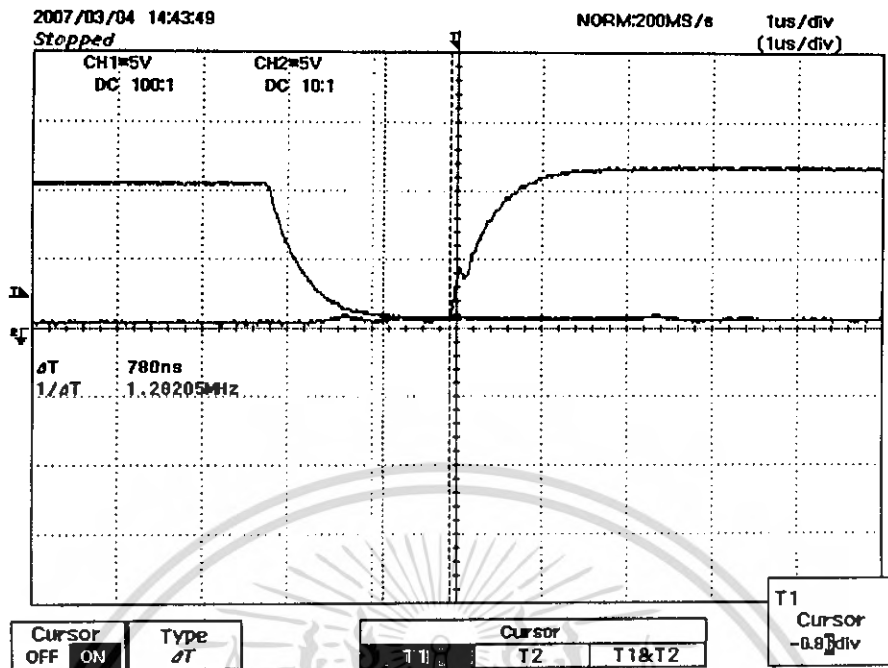
ขั้นตอนการทดลอง

1. ใช้ออสซิลโลสโคปวัดสัญญาณที่ขา Gate กับขา Source ของมอสเฟตหรือชุดอินเวอร์เตอร์ 2 ชุดที่มีเฟสตรงข้ามกัน
2. ทำการปรับค่า Duty Ratio โดยหมุนที่ตัวความต้านทานปรับค่าได้ (Tim Port) ให้ได้ค่าเดดไทม์ที่เหมาะสม
3. บันทึกผลการทดลอง



รูปที่ 4.7 รูปคลื่นสัญญาณที่ได้จากมอสเฟต

เมื่อเรานำสัญญาณที่ได้จากเดดไทม์มาผ่านมอสเฟตจะได้รูปคลื่นสัญญาณออกมาเป็นลักษณะดังรูปที่ 4.7



รูปที่ 4.8 สัญญาณแสดงช่วงเวลาเฉื่อย

จากรูปที่ 4.8 เมื่อเราทำการปรับค่า Duty Ratio ให้อยู่ที่ประมาณ 46% จะได้ช่วงเวลาที่ยุ่สัญญาณทั้งสองไม่ทำงานพร้อมกันเป็นเวลาทั้งหมดประมาณ 800 ns

#### 4.4 การหาความสัมพันธ์ของอุณหภูมิเมื่อเทียบกับเวลา วัตถุประสงค์

1 เพื่อหาความสัมพันธ์ระหว่างอุณหภูมิที่เพิ่มขึ้นโดยเทียบกับเวลา

#### อุปกรณ์ที่ใช้ในการทดลอง

- 1 Variac ปรับค่าได้ 0 ถึง 260 โวลต์
- 2 Oscilloscope
- 3 ตะกั่วขนาด 50 กรัม
- 4 เครื่องวัดอุณหภูมิ (Infrared thermometer)
- 5 นาฬิกาจับเวลา

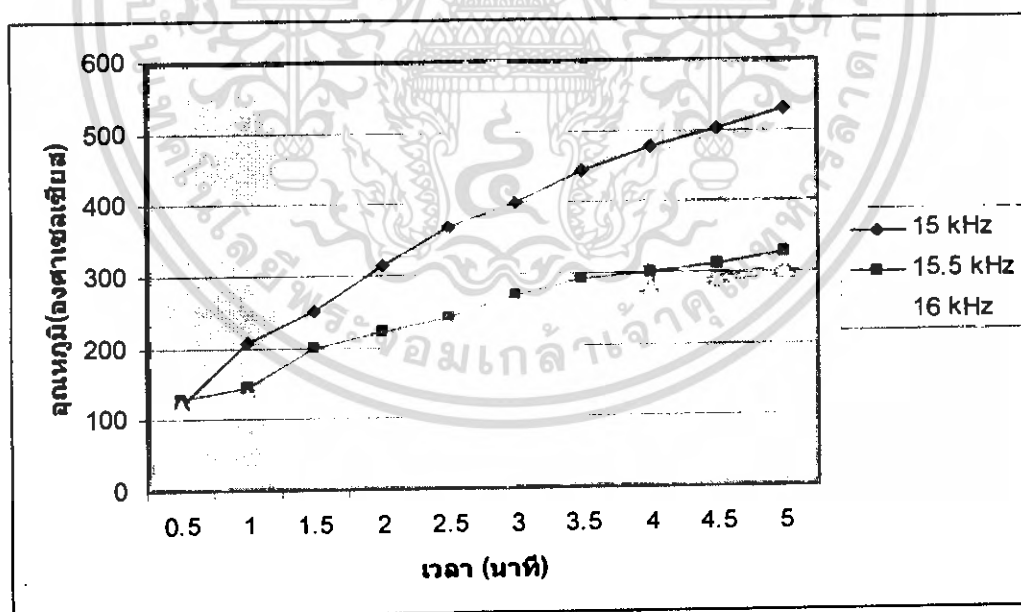
#### ขั้นตอนการทดลอง

- 1 ปรับแรงดันอินพุตของที่ 220 โวลต์ ที่ความถี่ 15 kHz โดยใช้ตะกั่วขนาด 50 กรัม
- 2 บันทึกอุณหภูมิทุกๆ 30 วินาที จนกระทั่งชิ้นงานหลอมได้

ผลการทดลอง

ตารางที่ 4.1 แสดงค่าเวลาและอุณหภูมิในการหลอมตะกั่วขนาด 50 กรัม

เวลา (นาที)	อุณหภูมิ (°C) ที่ความถี่ 14KHz	อุณหภูมิ (°C) ที่ความถี่ 15.5 KHz	อุณหภูมิ (°C) ที่ความถี่ 16 KHz
0.50	120.2	128	121
1.00	206	144	135
1.50	251.5	198	176
2.00	314.3	222	197
2.50	367.4	240	214
3.00	399.7	270	251
3.50	445.5	291	261
4.00	477.7	300	279
4.50	501.3	310	288
5.00	530.2	326	300



รูปที่ 4.9 กราฟแสดงอุณหภูมิเมื่อเปรียบเทียบกับเวลา

เอกสารนี้เป็นเอกสารที่สงวนไว้สำหรับการใช้งานเพื่อการศึกษาเท่านั้น ไม่อนุญาตให้นำไปใช้ประโยชน์ด้านการค้า  
ไม่ว่ากรณีใดๆ ทั้งสิ้น อีกทั้งห้ามมิให้ดัดแปลงเนื้อหา และต้องอ้างอิงถึงเจ้าของเอกสารทุกครั้งที่มีการนำไปใช้

### สรุปผลการทดลอง

จากการทดลองกับขนาดชิ้นงานขนาด 50 กรัม ผลที่ได้จะเห็นได้ว่าการเพิ่มขึ้นของอุณหภูมิในช่วงแต่ละเวลาจะไม่เป็นเชิงเส้นซึ่งอัตราการเพิ่มขึ้นของอุณหภูมิในช่วงแรกจะมีการเพิ่มขึ้นอย่างรวดเร็วเพราะโหลดจะซึมซาบพลังงานความร้อนอย่างรวดเร็วจากสภาวะอุณหภูมิปกติเริ่มต้นของโหลด เมื่อเวลาผ่านไปอุณหภูมิที่เกิดขึ้นกับโหลดจะมีการเปลี่ยนแปลงค่อนข้างน้อยเนื่องจากพลังงานที่จ่ายเข้าไปเริ่มที่จะถึงจุดที่เรียกว่าเป็นจุดที่เกิดสมดุลทางพลังงาน แต่โหลดจะเริ่มหลอมในช่วงเวลาผ่านประมาณ 2 นาที และจะหลอมหมดเมื่อเวลาผ่านไปประมาณ 4 นาที (ที่ความถี่ 15 KHz) ต่อมาทำการเปลี่ยนช่วงความถี่แล้วพิจารณาการเพิ่มขึ้นของอุณหภูมิจะเห็นได้ว่าถ้าค่าความถี่ยิ่งออกห่างจากจุดเรโซแนนซ์ก็จะทำให้อุณหภูมิลดลงไปด้วย

### 4.5 การทดลองหาค่าประสิทธิภาพของอินเวอร์เตอร์

#### วัตถุประสงค์

1 เพื่อหาค่าประสิทธิภาพของอินเวอร์เตอร์ขณะทำงาน

#### อุปกรณ์ที่ใช้ในการทดลอง

1 Variac ปรับค่าได้

2 Oscilloscope

3 ตะกั่วขนาด 50 กรัม

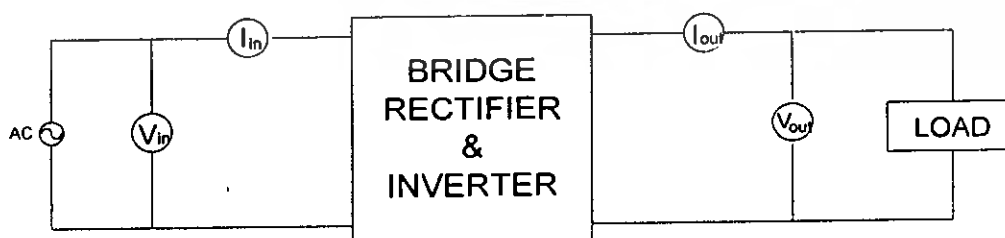
4 นาฬิกาจับเวลา

5 เครื่องวัดอุณหภูมิ

#### ขั้นตอนการทดลอง

1 ปรับแรงดันอินพุตคงที่ 220 โวลต์ที่ความถี่ของอินเวอร์เตอร์ 15 กิโลเฮิร์ต

2 วัดสัญญาณแรงดันและกระแสทางด้านเอาต์พุตและอินพุตดังรูปที่ 4.10

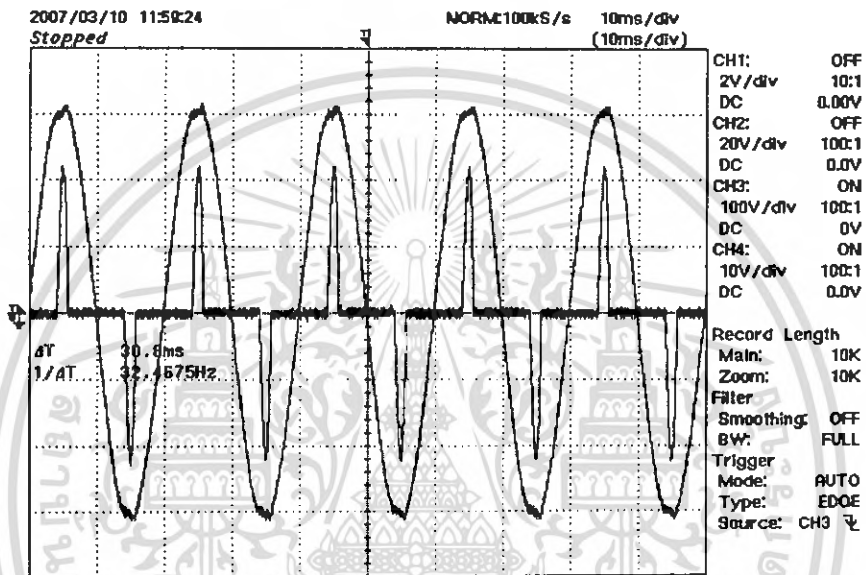


รูปที่ 4.10 แสดงจุดวัดสัญญาณของกระแสและแรงดัน

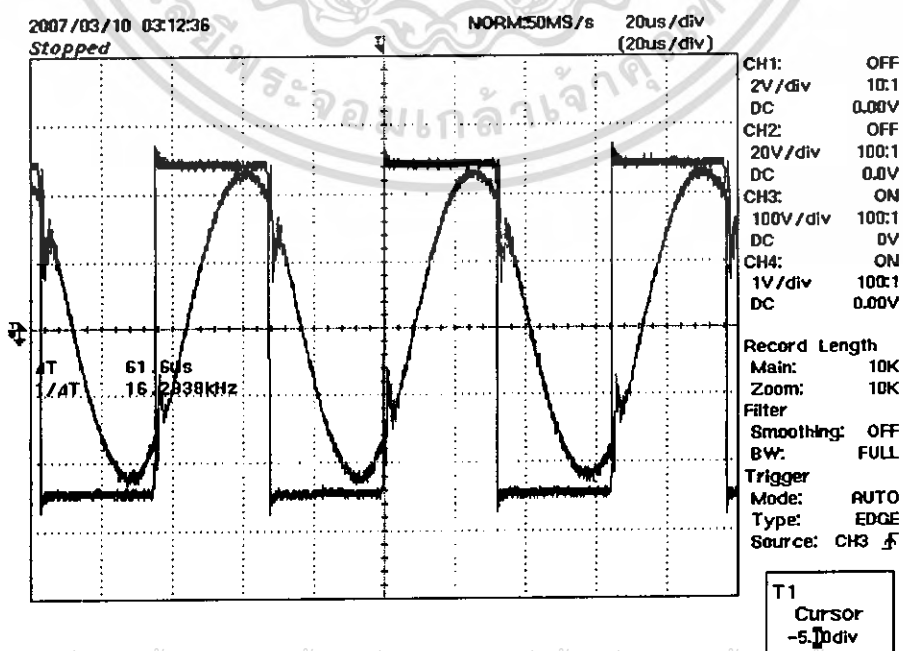
ผลการทดลอง

ตารางที่ 4.2 ตารางแสดงประสิทธิภาพของอินเวอร์เตอร์

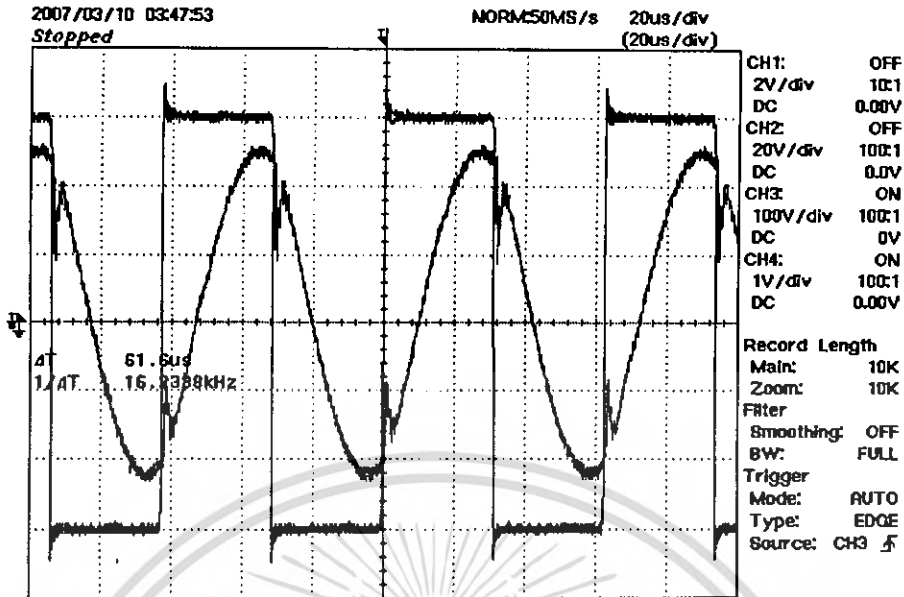
$V_{in}$ (Volt)	$I_{in}$ (Amp)	$P_{in}$ (kW)	$V_{out}$ (Volt)	$I_{out}$ (Amp)	$P_{out}$ (kW)	เวลา (นาท)	ประสิทธิภาพ (%)
220	9	1.26	320	6.5	1.18	5	93.7



รูปที่ 4.11 สัญญาณแรงดันและกระแสอินพุทของอินเวอร์เตอร์ขณะทำงาน



รูปที่ 4.12 สัญญาณแรงดันและกระแสเอาต์พุทของอินเวอร์เตอร์ขณะทำงานที่ 15 kHz



รูปที่ 4.13 สัญญาณแรงดันและกระแสเอาท์พุทของอินเวอร์เตอร์ขณะทำงานที่ 15.5 kHz

จากรูปที่ 4.11 จะเห็นได้ว่ากระแสจะมีฮาร์มอนิกครบถ้วนทำให้รูปคลื่นไม่เป็นสัญญาณรูปไซน์จึงทำให้เวลาหาพิกัดกำลังไฟฟ้าด้านเข้าต้องคิดกำลังไฟฟ้าในแต่ละจุดแล้วนำมาหาค่าเฉลี่ย

จากรูปที่ 4.12 จะเห็นได้ว่าสัญญาณของกระแสและแรงดันที่ได้จะมีลักษณะเป็นคลื่นไซน์และสี่เหลี่ยมตามลำดับเราจึงสามารถคำนวณหาค่าพิกัดกำลังได้ตามสมการ (4.1)

สรุปผลการทดลอง

กำลังไฟฟ้าทางด้านเอาท์พุทสามารถหาได้จาก

$$P = I_{rms} V_{rms} \cos \theta \quad (4.1)$$

ประสิทธิภาพสามารถหาได้จาก

$$\frac{P_{out}}{P_{in}} \times 100 \% \quad (4.2)$$

ผลจากการทดลองจะเห็นได้ว่าค่าพิกัดกำลังที่ได้จากอินเวอร์เตอร์นั้นมีค่าน้อยกว่าค่าพิกัดกำลังด้านขาเข้าทั้งนี้อาจเป็นเพราะอินเวอร์เตอร์นั้นมีการสูญเสียเกิดขึ้นขณะทำงานแต่ค่าประสิทธิภาพที่ได้ก็ยังถือว่าอยู่ในระดับที่ยอมรับได้

เอกสารนี้เป็นเอกสารที่สงวนไว้สำหรับการใช้งานเพื่อการศึกษาเท่านั้น ไม่อนุญาตให้นำไปใช้ประโยชน์ด้านการค้าไม่ว่ากรณีใดๆ ทั้งสิ้น อีกทั้งห้ามมิให้ดัดแปลงเนื้อหา และต้องอ้างอิงถึงเจ้าของเอกสารทุกครั้งที่มีการนำไปใช้

## บทที่ 5

### สรุปผลการวิจัย และข้อเสนอแนะ

#### 5.1 สรุปผลการวิจัย

หลักการของการเหนี่ยวนำเส้นแรงแม่เหล็กที่นำมาใช้ประยุกต์สำหรับเตาหลอม โดยอาศัยการเหนี่ยวนำจะให้ความร้อนแก่เบ้าหลอมอย่างรวดเร็ว

จากโครงการนี้ได้สร้างเตาหลอมที่ทำการออกแบบพิกัดกำลังประมาณ 1 กิโลวัตต์โดยใช้ Power Mosfet เบอร์ IRF460 มาเป็นตัวสวิทช์ของอินเวอร์เตอร์ เตาหลอมสามารถทำความร้อนได้ดีและเร็วที่ความถี่ในการสวิทช์ 15 kHz Duty Ratio 49.8% สำหรับการทดลองเมื่อให้ความร้อนแก่ชิ้นงาน เมื่อชิ้นงานมีความร้อนเพิ่มขึ้นจะทำให้คุณสมบัติทางแม่เหล็กและทางไฟฟ้าเปลี่ยนไปดังนั้นจะส่งผลให้ความถี่เรโซแนนซ์มีการเปลี่ยนแปลงทำให้กำลังที่ได้ ออกมามีกำลังน้อยลง

เมื่อทำการปรับความถี่ให้มีค่าเพิ่มขึ้นพบว่ามุมของกระแสจะมีค่าล้าหลังแรงดันเพิ่มมากขึ้นจึงส่งผลให้ค่าเพาเวอร์แฟคเตอร์มีค่าน้อยลงจึงทำให้พิกัดกำลังที่ได้มีค่าน้อยลงตามไปด้วยซึ่งผลการทดลองดังกล่าวสอดคล้องกับทฤษฎี

#### 5.2 ข้อเสนอแนะ

ในการทำโครงการวิจัยนี้ปัญหาที่พบก็คือ เมื่อให้แรงดันเข้าไปที่เต็มพิกัดทำให้อุปกรณ์ทางด้านทฤษฎีของหม้อแปลงเกิดความร้อนอย่างมากจากการที่ได้ทำการทดลองมาแล้วนั้น เมื่อเกิดความร้อนขึ้นเป็นเวลานานๆและความร้อนสูงมากๆ จะทำให้อนวนทางด้านทฤษฎีของหม้อแปลงเกิดการละลายและเกิดการลัดวงจรเกิดขึ้น แนวทางแก้ไขก็คืออาจจะต้องใช้วัสดุที่สามารถทนความร้อนได้ดีกว่าที่ใช้อยู่

เมื่อชิ้นงานมีความร้อนเพิ่มขึ้นจะทำให้ความถี่เรโซแนนซ์มีการเปลี่ยนแปลง ทำให้กำลังงานที่ได้ออกมามีค่าน้อยลงในส่วนนี้ถ้าต้องการจะให้เตาหลอมสามารถทำงานที่ความถี่เรโซแนนซ์ได้ตลอดอาจจะต้องมีการเพิ่มชุดควบคุมแบบป้อนกลับ เพื่อคอยควบคุมให้วงจรสามารถทำงานที่จุดเรโซแนนซ์ตลอดเวลา

## เอกสารอ้างอิง

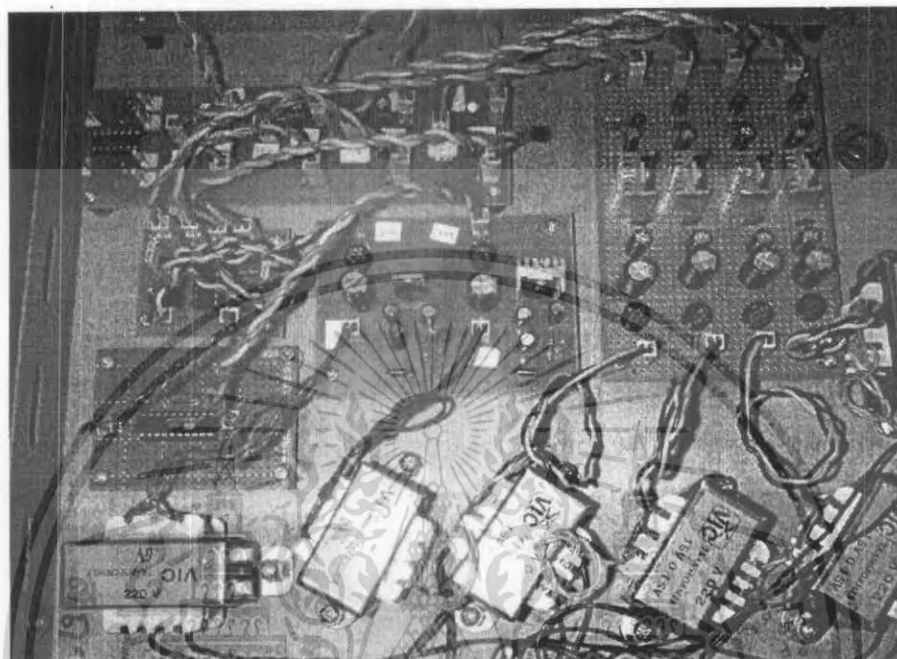
- [1] วีระเชษฐ ชันเงิน, วุฒิพล ธาราธิระเศรษฐ์, อิเล็กทรอนิกส์กำลัง Power Electronics, กรุงเทพฯ วี.เจ.พรินติ้ง, 2547.
- [2] กัมพล ทองเรือง, การใช้งานโปรแกรม PSpice A/D : วิเคราะห์วงจรไฟฟ้าและอิเล็กทรอนิกส์, ปทุมธานี : สกายบุ๊กส์, 2544.
- [3] John Davies, Peter Simpson, Induction heating handbook, London : McGraw-Hill, c1979.
- [4] ไพโรจน์ ทองประศรี, การควบคุมความถี่ของการสวิตช์ที่ภาวะเรโซแนนซ์แบบอัตโนมัติ โดยใช้เฟสล็อกสำหรับเตาหมอมแบบเหนี่ยวนำ, วิทยานิพนธ์ (วศ.ม (ไฟฟ้า))--สถาบันเทคโนโลยีพระจอมเกล้าเจ้าคุณทหารลาดกระบัง, 2549.
- [5] วุฒิชัย บุญสังข์, วุฒิชัย ศรีธรรม, ศักดิ์ชัย เอกเฉลิมชัย, อำนาจ กรุพิมาย, ตู้อบเหนี่ยวนำความถี่สูง induction oven with high frequency, ปริญญาานิพนธ์ (วศ.บ (ไฟฟ้า))--สถาบันเทคโนโลยีพระจอมเกล้าเจ้าคุณทหารลาดกระบัง, 2547.



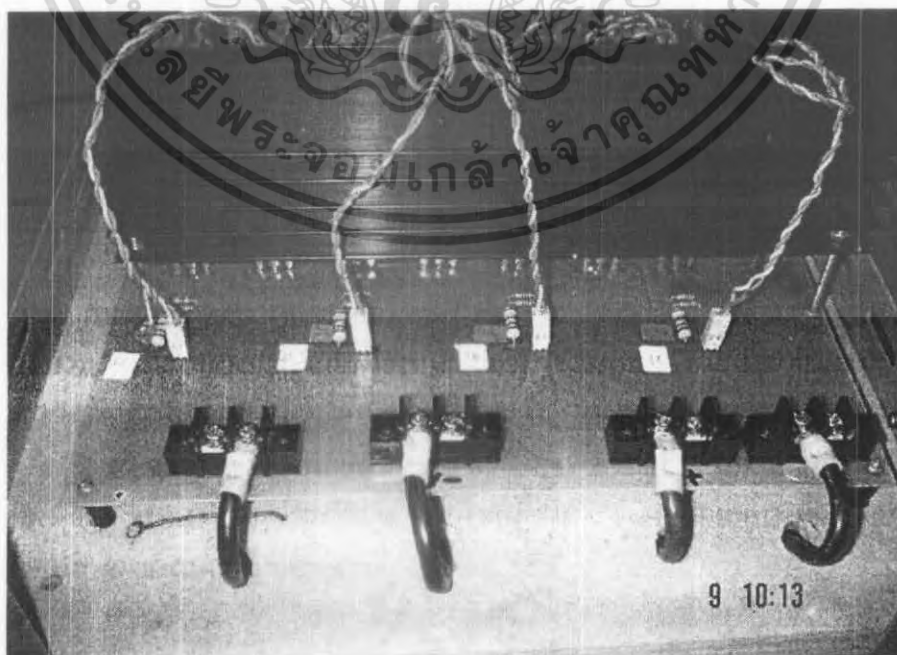
เอกสารนี้เป็นเอกสารที่สงวนไว้สำหรับการใช้งานเพื่อการศึกษาเท่านั้น ไม่อนุญาตให้นำไปใช้ประโยชน์ด้านการค้า  
ไม่ว่ากรณีใดๆ ทั้งสิ้น อีกทั้งห้ามมิให้ดัดแปลงเนื้อหา และต้องอ้างอิงถึงเจ้าของเอกสารทุกครั้งที่มีการนำไปใช้

ภาคผนวก ก

1 แสดงรูปวงจรขับเคลื่อน

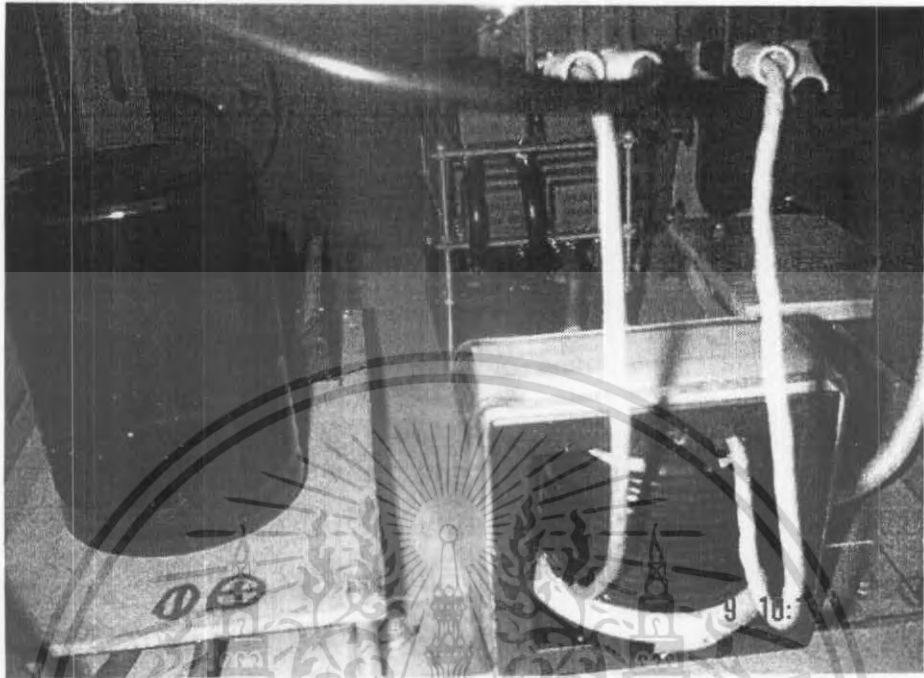


2 แสดงรูปอินเวอร์เตอร์



เอกสารนี้เป็นเอกสารที่สงวนไว้สำหรับการใช้งานเพื่อการศึกษาเท่านั้น ไม่อนุญาตให้นำไปใช้ประโยชน์ด้านการค้า  
ไม่ว่ากรณีใดๆ ทั้งสิ้น อีกทั้งห้ามมิให้ดัดแปลงเนื้อหา และต้องอ้างอิงถึงเจ้าของเอกสารทุกครั้งที่มีการนำไปใช้

3 แสดงรูปหม้อแปลงแกนเฟอร์ไรต์และตัวเก็บประจุ

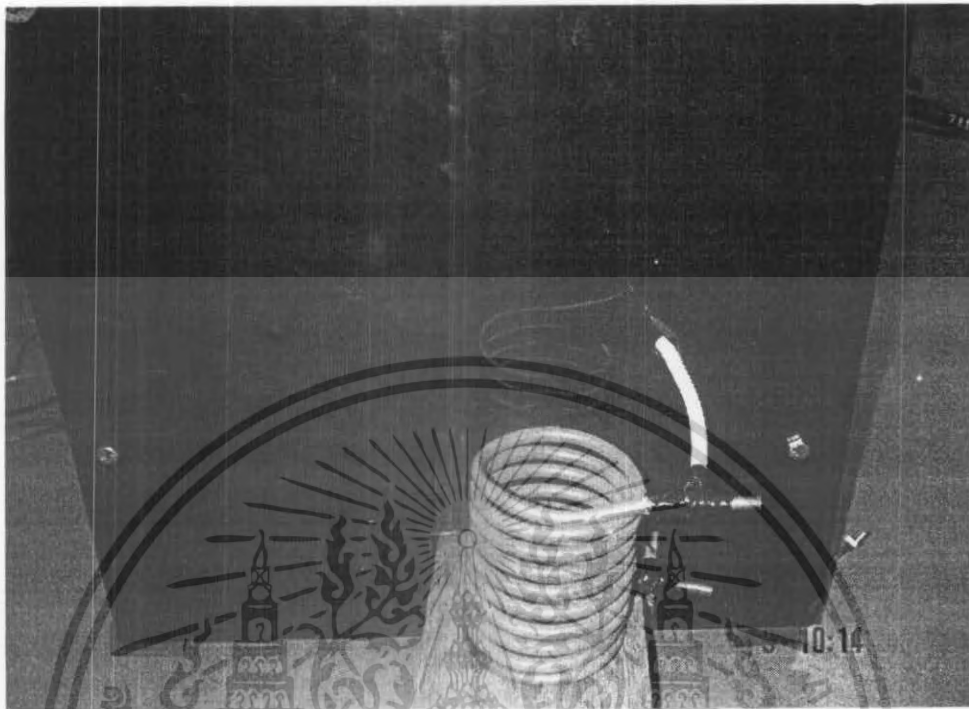


4 แสดงอุปกรณ์เบรตจรีเรคตีไฟเออร์และตัวเก็บประจุทางด้านเซคคันดารี



เอกสารนี้เป็นเอกสารที่สงวนไว้สำหรับการใช้งานเพื่อการศึกษาเท่านั้น ไม่อนุญาตให้นำไปใช้ประโยชน์ด้านการค้า  
ไม่ว่ากรณีใดๆ ทั้งสิ้น อีกทั้งห้ามมิให้ดัดแปลงเนื้อหา และต้องอ้างอิงถึงเจ้าของเอกสารทุกครั้งที่มีการนำไปใช้

## 5 แสดงขดลวดทางด้านเซคคันดารี



เอกสารนี้เป็นเอกสารที่สงวนไว้สำหรับการใช้งานเพื่อการศึกษาเท่านั้น ไม่อนุญาตให้นำไปใช้ประโยชน์ด้านการค้า  
ไม่ว่ากรณีใดๆ ทั้งสิ้น อีกทั้งห้ามมิให้ดัดแปลงเนื้อหา และต้องอ้างอิงถึงเจ้าของเอกสารทุกครั้งที่มีการนำไปใช้

TOSHIBA Photocoupler GaAIAs Ired & Photo-IC

# TLP250

Transistor Inverter  
 Inverter For Air Conditionor  
 IGBT Gate Drive  
 Power MOS FET Gate Drive

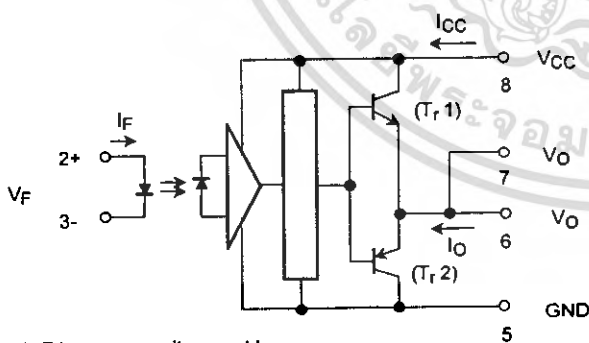
The TOSHIBA TLP250 consists of a GaAIAs light emitting diode and a integrated photodetector.  
 This unit is 8-lead DIP package.  
 TLP250 is suitable for gate driving circuit of IGBT or power MOS FET.

- Input threshold current:  $I_F=5\text{mA}(\text{max.})$
- Supply current ( $I_{CC}$ ):  $11\text{mA}(\text{max.})$
- Supply voltage ( $V_{CC}$ ): 10-35V
- Output current ( $I_O$ ):  $\pm 1.5\text{A}(\text{max.})$
- Switching time ( $t_{pLH}/t_{pHL}$ ):  $1.5\mu\text{s}(\text{max.})$
- Isolation voltage:  $2500\text{V}_{\text{rms}}(\text{min.})$
- UL recognized: UL1577, file No.E67349
- Option (D4) type  
 VDE approved: DIN VDE0884/06.92,certificate No.76823  
 Maximum operating insulation voltage: 630V<sub>PK</sub>  
 Highest permissible over voltage: 4000V<sub>PK</sub>

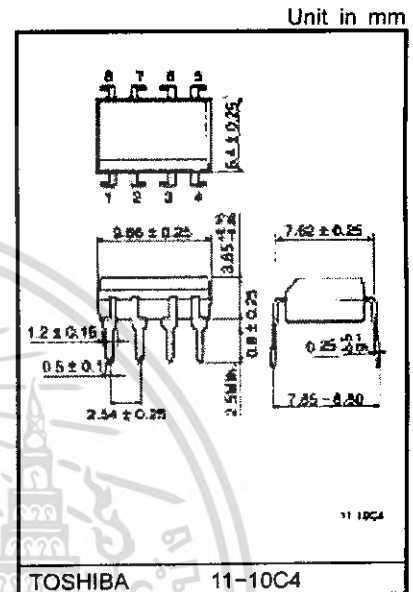
(Note) When a VDE0884 approved type is needed, please designate the "option (D4)"

- Creepage distance: 6.4mm(min.)  
 Clearance: 6.4mm(min.)

**Schmatic**

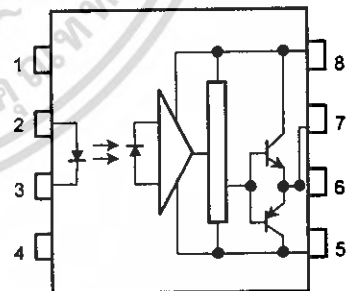


A 0.1μF bypass capacitor must be connected between pin 8 and 5 (See Note 5).



Weight: 0.54 g

**Pin Configuration (top view)**



- 1 : N.C.
- 2 : Anode
- 3 : Cathode
- 4 : N.C.
- 5 : GND
- 6 :  $V_O$  (Output)
- 7 :  $V_O$
- 8 :  $V_{CC}$

**Truth Table**

		Tr1	Tr2
Input LED	On	On	Off
	Off	Off	On

## Absolute Maximum Ratings (Ta = 25°C)

Characteristic		Symbol	Rating	Unit	
LED	Forward current	$I_F$	20	mA	
	Forward current derating (Ta ≥ 70°C)	$\Delta I_F / \Delta T_a$	-0.36	mA / °C	
	Peak transient forward current (Note 1)	$I_{FPT}$	1	A	
	Reverse voltage	$V_R$	5	V	
	Junction temperature	$T_j$	125	°C	
Detector	"H" peak output current ( $P_W \leq 2.5\mu s, f \leq 15\text{kHz}$ ) (Note 2)	$I_{OPH}$	-1.5	A	
	"L" peak output current ( $P_W \leq 2.5\mu s, f \leq 15\text{kHz}$ ) (Note 2)	$I_{OPL}$	+1.5	A	
	Output voltage	(Ta ≤ 70°C)	$V_O$	35	V
		(Ta = 85°C)		24	
	Supply voltage	(Ta ≤ 70°C)	$V_{CC}$	35	V
		(Ta = 85°C)		24	
	Output voltage derating (Ta ≥ 70°C)	$\Delta V_O / \Delta T_a$	-0.73	V / °C	
	Supply voltage derating (Ta ≥ 70°C)	$\Delta V_{CC} / \Delta T_a$	-0.73	V / °C	
Junction temperature	$T_j$	125	°C		
Operating frequency (Note 3)	$f$	25	kHz		
Operating temperature range	$T_{opr}$	-20~85	°C		
Storage temperature range	$T_{stg}$	-55~125	°C		
Lead soldering temperature (10 s) (Note 4)	$T_{sol}$	260	°C		
Isolation voltage (AC, 1 min., R.H. ≤ 60%) (Note 5)	$BV_S$	2500	Vrms		

Note 1: Pulse width  $P_W \leq 1\mu s$ , 300pps

Note 2: Exponential waveform

Note 3: Exponential waveform,  $I_{OPH} \leq -1.0A (\leq 2.5\mu s)$ ,  $I_{OPL} \leq +1.0A (\leq 2.5\mu s)$

Note 4: It is 2 mm or more from a lead root.

Note 5: Device considered a two terminal device: Pins 1, 2, 3 and 4 shorted together, and pins 5, 6, 7 and 8 shorted together.

Note 6: A ceramic capacitor(0.1μF) should be connected from pin 8 to pin 5 to stabilize the operation of the high gain linear amplifier. Failure to provide the bypassing may impair the switching property. The total lead length between capacitor and coupler should not exceed 1cm.

## Recommended Operating Conditions

Characteristic	Symbol	Min.	Typ.	Max.	Unit
Input current, on (Note 7)	$I_{F(ON)}$	7	8	10	mA
Input voltage, off	$V_{F(OFF)}$	0	—	0.8	V
Supply voltage	$V_{CC}$	15	—	30   20	V
Peak output current	$I_{OPH}/I_{OPL}$	—	—	±0.5	A
Operating temperature	$T_{opr}$	-20	25	70   85	°C

Note 7: Input signal rise time (fall time) < 0.5 μs.

## Electrical Characteristics (Ta = -20~70°C, unless otherwise specified)

Characteristic		Symbol	Test Circuit	Test Condition	Min.	Typ.*	Max.	Unit
Input forward voltage		V <sub>F</sub>	—	I <sub>F</sub> = 10 mA, Ta = 25°C		1.6	1.8	V
Temperature coefficient of forward voltage		ΔV <sub>F</sub> / ΔTa	—	I <sub>F</sub> = 10 mA	—	-2.0	—	mV / °C
Input reverse current		I <sub>R</sub>	—	V <sub>R</sub> = 5V, Ta = 25°C		—	10	μA
Input capacitance		C <sub>T</sub>	—	V = 0, f = 1MHz, Ta = 25°C	—	45	250	pF
Output current	"H" level	I <sub>OPH</sub>	3	V <sub>CC</sub> = 30V (*1) I <sub>F</sub> = 10 mA V <sub>B-6</sub> = 4V	-0.5	-1.5	—	A
	"L" level	I <sub>OPL</sub>	2		I <sub>F</sub> = 0 V <sub>B-5</sub> = 2.5V	0.5	2	
Output voltage	"H" level	V <sub>OH</sub>	4	V <sub>CC1</sub> = +15V, V <sub>EE1</sub> = -15V R <sub>L</sub> = 200Ω, I <sub>F</sub> = 5mA	11	12.8	—	V
	"L" level	V <sub>OL</sub>	5	V <sub>CC1</sub> = +15V, V <sub>EE1</sub> = -15V R <sub>L</sub> = 200Ω, V <sub>F</sub> = 0.8V	—	-14.2	-12.5	
Supply current	"H" level	I <sub>CCH</sub>	—	V <sub>CC</sub> = 30V, I <sub>F</sub> = 10mA Ta = 25°C	—	7	—	mA
				V <sub>CC</sub> = 30V, I <sub>F</sub> = 10mA	—	—	11	
	"L" level	I <sub>CCL</sub>	—	V <sub>CC</sub> = 30V, I <sub>F</sub> = 0mA Ta = 25°C	—	7.5	—	
				V <sub>CC</sub> = 30V, I <sub>F</sub> = 0mA	—	—	11	
Threshold input current	"Output L→H"	I <sub>FLH</sub>	—	V <sub>CC1</sub> = +15V, V <sub>EE1</sub> = -15V R <sub>L</sub> = 200Ω, V <sub>O</sub> > 0V	—	1.2	5	mA
Threshold input voltage	"Output H→L"	I <sub>FHL</sub>	—	V <sub>CC1</sub> = +15V, V <sub>EE1</sub> = -15V R <sub>L</sub> = 200Ω, V <sub>O</sub> < 0V	0.8	—	—	V
Supply voltage		V <sub>CC</sub>	—		10	—	35	V
Capacitance (input-output)		C <sub>S</sub>	—	V <sub>S</sub> = 0, f = 1MHz Ta = 25°C	—	1.0	2.0	pF
Resistance(input-output)		R <sub>S</sub>	—	V <sub>S</sub> = 500V, Ta = 25°C R.H. ≤ 60%	1×10 <sup>12</sup>	10 <sup>14</sup>	—	Ω

\* All typical values are at Ta = 25°C (\*1): Duration of I<sub>O</sub> time ≤ 50μs

## Switching Characteristics (Ta = -20~70°C , unless otherwise specified)

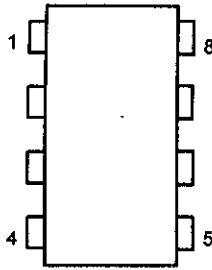
Characteristic	Symbol	Test Circuit	Test Condition	Min.	Typ.*	Max.	Unit
Propagation delay time	L→H	6	$I_F = 8\text{mA}$ (Note 7) $V_{CC1} = +15\text{V}$ , $V_{EE1} = -15\text{V}$ $R_L = 200\Omega$	—	0.15	0.5	μs
	H→L			—	0.15	0.5	
Output rise time	$t_r$	—		—	—		
Output fall time	$t_f$	—		—	—		
Common mode transient immunity at high level output	C <sub>MH</sub>	7	$V_{CM} = 600\text{V}$ , $I_F = 8\text{mA}$ $V_{CC} = 30\text{V}$ , $T_a = 25^\circ\text{C}$	-5000	—	—	V / μs
Common mode transient immunity at low level output	C <sub>ML</sub>	7	$V_{CM} = 600\text{V}$ , $I_F = 0\text{mA}$ $V_{CC} = 30\text{V}$ , $T_a = 25^\circ\text{C}$	5000	—	—	V / μs

\* All typical values are at Ta = 25°C

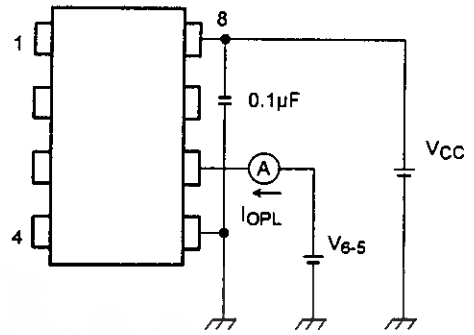
Note 7: Input signal rise time (fall time) < 0.5 μs.



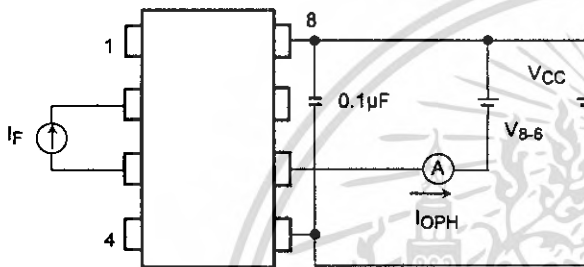
Test Circuit 1 :



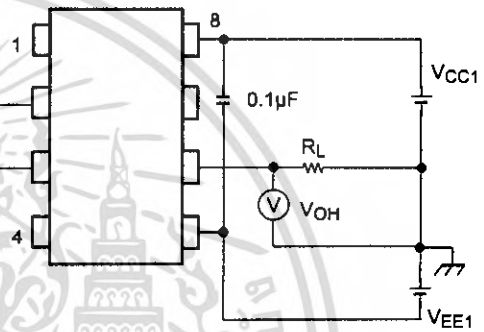
Test Circuit 2 : IOPL



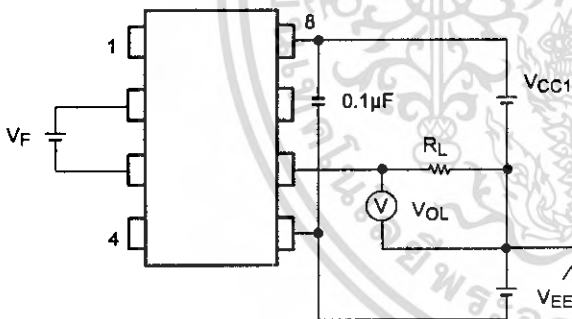
Test Circuit 3 : IOPH



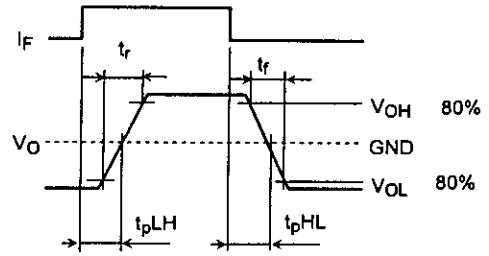
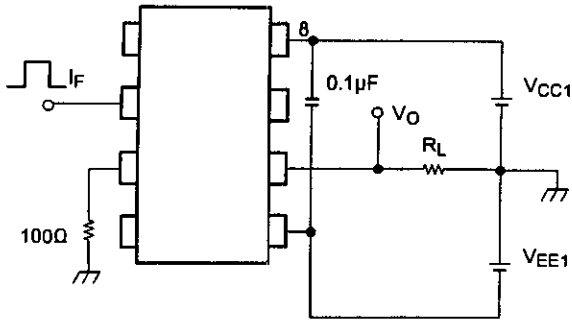
Test Circuit 4 : VOH



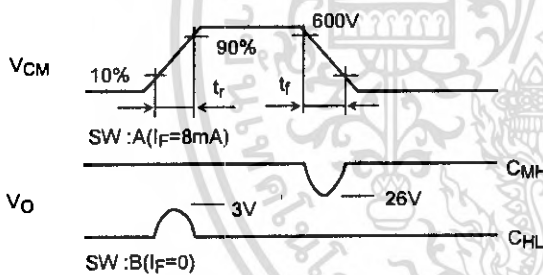
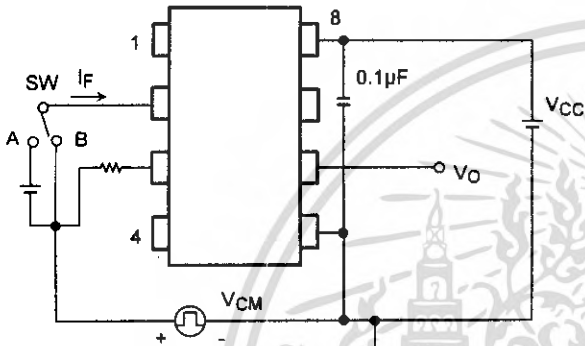
Test Circuit 5 : VOL



Test Circuit 6:  $t_{pLH}$ ,  $t_{pHL}$ ,  $t_r$ ,  $t_f$



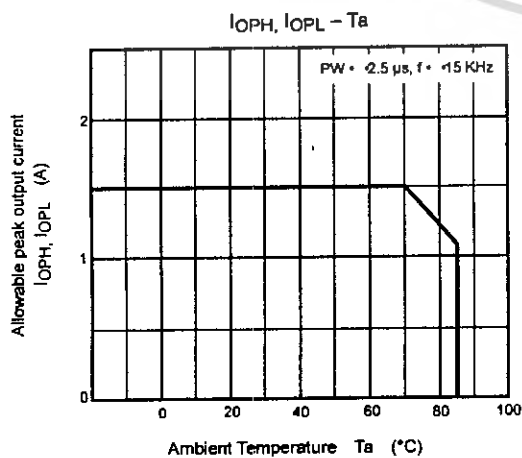
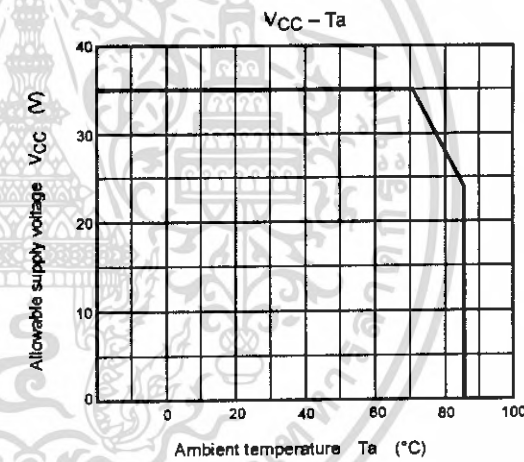
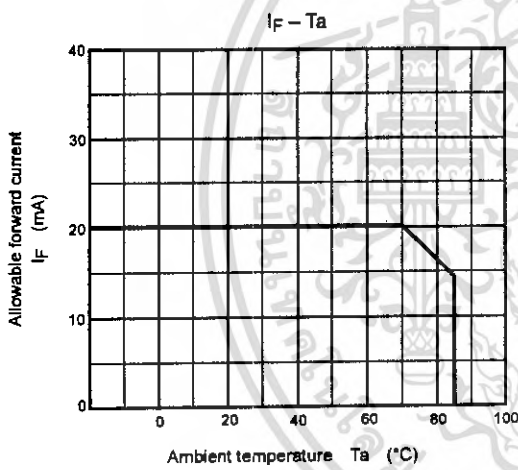
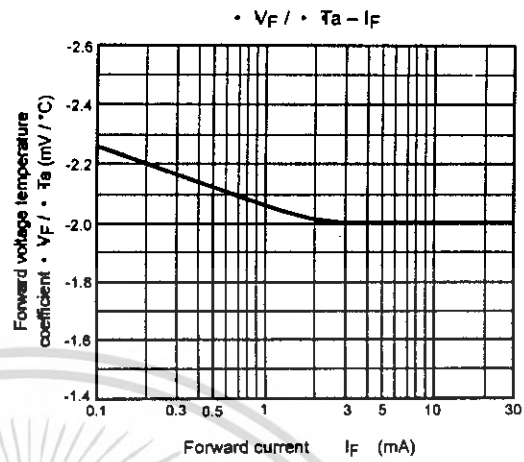
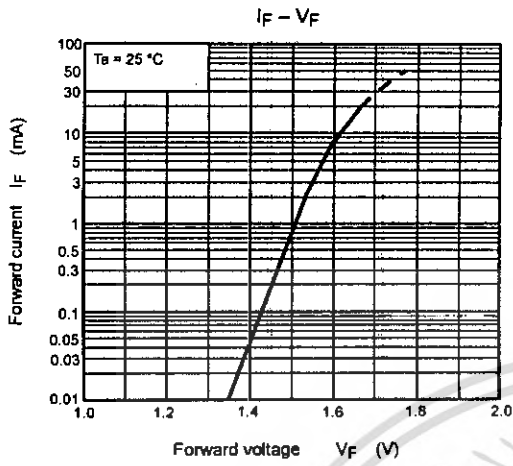
Test Circuit 7:  $C_{MH}$ ,  $C_{ML}$



$$C_{ML} = \frac{480 \text{ (V)}}{t_r \text{ (\mu s)}}$$

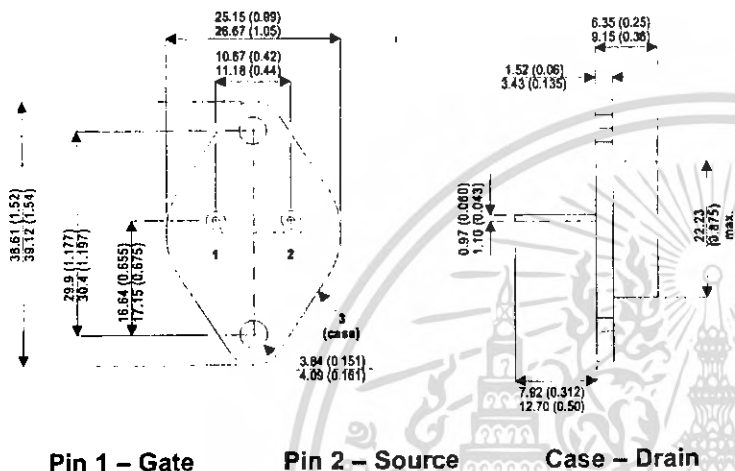
$$C_{MH} = \frac{480 \text{ (V)}}{t_f \text{ (\mu s)}}$$

$C_{ML}(C_{MH})$  is the maximum rate of rise (fall) of the common mode voltage that can be sustained with the output voltage in the low (high) state.



## RESTRICTIONS ON PRODUCT USE

- The information contained herein is subject to change without notice.
- The information contained herein is presented only as a guide for the applications of our products. No responsibility is assumed by TOSHIBA for any infringements of patents or other rights of the third parties which may result from its use. No license is granted by implication or otherwise under any patent or patent rights of TOSHIBA or others.
- TOSHIBA is continually working to improve the quality and reliability of its products. Nevertheless, semiconductor devices in general can malfunction or fail due to their inherent electrical sensitivity and vulnerability to physical stress. It is the responsibility of the buyer, when utilizing TOSHIBA products, to comply with the standards of safety in making a safe design for the entire system, and to avoid situations in which a malfunction or failure of such TOSHIBA products could cause loss of human life, bodily injury or damage to property.  
In developing your designs, please ensure that TOSHIBA products are used within specified operating ranges as set forth in the most recent TOSHIBA products specifications. Also, please keep in mind the precautions and conditions set forth in the "Handling Guide for Semiconductor Devices," or "TOSHIBA Semiconductor Reliability Handbook" etc..
- The TOSHIBA products listed in this document are intended for usage in general electronics applications (computer, personal equipment, office equipment, measuring equipment, industrial robotics, domestic appliances, etc.). These TOSHIBA products are neither intended nor warranted for usage in equipment that requires extraordinarily high quality and/or reliability or a malfunction or failure of which may cause loss of human life or bodily injury ("Unintended Usage"). Unintended Usage include atomic energy control instruments, airplane or spaceship instruments, transportation instruments, traffic signal instruments, combustion control instruments, medical instruments, all types of safety devices, etc.. Unintended Usage of TOSHIBA products listed in this document shall be made at the customer's own risk.
- The products described in this document are subject to the foreign exchange and foreign trade laws.
- TOSHIBA products should not be embedded to the downstream products which are prohibited to be produced and sold, under any law and regulations.
- GaAs(Gallium Arsenide) is used in this product. The dust or vapor is harmful to the human body. Do not break, cut, crush or dissolve chemically.

**TO-3 (TO-204AA) Package Outline.**  
 Dimensions in mm (inches)

**N-CHANNEL  
 ENHANCEMENT MODE  
 HIGH VOLTAGE  
 POWER MOSFETS**
 **$V_{DSS}$  500V**  
 **$I_{D(cont)}$  21A**  
 **$R_{DS(on)}$  0.27 $\Omega$** 
**Pin 1 – Gate      Pin 2 – Source      Case – Drain**
**ABSOLUTE MAXIMUM RATINGS** ( $T_{case} = 25^{\circ}C$  unless otherwise stated)

$V_{DSS}$	Drain – Source Voltage	500	V
$I_D$	Continuous Drain Current	21	A
$I_{DM}$	Pulsed Drain Current <sup>1</sup>	84	A
$V_{GS}$	Gate – Source Voltage	$\pm 20$	V
$P_D$	Total Power Dissipation @ $T_{case} = 25^{\circ}C$	300	W
	Derate Linearly	2.4	W/ $^{\circ}C$
$T_J, T_{STG}$	Operating and Storage Junction Temperature Range	-55 to 150	$^{\circ}C$
$T_L$	Lead Temperature : 0.063" from Case for 10 Sec.	300	

**STATIC ELECTRICAL RATINGS** ( $T_{case} = 25^{\circ}C$  unless otherwise stated)

	Characteristic	Test Conditions	Min.	Typ.	Max.	Unit
$BV_{DSS}$	Drain – Source Breakdown Voltage	$V_{GS} = 0V, I_D = 1mA$	500			V
$I_{DSS}$	Zero Gate Voltage Drain Current ( $V_{GS} = 0V$ )	$V_{DS} = V_{DSS}$ $V_{DS} = 0.8V_{DSS}, T_C = 125^{\circ}C$			25 250	$\mu A$
$I_{GSS}$	Gate – Source Leakage Current	$V_{GS} = \pm 20V, V_{DS} = 0V$			$\pm 100$	nA
$V_{GS(TH)}$	Gate Threshold Voltage	$V_{DS} = V_{GS}, I_D = 250\mu A$	2		4	V
$I_{D(ON)}$	On State Drain Current <sup>2</sup>	$V_{DS} > I_{D(ON)} \times R_{DS(ON)}$ Max $V_{GS} = 10V$	21			A
$R_{DS(ON)}$	Drain – Source On State Resistance <sup>2</sup>	$V_{GS} = 10V, I_D = 13A$ $V_{GS} = 10V, I_D = 21A$			0.27 0.31	$\Omega$

1) Repetitive Rating: Pulse Width limited by maximum junction temperature.

 2) Pulse Test: Pulse Width < 380 $\mu S$ , Duty Cycle < 2%



## DYNAMIC CHARACTERISTICS

	Characteristic	Test Conditions	Min.	Typ.	Max.	Unit
$C_{iss}$	Input Capacitance	$V_{GS} = 0V$		2890		
$C_{oss}$	Output Capacitance	$V_{DS} = 25V$		590		pF
$C_{rss}$	Reverse Transfer Capacitance	$f = 1MHz$		230		
$Q_g$	Total Gate Charge <sup>3</sup>	$V_{GS} = 10V$		140	190	
$Q_{gs}$	Gate – Source Charge	$V_{DD} = 0.5 V_{DSS}$		18	27	nC
$Q_{gd}$	Gate – Drain (“Miller”) Charge	$I_D = I_D [Cont.] @ 25^\circ C$		75	135	
$t_{d(on)}$	Turn-on Delay Time	$V_{GS} = 15V$		19	35	
$t_r$	Rise Time	$V_{DD} = 0.5 V_{DSS}$		43	120	ns
$t_{d(off)}$	Turn-off Delay Time	$I_D = I_D [Cont.] @ 25^\circ C$		85	130	
$t_f$	Fall Time	$R_G = 1.8\Omega$		56	98	

## SOURCE – DRAIN DIODE RATINGS AND CHARACTERISTICS

	Characteristic	Test Conditions	Min.	Typ.	Max.	Unit
$I_S$	Continuous Source Current	(Body Diode)			21	A
$I_{SM}$	Pulsed Source Current <sup>1</sup>	(Body Diode)			84	
$V_{SD}$	Diode Forward Voltage <sup>2</sup>	$V_{GS} = 0V, I_S = -I_D [Cont.]$			1.8	V
$t_{rr}$	Reverse Recovery Time	$I_S = -I_D [Cont.], di_S / dt = 100A/\mu s$			580	ns
$Q_{rr}$	Reverse Recovery Charge	$I_S = -I_D [Cont.], di_S / dt = 100A/\mu s$			8.1	$\mu C$

## THERMAL CHARACTERISTICS

	Characteristic	Min.	Typ.	Max.	Unit
$R_{\theta JC}$	Junction to Case			0.42	$^\circ C/W$
$R_{\theta JA}$	Junction to Ambient			30	

- 1) Repetitive Rating: Pulse Width limited by maximum junction temperature.
- 2) Pulse Test: Pulse Width < 380 $\mu s$ , Duty Cycle < 2%
- 3) See MIL-STD-750 Method 3471



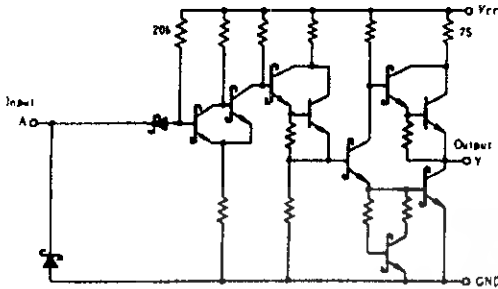
**CAUTION** — Electrostatic Sensitive Devices. Anti-Static Procedures Must Be Followed.

เอกสารนี้เป็นเอกสารที่สงวนไว้สำหรับการใช้งานเพื่อการศึกษาเท่านั้น ไมอนุญาตให้นำไปใช้ประโยชน์ด้านการค้า

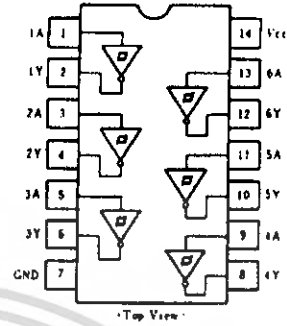
ไม่ว่ากรณีใดๆ ทั้งสิ้น อีกทั้งห้ามมิให้ดัดแปลงเนื้อหา และต้องอ้างอิงถึงเจ้าของเอกสารทุกครั้งที่มีการนำไปใช้

# HD74LS14 ● Hex Schmitt Trigger Inverters

## ■ CIRCUIT SCHEMATIC (1/6)



## ■ PIN ARRANGEMENT



## ■ ELECTRICAL CHARACTERISTICS (Ta = -20 ~ +75°C)

Item	Symbol	Test Conditions	min	typ*	max	Unit	
Input threshold voltage	$V_{T^+}$	$V_{CC}=5V$	1.4	1.6	1.9	V	
	$V_{T^-}$	$V_{CC}=5V$	0.5	0.7	1.0	V	
Hysteresis	$V_{T^+} - V_{T^-}$	$V_{CC}=5V$	0.4	0.9	-	V	
Output voltage	$V_{OH}$	$V_{CC}=4.75V, V_I=0.5V, I_{OH}=-400\mu A$	2.7	-	-	V	
	$V_{OL}$	$V_{CC}=4.75V, V_I=1.9V$	$I_{OL}=8mA$	-	-	0.50	V
			$I_{OL}=4mA$	-	-	0.40	V
Input threshold current	$I_{T^+}$	$V_{CC}=5V, V_I=V_{T^+}$	-	-0.14	-	mA	
	$I_{T^-}$	$V_{CC}=5V, V_I=V_{T^-}$	-	-0.18	-	mA	
Input current	$I_{IH}$	$V_{CC}=5.25V, V_I=2.7V$	-	-	20	$\mu A$	
	$I_{IL}$	$V_{CC}=5.25V, V_I=0.4V$	-	-	-0.4	mA	
	$I_I$	$V_{CC}=5.25V, V_I=7V$	-	-	0.1	mA	
Short-circuit output current	$I_{OS}$	$V_{CC}=5.25V$	-20	-	-100	mA	
Supply current	$I_{CCN}$	$V_{CC}=5.25V$	-	8.6	16	mA	
	$I_{CCL}$	$V_{CC}=5.25V$	-	12	21	mA	
Input clamp voltage	$V_{IK}$	$V_{CC}=4.75V, I_{IN}=-18mA$	-	-	-1.5	V	

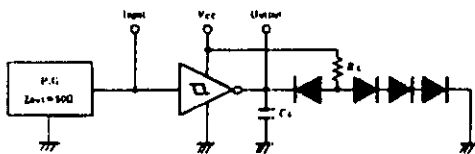
\*  $V_{CC}=5V, T_a=25^\circ C$

## ■ SWITCHING CHARACTERISTICS (Vcc = 5V, Ta = 25°C)

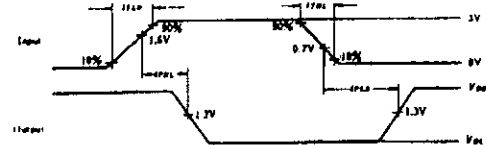
Item	Symbol	Test Conditions	min	typ	max	Unit
Propagation delay time	$t_{PLH}$	$C_L=15pF, R_L=2k\Omega$	-	15	22	ns
	$t_{PHL}$		-	15	22	ns

## ■ TESTING METHOD

### 1. Test Circuit

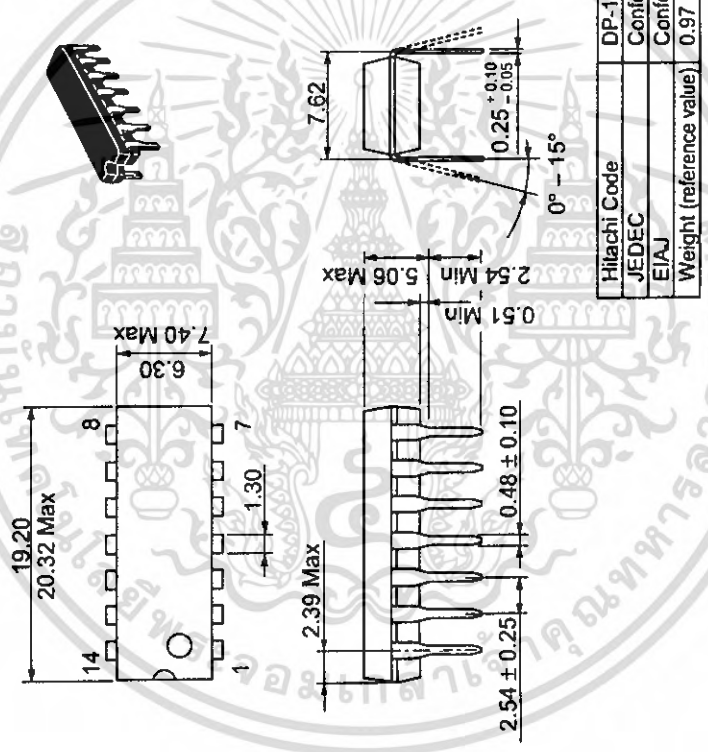


### Waveform



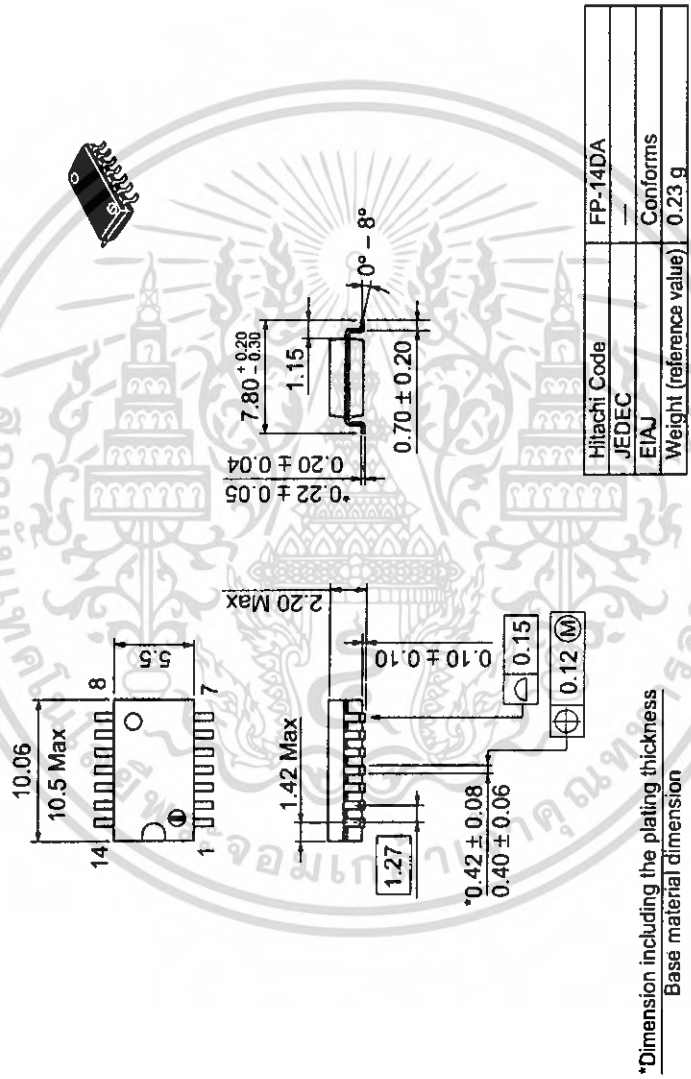
- Notes) 1. Input pulse;  $t_{TLH} \leq 15ns, t_{THL} \leq 6ns, PRR=1MHz, \text{duty cycle}=50\%$   
 2.  $C_L$  includes probe and jig capacitance.  
 3. All diodes are 1S2074  $\text{\textcircled{B}}$ .

Unit: mm



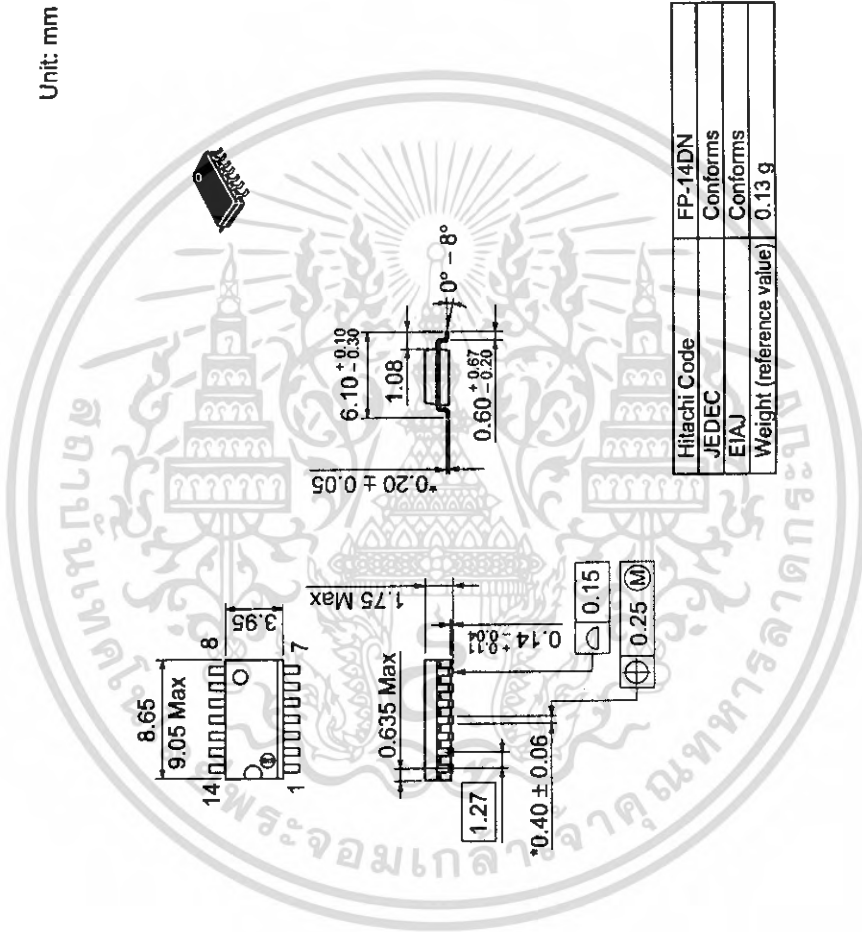
เอกสารนี้เป็นเอกสารที่สงวนไว้สำหรับการใช้งานเพื่อการศึกษาเท่านั้น ไม่อนุญาตให้นำไปใช้ประโยชน์ด้านการค้า  
ไม่ว่ากรณีใดๆ ทั้งสิ้น อีกทั้งห้ามมิให้ดัดแปลงเนื้อหา และต้องอ้างอิงถึงเจ้าของเอกสารทุกครั้งที่มีการนำไปใช้

Unit: mm



เอกสารนี้เป็นเอกสารที่สงวนไว้สำหรับการใช้งานเพื่อการศึกษาเท่านั้น ไม่อนุญาตให้นำไปใช้ประโยชน์ด้านการค้า  
ไม่ว่ากรณีใดๆ ทั้งสิ้น อีกทั้งห้ามมิให้ดัดแปลงเนื้อหา และต้องอ้างอิงถึงเจ้าของเอกสารทุกครั้งที่มีการนำไปใช้

Unit: mm



Hitachi Code	FP-14DN
JEDEC	Conforms
EIAJ	Conforms
Weight (reference value)	0.13 g

\*Pd plating

เอกสารนี้เป็นเอกสารที่สงวนไว้สำหรับการใช้งานเพื่อการศึกษาเท่านั้น ไม่อนุญาตให้นำไปใช้ประโยชน์ด้านการค้า  
ไม่ว่ากรณีใดๆ ทั้งสิ้น อีกทั้งห้ามมิให้ดัดแปลงเนื้อหา และต้องอ้างอิงถึงเจ้าของเอกสารทุกครั้งที่มีการนำไปใช้

## Cautions

1. Hitachi neither warrants nor grants licenses of any rights of Hitachi's or any third party's patent, copyright, trademark, or other intellectual property rights for information contained in this document. Hitachi bears no responsibility for problems that may arise with third party's rights, including intellectual property rights, in connection with use of the information contained in this document.
2. Products and product specifications may be subject to change without notice. Confirm that you have received the latest product standards or specifications before final design, purchase or use.
3. Hitachi makes every attempt to ensure that its products are of high quality and reliability. However, contact Hitachi's sales office before using the product in an application that demands especially high quality and reliability or where its failure or malfunction may directly threaten human life or cause risk of bodily injury, such as aerospace, aeronautics, nuclear power, combustion control, transportation, traffic, safety equipment or medical equipment for life support.
4. Design your application so that the product is used within the ranges guaranteed by Hitachi particularly for maximum rating, operating supply voltage range, heat radiation characteristics, installation conditions and other characteristics. Hitachi bears no responsibility for failure or damage when used beyond the guaranteed ranges. Even within the guaranteed ranges, consider normally foreseeable failure rates or failure modes in semiconductor devices and employ systemic measures such as fail-safes, so that the equipment incorporating Hitachi product does not cause bodily injury, fire or other consequential damage due to operation of the Hitachi product.
5. This product is not designed to be radiation resistant.
6. No one is permitted to reproduce or duplicate, in any form, the whole or part of this document without written approval from Hitachi.
7. Contact Hitachi's sales office for any questions regarding this document or Hitachi semiconductor products.

# HITACHI

## Hitachi, Ltd.

Semiconductor & Integrated Circuits.

Nippon Bldg., 2-6-2, Ohte-machi, Chiyoda-ku, Tokyo 100-0004, Japan

Tel: Tokyo (03) 3270-2111 Fax: (03) 3270-5109

URL NorthAmerica : <http://semiconductor.hitachi.com/>  
Europe : <http://www.hitachi-eu.com/hell/ecg>  
Asia (Singapore) : <http://www.has.hitachi.com.sg/grp3/sicd/index.htm>  
Asia (Taiwan) : [http://www.hitachi.com.tw/E/Product/SICD\\_Frame.htm](http://www.hitachi.com.tw/E/Product/SICD_Frame.htm)  
Asia (HongKong) : <http://www.hitachi.com.hk/eng/bo/grp3/index.htm>  
Japan : <http://www.hitachi.co.jp/Sicd/indx.htm>

### For further information write to:

Hitachi Semiconductor  
(America) Inc.  
179 East Tasman Drive,  
San Jose, CA 95134  
Tel: <1> (408) 433-1990  
Fax: <1> (408) 433-0223

Hitachi Europe GmbH  
Electronic components Group  
Dornacher StraÙe 3  
D-85622 Feldkirchen, Munich  
Germany  
Tel: <49> (89) 9 9180-0  
Fax: <49> (89) 9 29 30 00

Hitachi Europe Ltd.  
Electronic Components Group.  
Whitebrook Park  
Lower Cookham Road  
Maldenhead  
Berkshire SL6 8YA, United Kingdom  
Tel: <44> (1628) 585000  
Fax: <44> (1628) 778322

Hitachi Asia Pte. Ltd.  
18 Collyer Quay #20-00  
Hitachi Tower  
Singapore 049318  
Tel: 535-2100  
Fax: 535-1533

Hitachi Asia Ltd.  
Taipei Branch Office  
3F, Hung Kuo Building, No.167,  
Tun-Hwa North Road, Taipei (105)  
Tel: <886> (2) 2718-3666  
Fax: <886> (2) 2718-8180

Hitachi Asia (Hong Kong) Ltd.  
Group III (Electronic Components)  
7/F., North Tower, World Finance Centre,  
Harbour City, Canton Road, Tsim Sha Tsui,  
Kowloon, Hong Kong  
Tel: <852> (2) 735 9218  
Fax: <852> (2) 730 0281  
Telex: 40815 HITEC HX

Copyright © Hitachi, Ltd., 1999. All rights reserved. Printed in Japan.

## HITACHI

เอกสารนี้เป็นเอกสารที่สงวนไว้สำหรับการใช้งานเพื่อการศึกษาเท่านั้น ไม่นอนุญาตให้拿去ใช้ประโยชน์ด้านการค้า  
ไม่ว่ากรณีใดๆ ทั้งสิ้น อีกทั้งห้ามมิให้ดัดแปลงเนื้อหา และต้องอ้างอิงถึงเจ้าของเอกสารทุกครั้งที่มีการนำไปใช้